

Zeitschrift: Bericht der Eidgenössischen Kommission zur Überwachung der Radioaktivität

Herausgeber: Eidgenössische Kommission zur Überwachung der Radioaktivität

Band: 30 (1987-1988)

Heft: 2: Figuren & Tabellen

Anhang: [Figuren 3]

Nutzungsbedingungen

Die ETH-Bibliothek ist die Anbieterin der digitalisierten Zeitschriften auf E-Periodica. Sie besitzt keine Urheberrechte an den Zeitschriften und ist nicht verantwortlich für deren Inhalte. Die Rechte liegen in der Regel bei den Herausgebern beziehungsweise den externen Rechteinhabern. Das Veröffentlichen von Bildern in Print- und Online-Publikationen sowie auf Social Media-Kanälen oder Webseiten ist nur mit vorheriger Genehmigung der Rechteinhaber erlaubt. [Mehr erfahren](#)

Conditions d'utilisation

L'ETH Library est le fournisseur des revues numérisées. Elle ne détient aucun droit d'auteur sur les revues et n'est pas responsable de leur contenu. En règle générale, les droits sont détenus par les éditeurs ou les détenteurs de droits externes. La reproduction d'images dans des publications imprimées ou en ligne ainsi que sur des canaux de médias sociaux ou des sites web n'est autorisée qu'avec l'accord préalable des détenteurs des droits. [En savoir plus](#)

Terms of use

The ETH Library is the provider of the digitised journals. It does not own any copyrights to the journals and is not responsible for their content. The rights usually lie with the publishers or the external rights holders. Publishing images in print and online publications, as well as on social media channels or websites, is only permitted with the prior consent of the rights holders. [Find out more](#)

Download PDF: 24.08.2025

ETH-Bibliothek Zürich, E-Periodica, <https://www.e-periodica.ch>

Fig.3.1: Luftaktivität (Aerosole), Fribourg

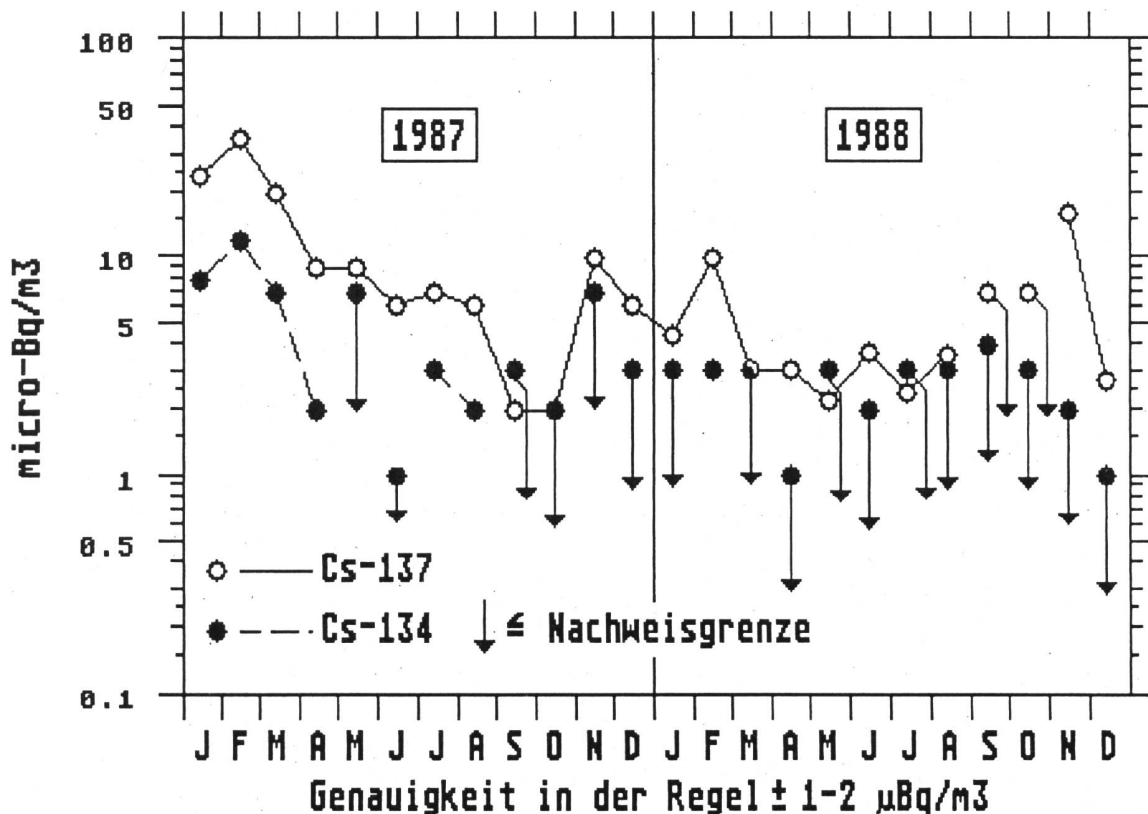


Fig.3.2: Luftaktivität (Aerosole), Gösgen

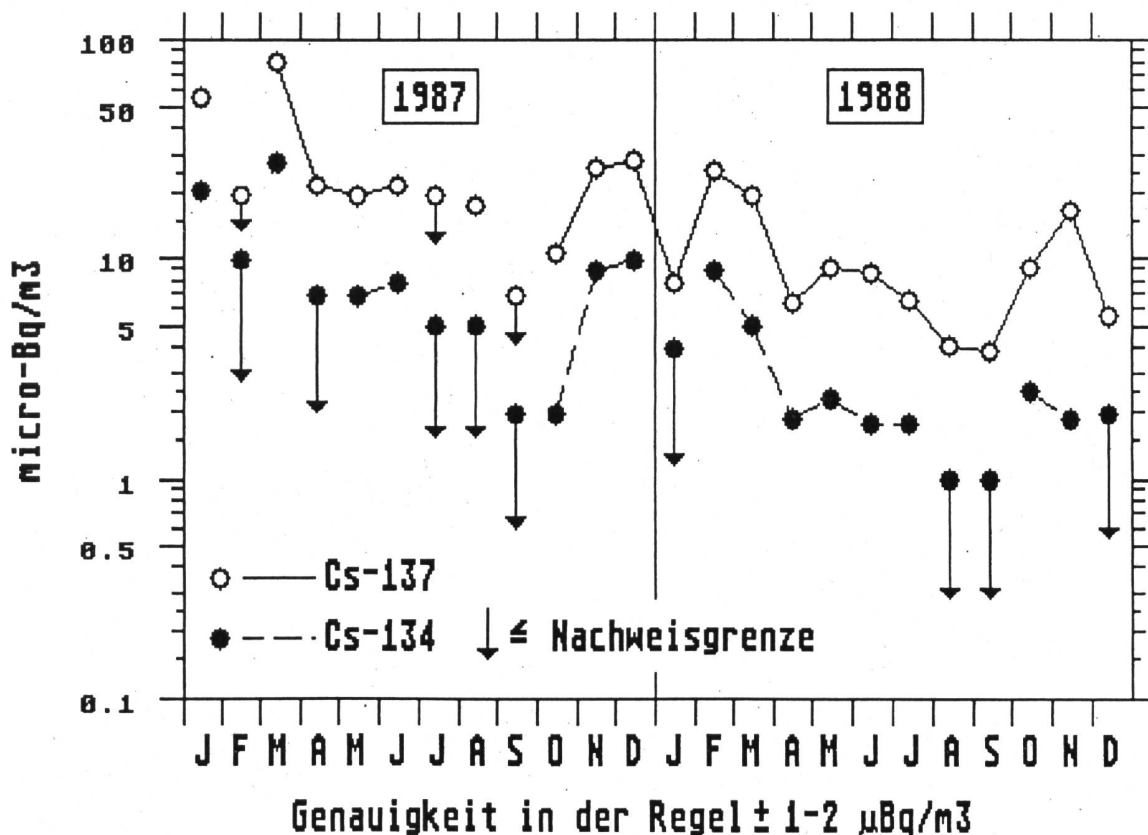


Fig.3.3: Luftaktivität (Aerosole), Leibstadt

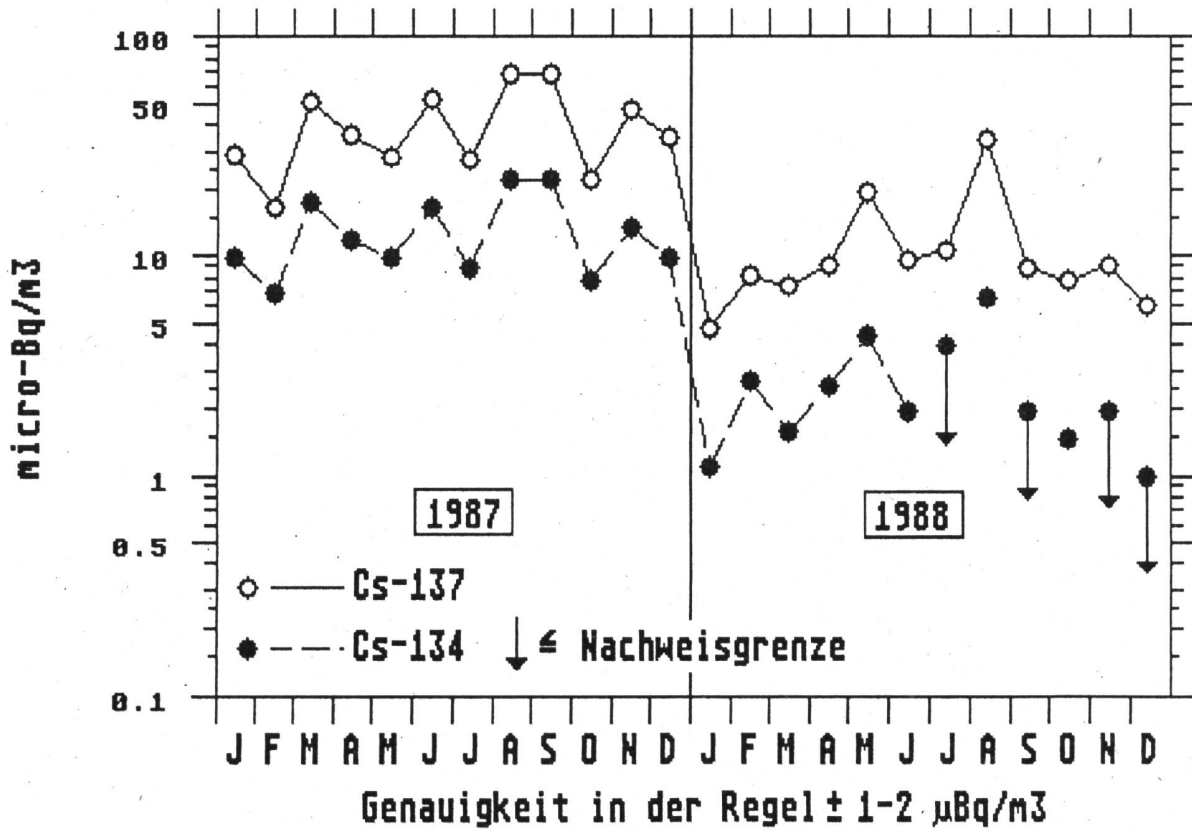


Fig.3.4: Luftaktivität (Aerosole), Mühleberg

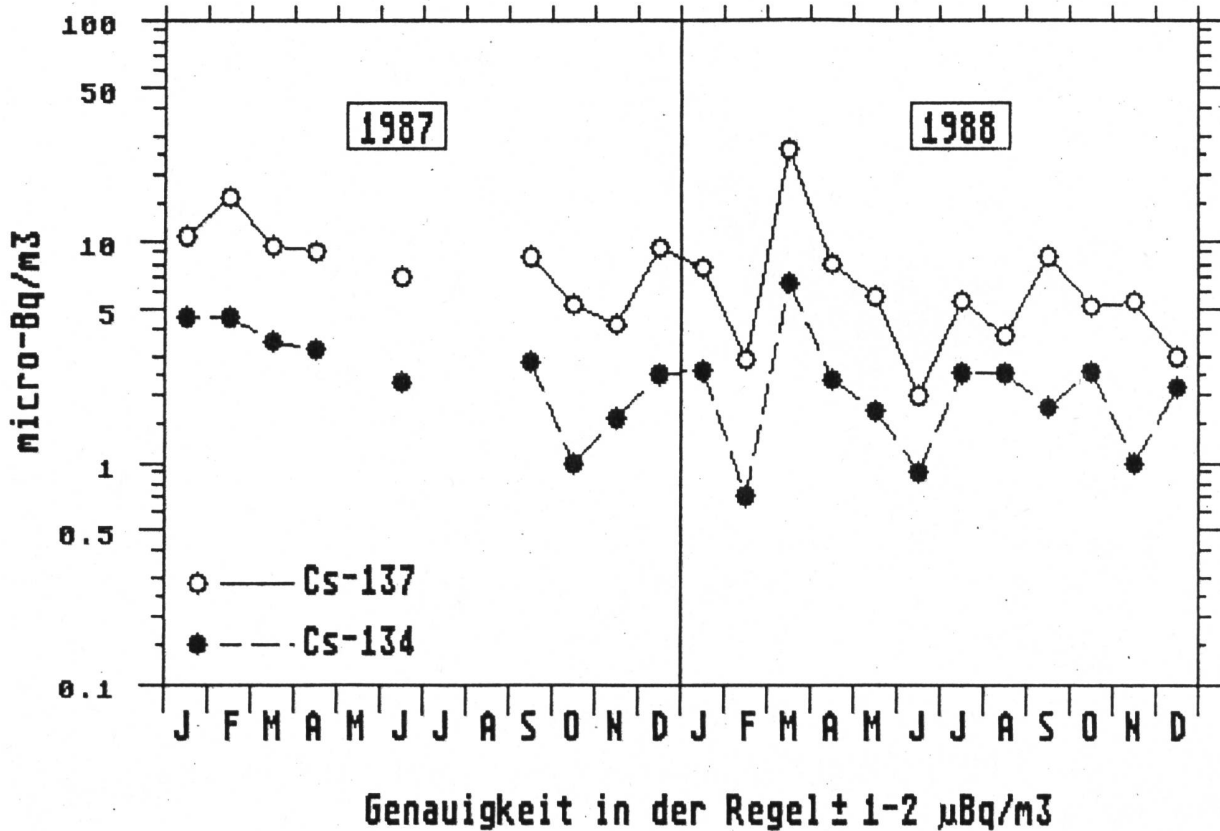


Fig. 3.5: Ar-37 in der Troposphärenluft von Bern

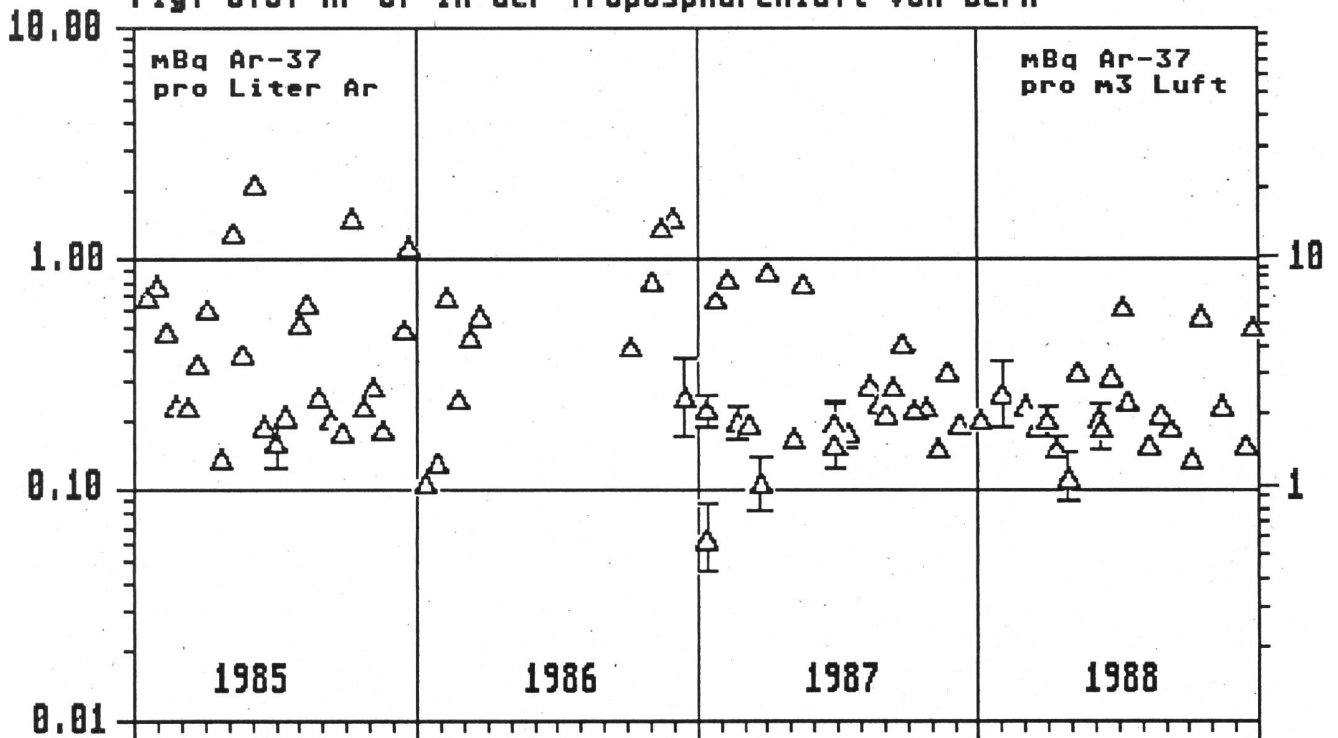


Fig. 3.6: Kr-85 in Luftproben aus Bern

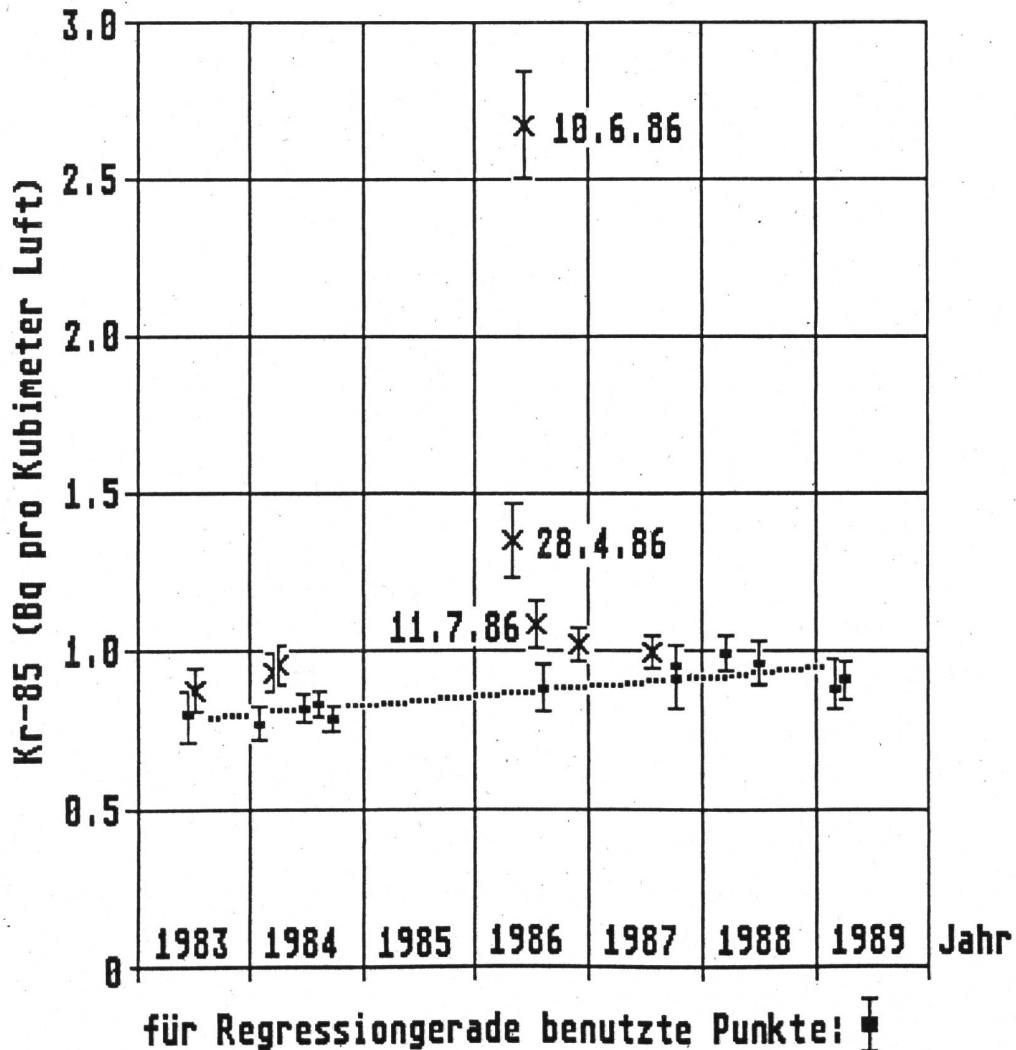


Fig.3.7: Gesamt-β-Aktivität im Regen 1987

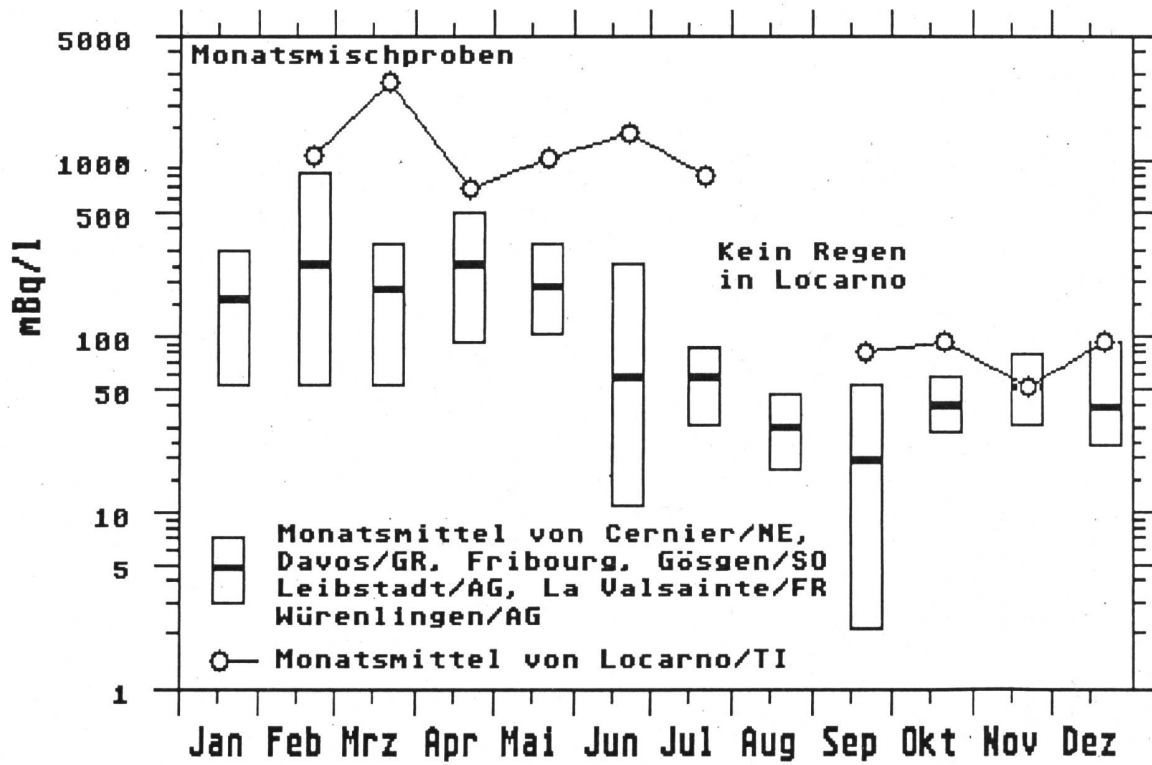


Fig.3.8: Radioaktivität im Regen 1988

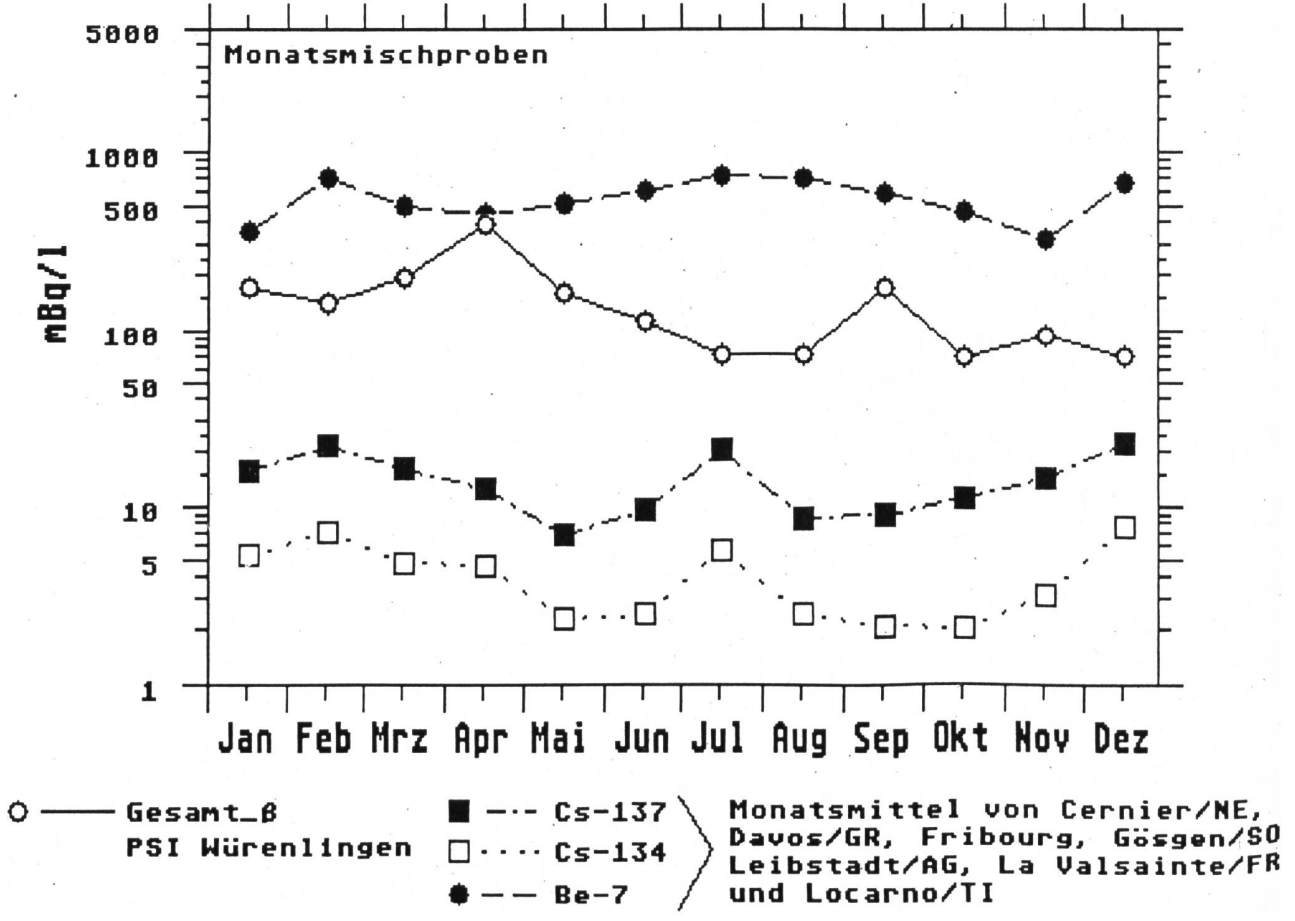


Fig.3.9: Tritium in Niederschlägen von Basel und Säntis

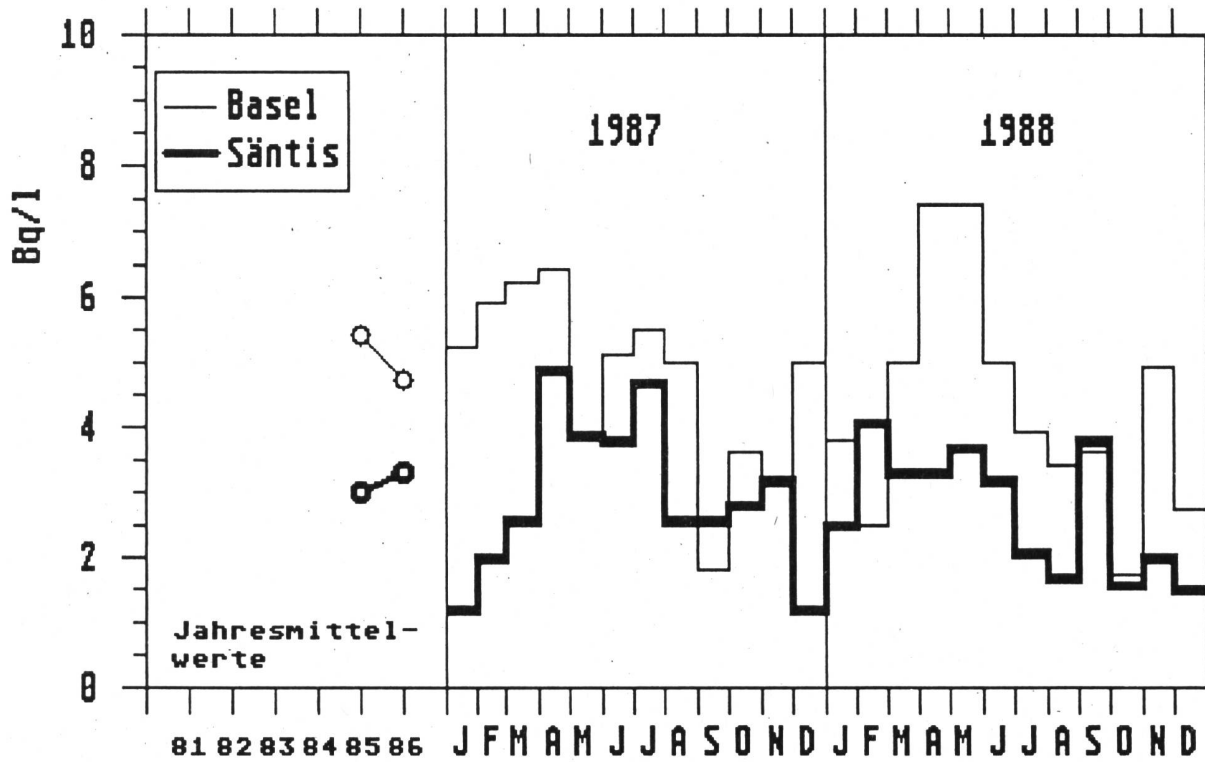


Fig.3.10: Tritium in Niederschlägen von Grindelwald / BE und Guttannen / BE

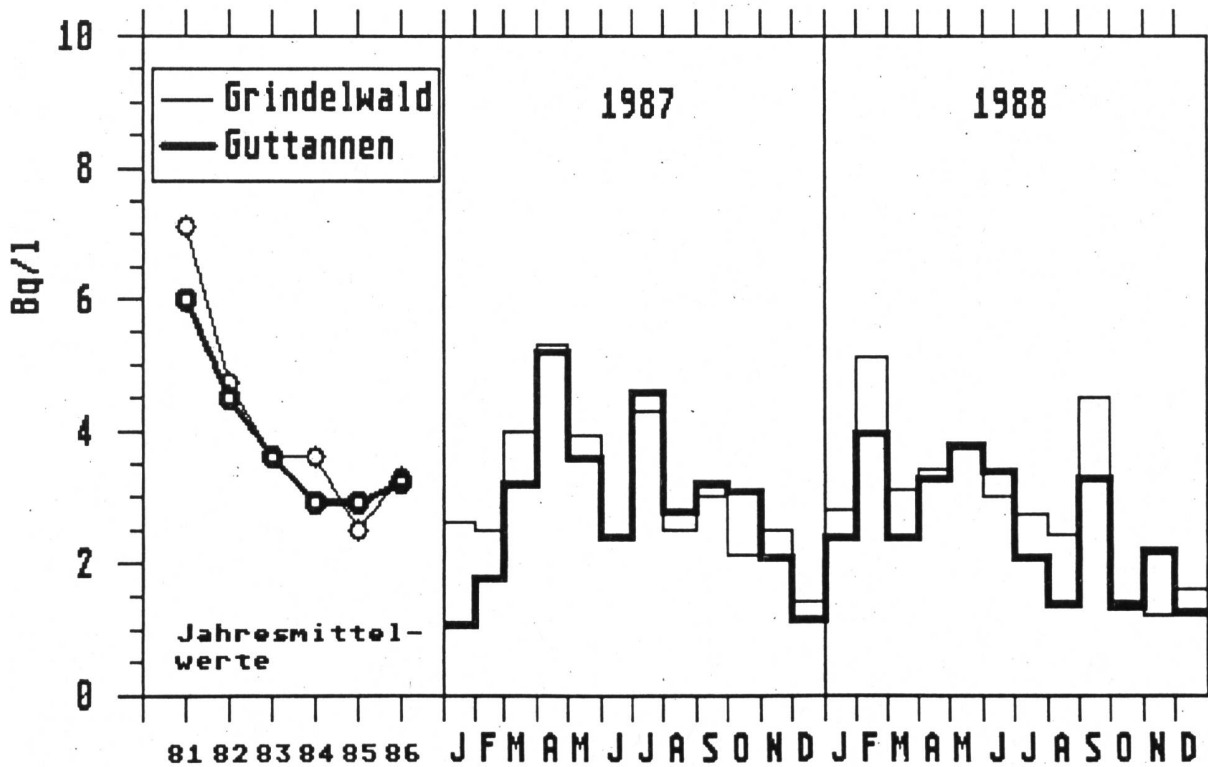


Fig.3.11: Tritium in Niederschlägen von Visp / VS und Locarno / TI

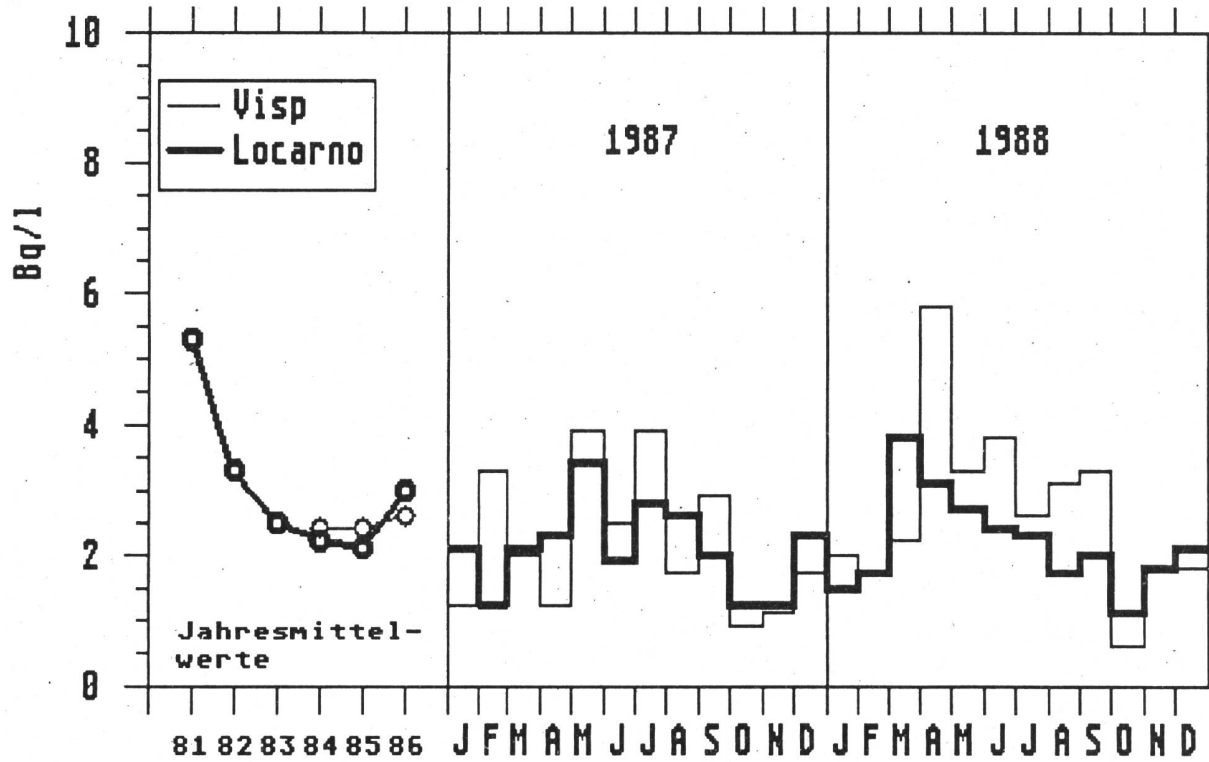


Fig.3.12: Tritium in Niederschlägen von Bern

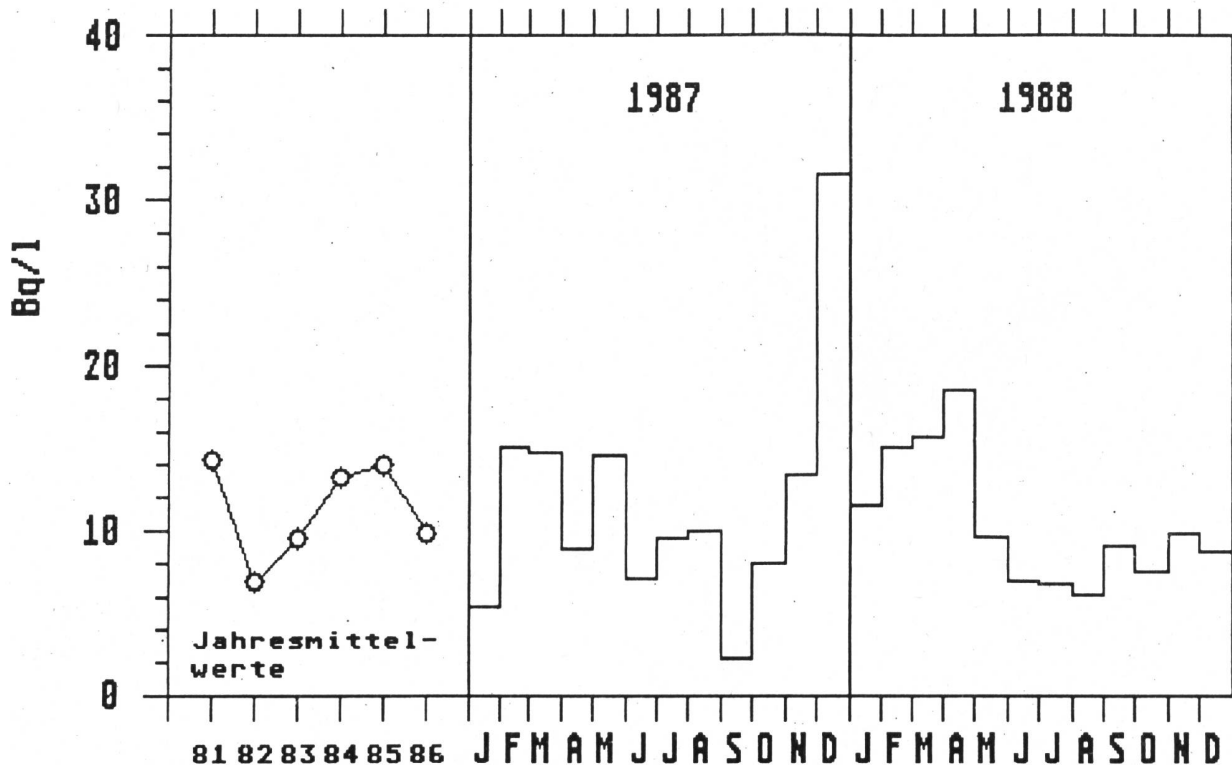


Fig.3.13: Tritium in Niederschlägen von Niedergösgen / SO und Dulliken / SO

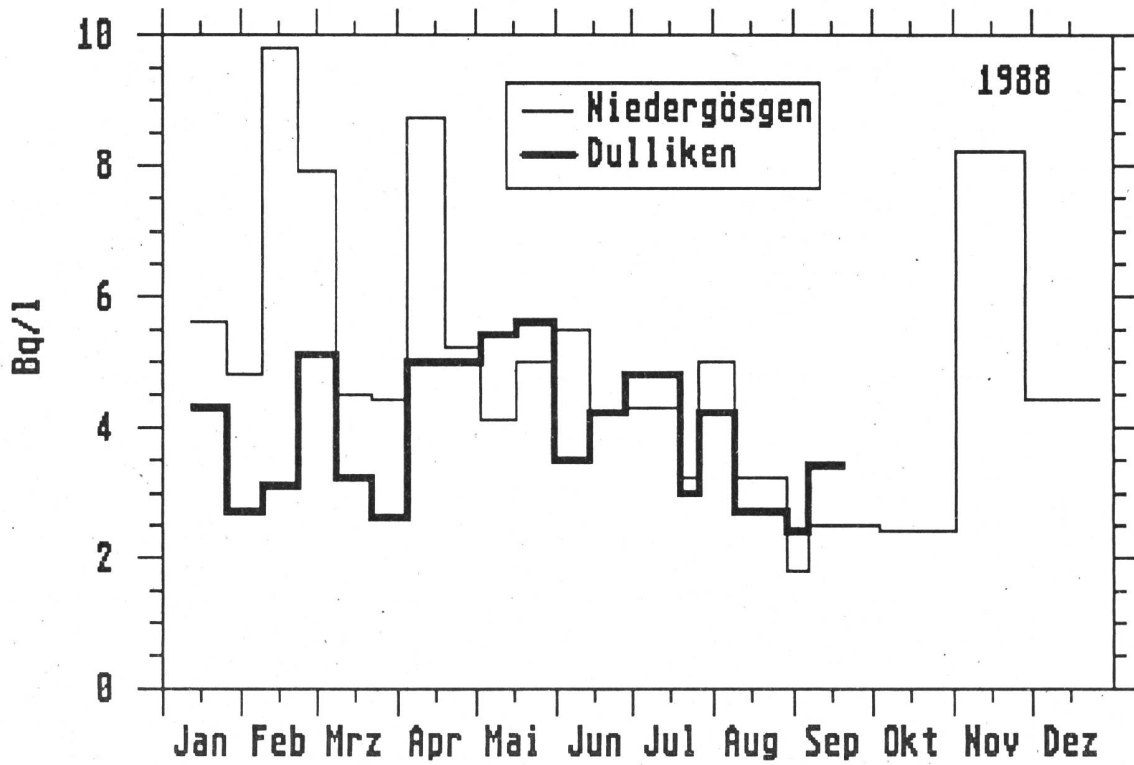


Fig.3.14: Tritium in Niederschlägen von KKW Mühleberg (Ufem Horn)

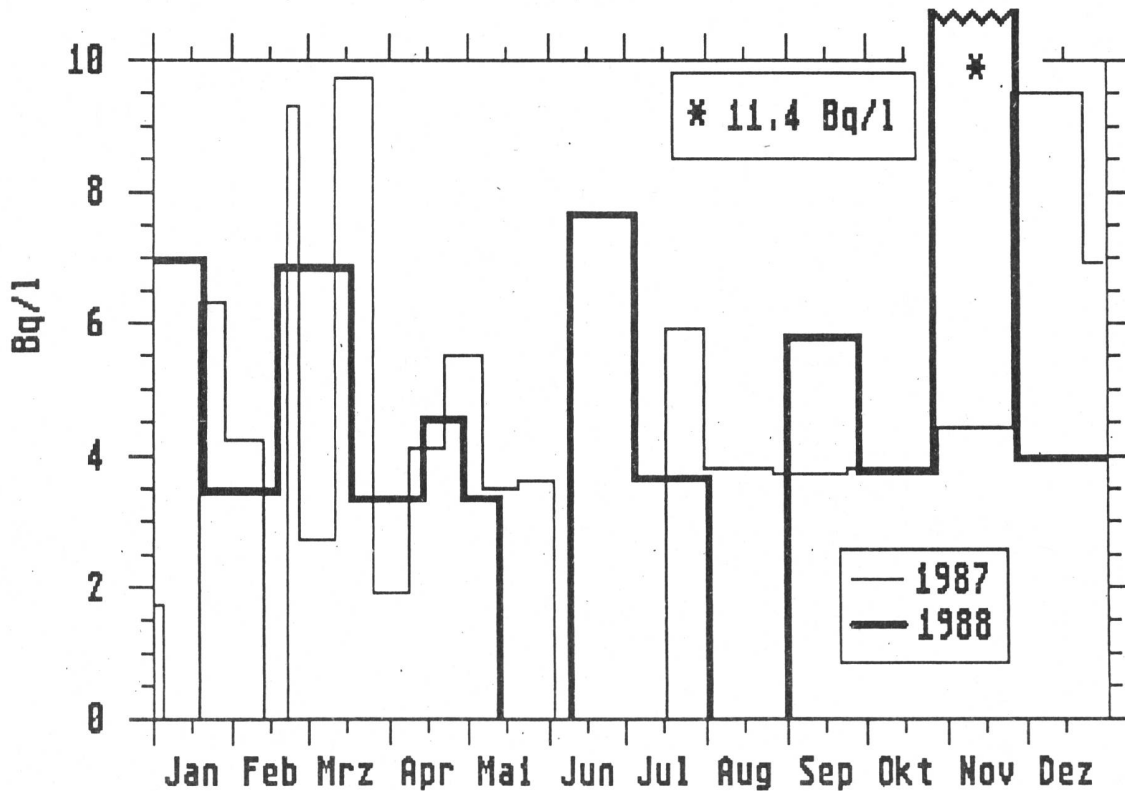


Fig.3.15: Ortsdosen im Kanton Tessin
Messungen im Mai 1987 (nSv/h)
gemessen im Auftrag der NAZ im Kanton Tessin

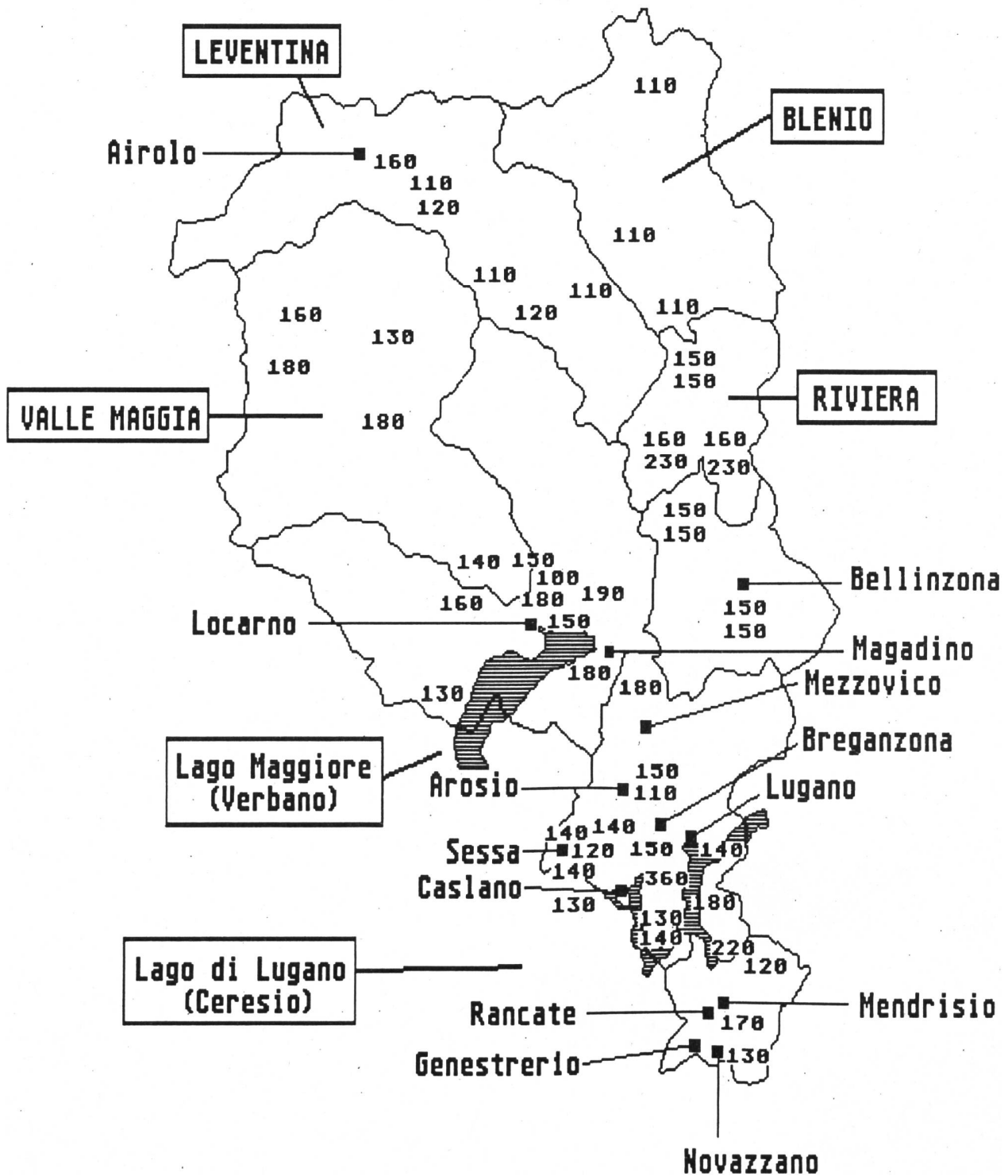


Fig. 3.16.a:

Einfluss von Niederschlägen auf den Tagesverlauf der Ortsdosisleistung
an der NADAM-Station Neuchâtel am 9.9.1988

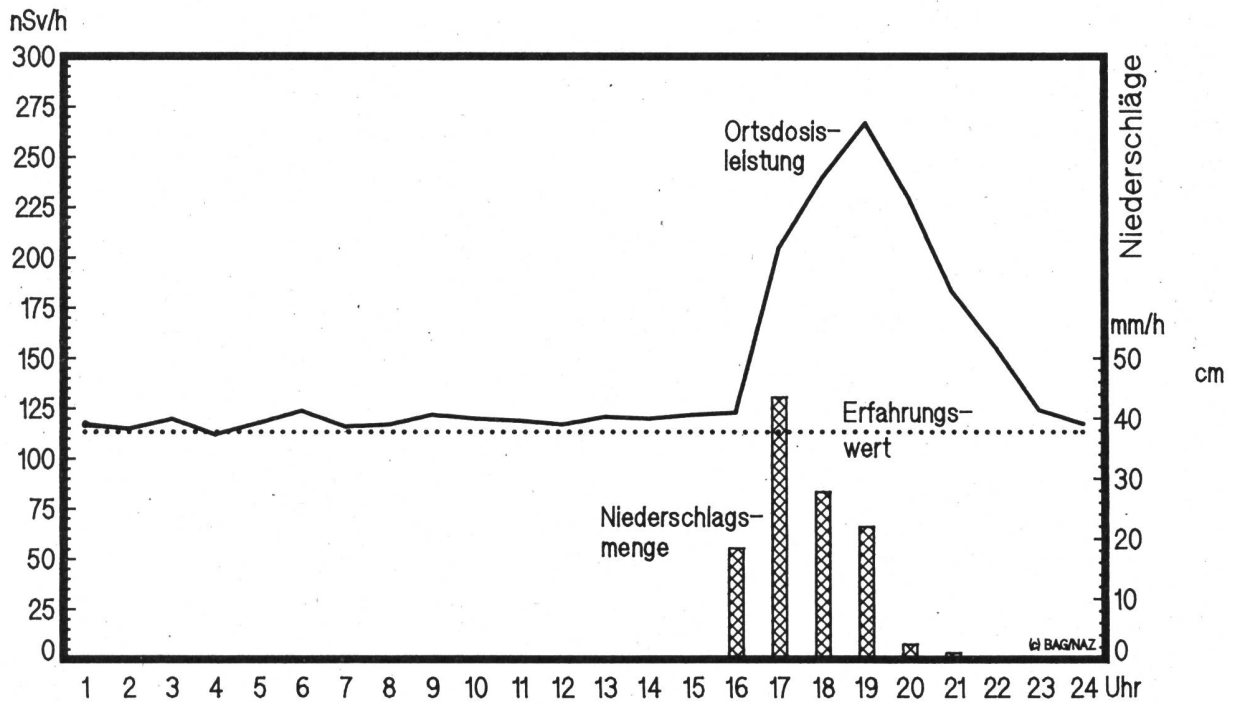


Fig. 3.16.b:

Einfluss von Schneefällen auf die Ortsdosisleistung
an der Nadam-Station La Chaux-de-Fonds im 1. Quartal 1988

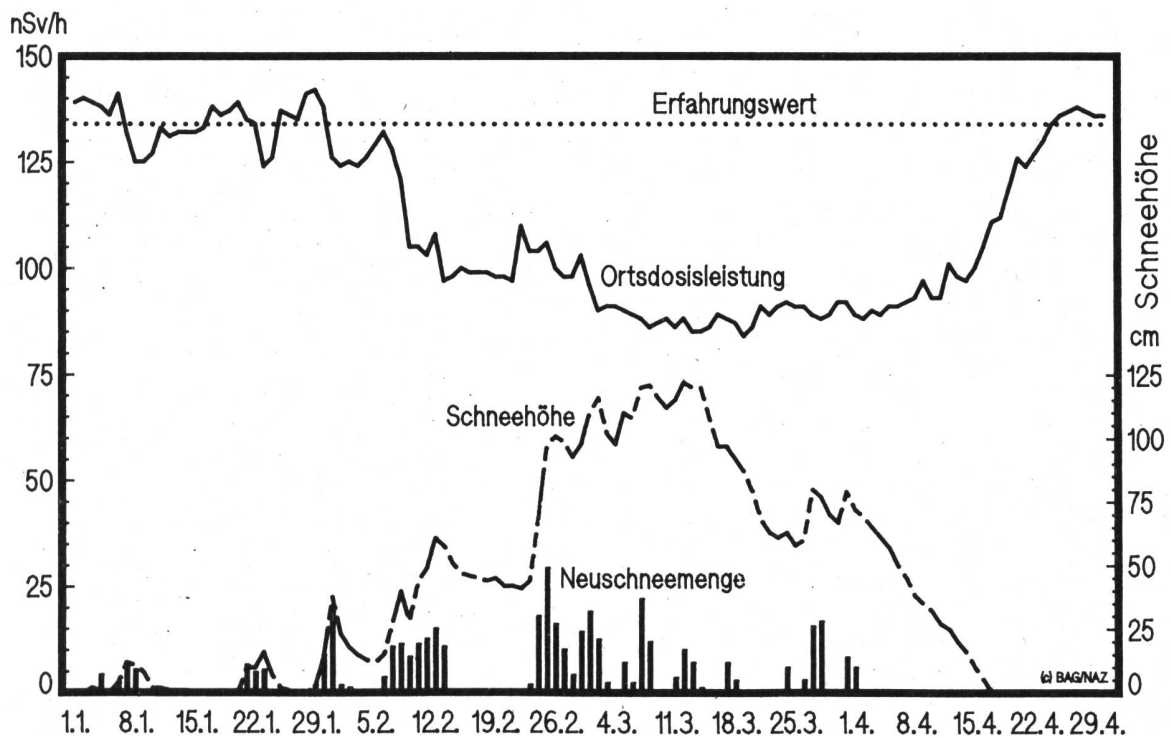


Fig. 3.16.c: NADAM-Stationen:

Jahresmittelwerte 1987 nach Regionen

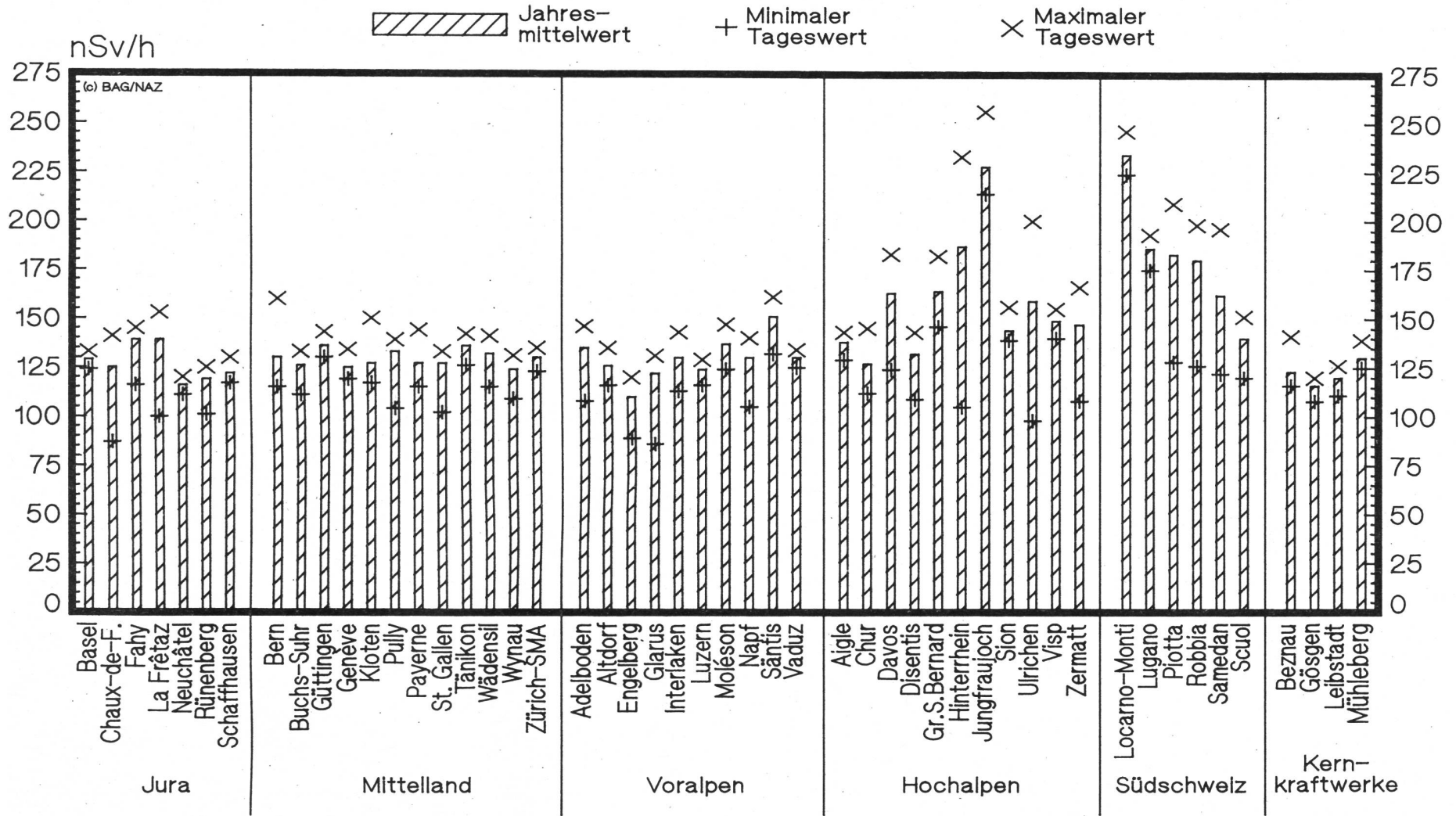


Fig. 3.16.d: Wochenmittelwerte der NADAM-Stationen in nSv/h 1988

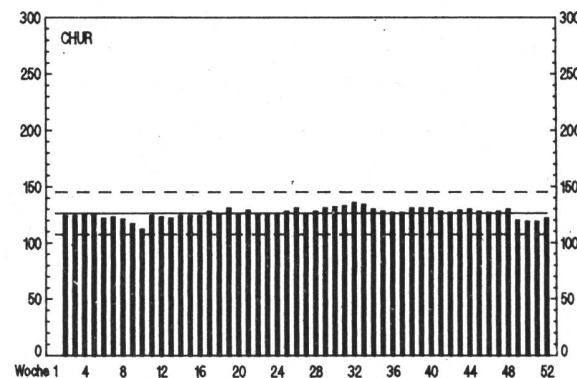
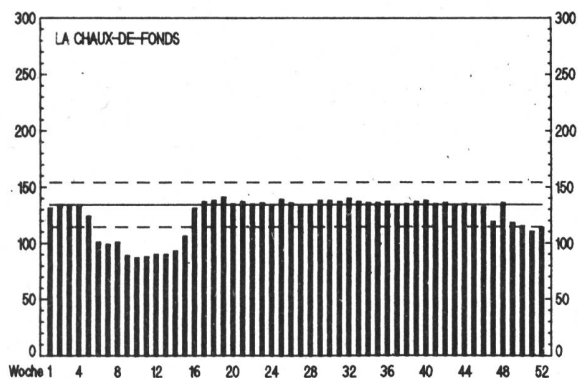
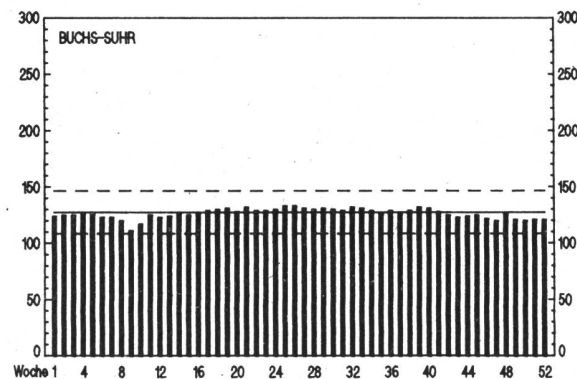
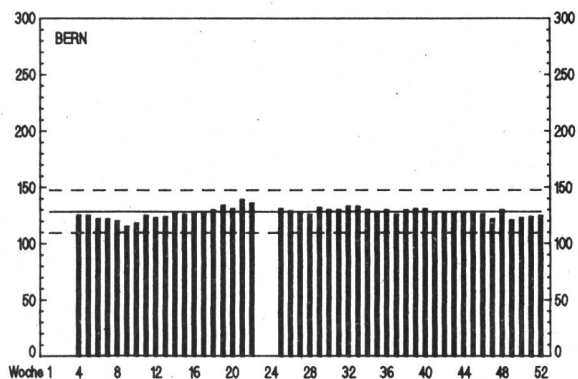
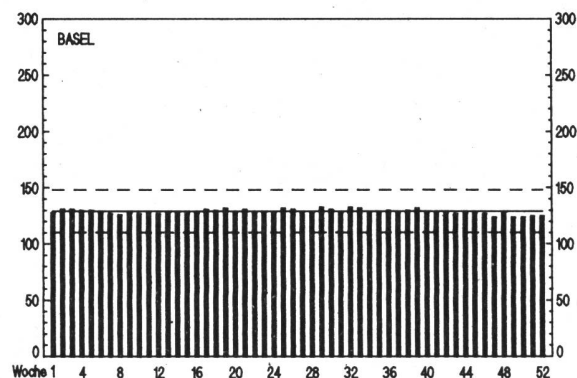
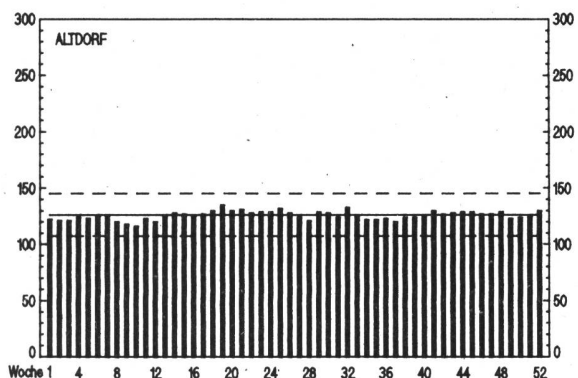
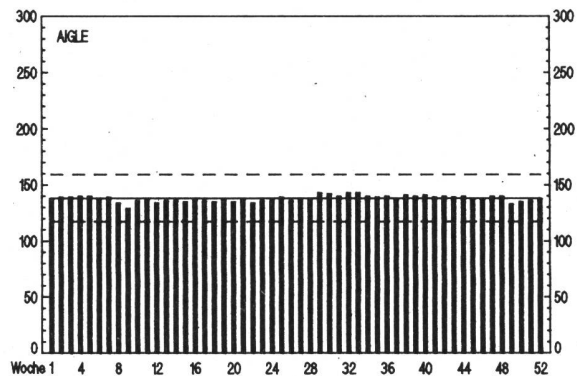
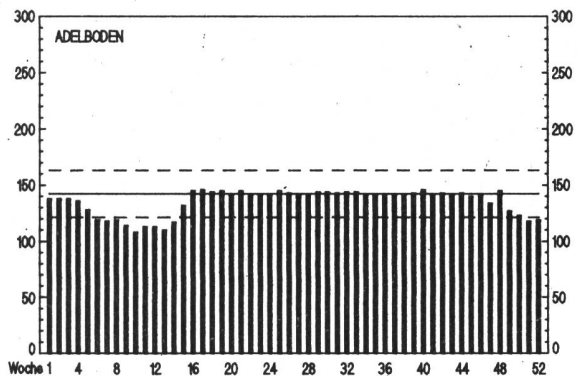


Fig. 3.16.e: Wochenmittelwerte der NADAM-Stationen in nSv/h 1988

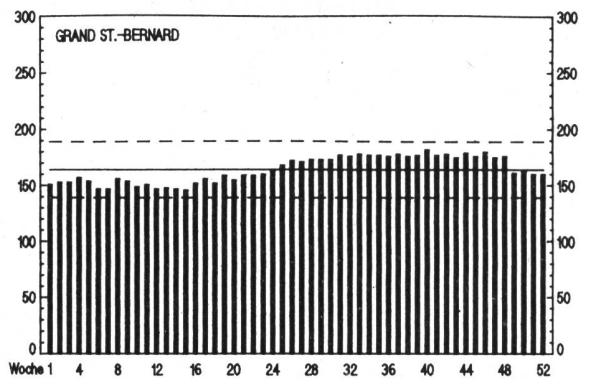
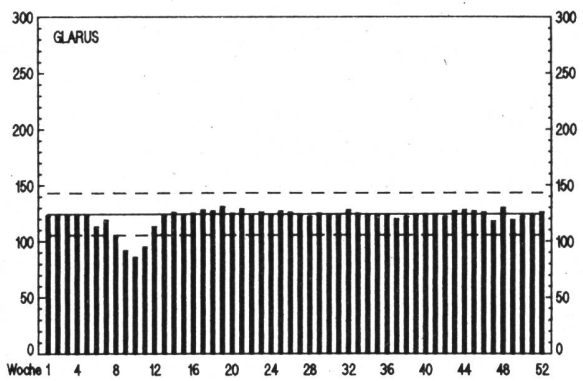
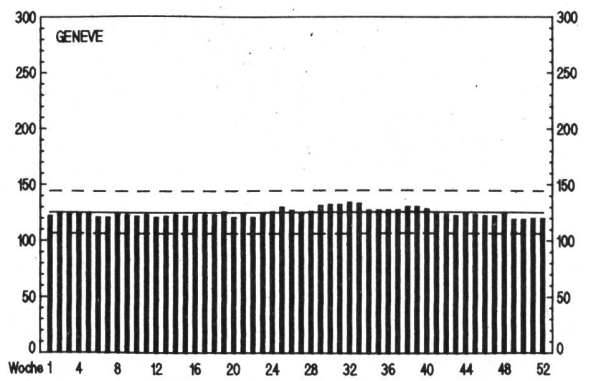
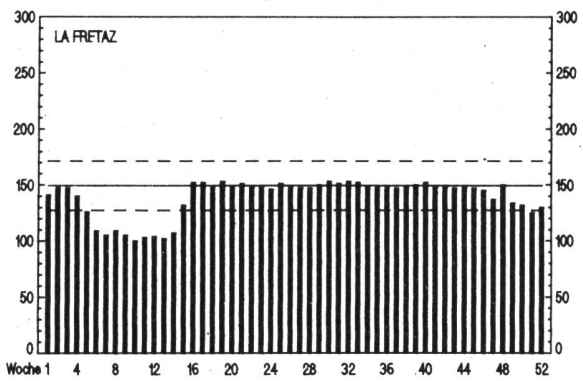
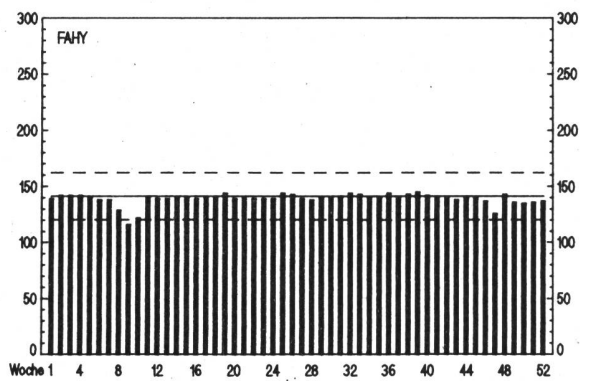
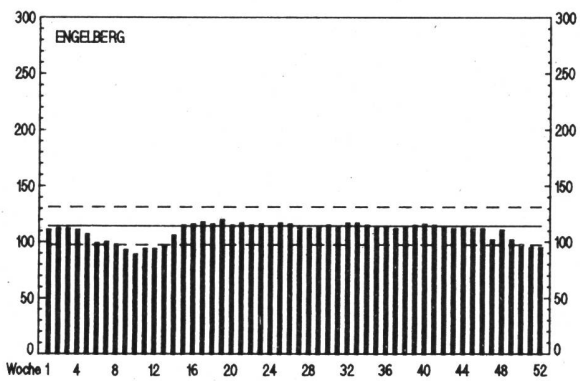
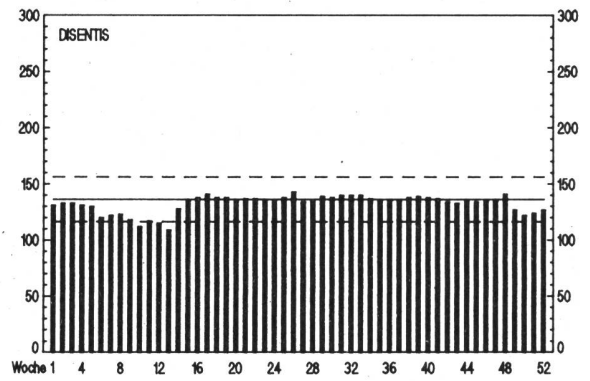
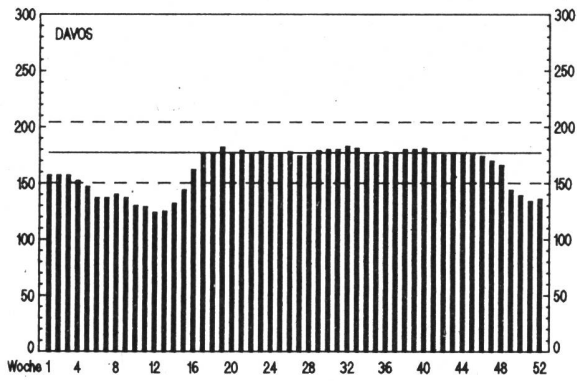


Fig. 3.16.f: Wochenmittelwerte der NADAM-Stationen in nSv/h 1988

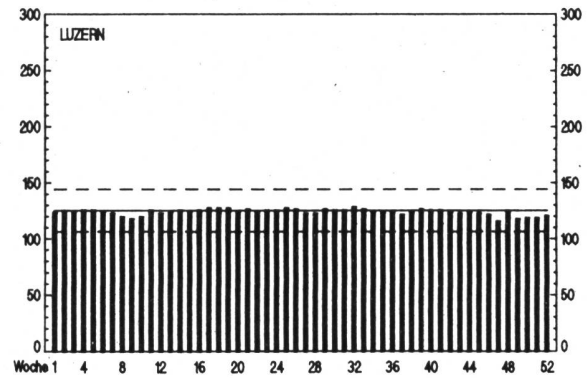
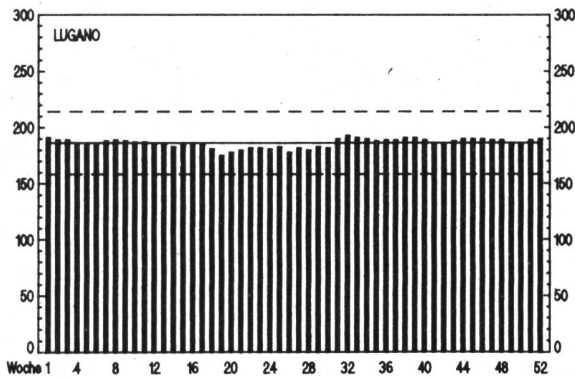
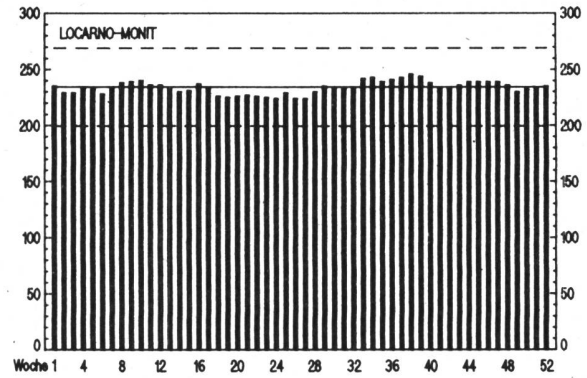
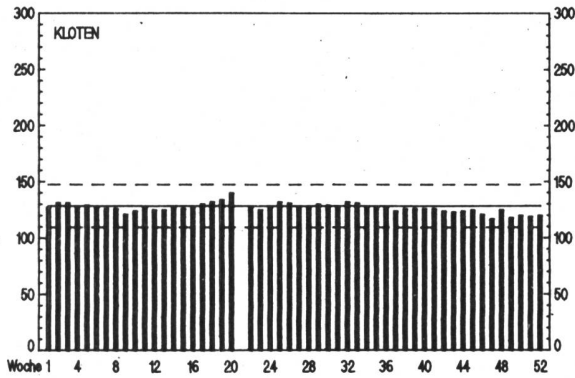
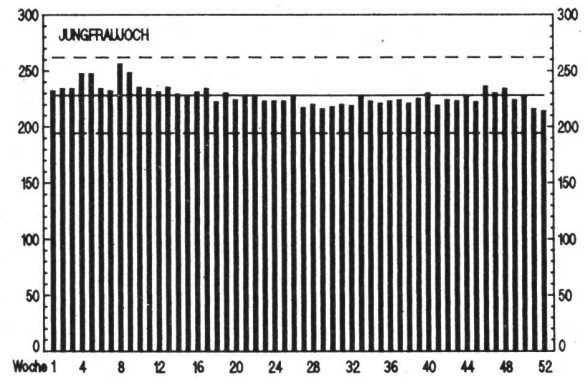
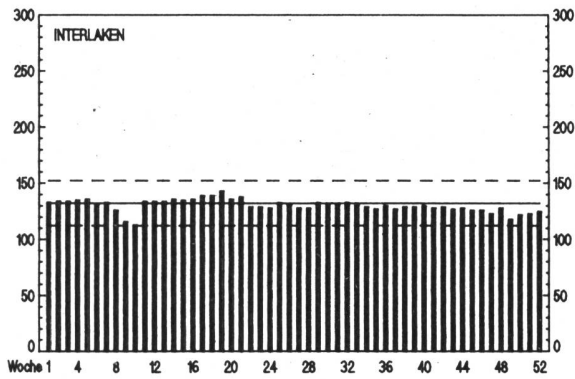
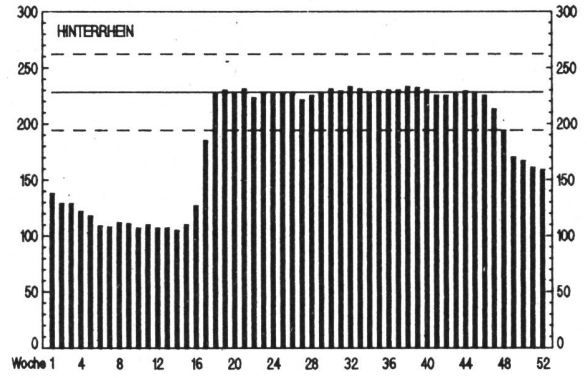
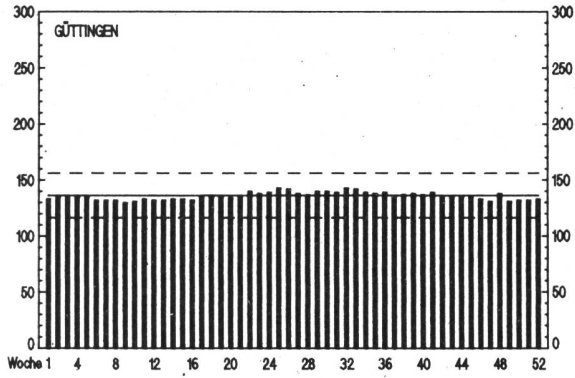


Fig. 3.16.g: Wochenmittelwerte der NADAM-Stationen in nSv/h 1983

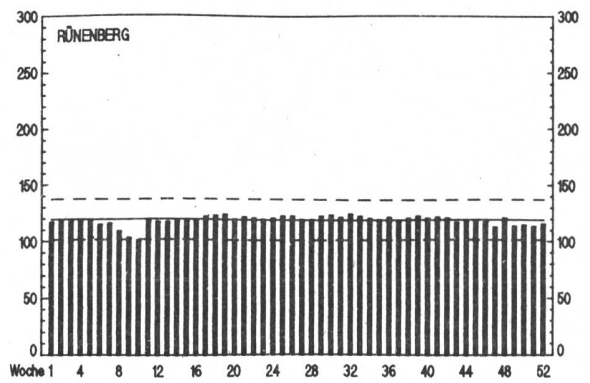
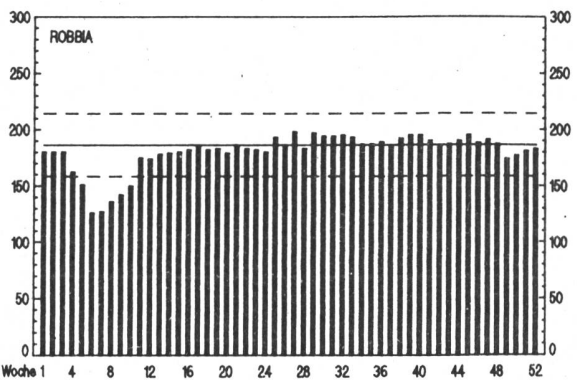
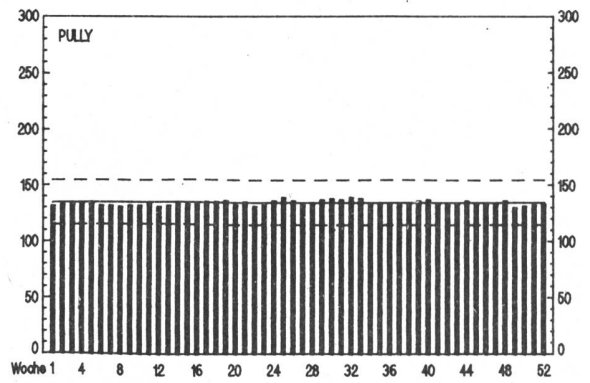
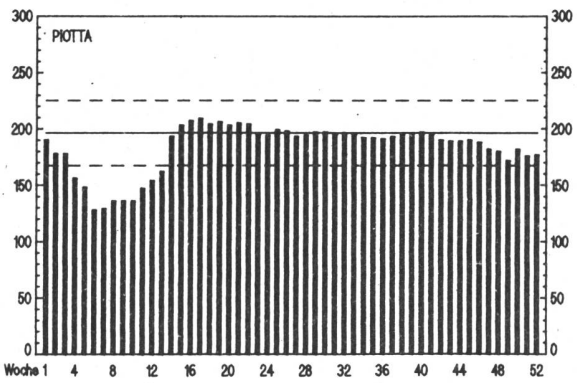
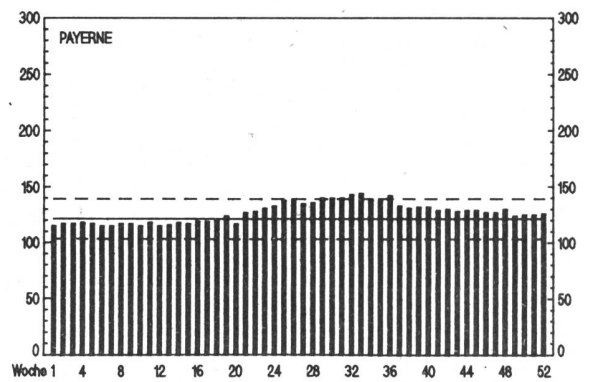
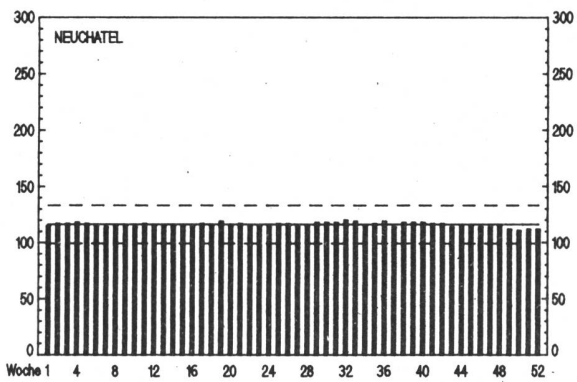
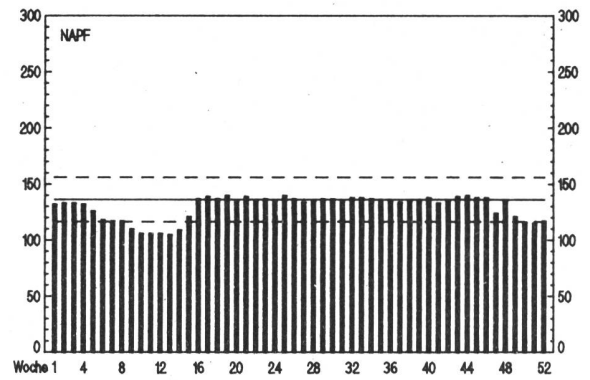
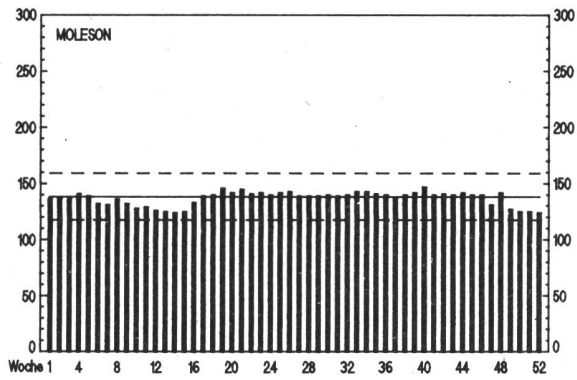


Fig. 3.16.h: Wochenmittelwerte der NADAM-Stationen in nSv/h 1988

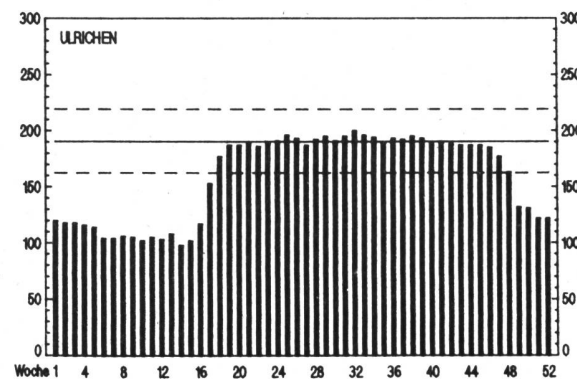
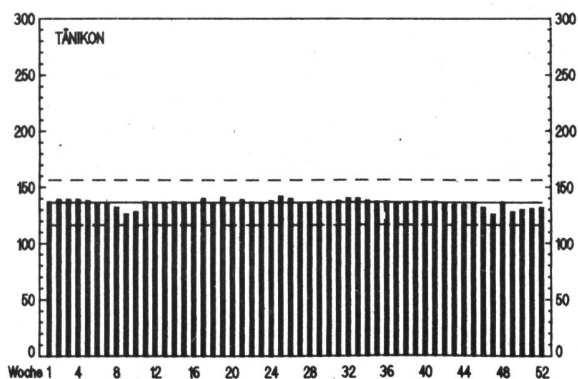
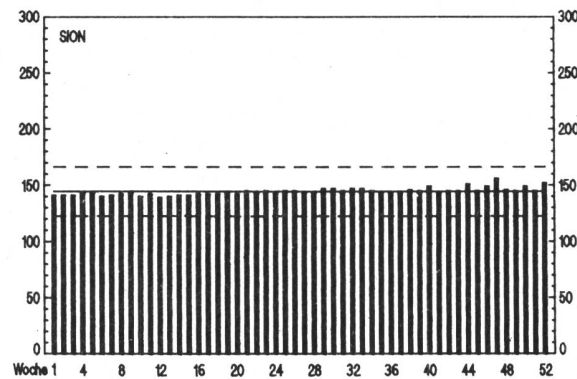
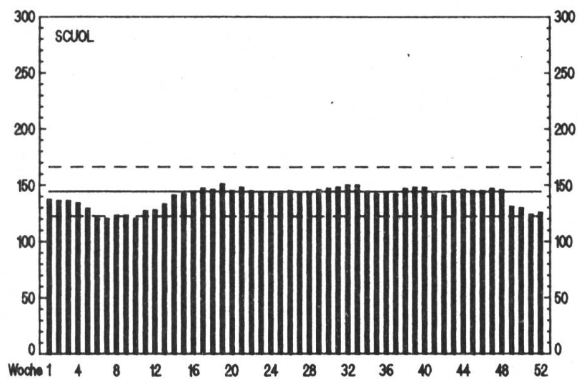
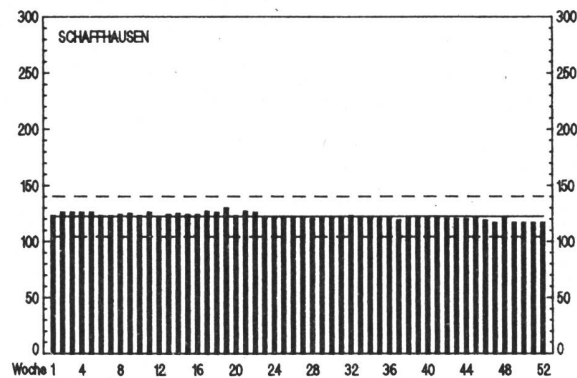
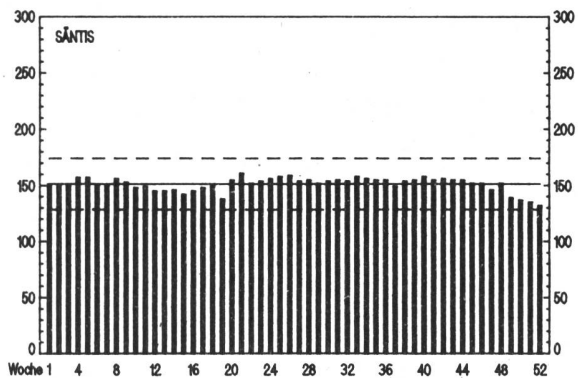
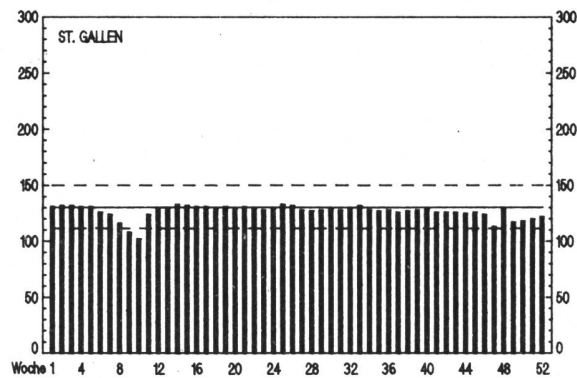
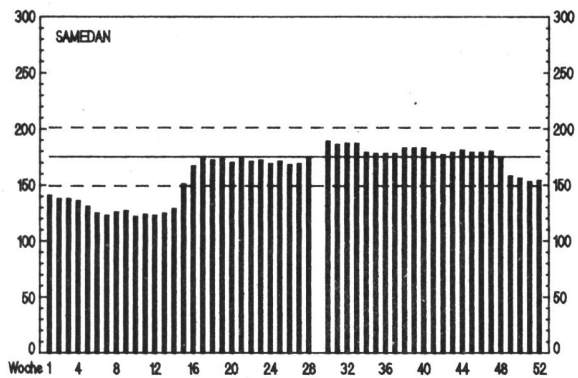


Fig. 3.16.i: Wochenmittelwerte der NADAM-Stationen in nSv/h 1988

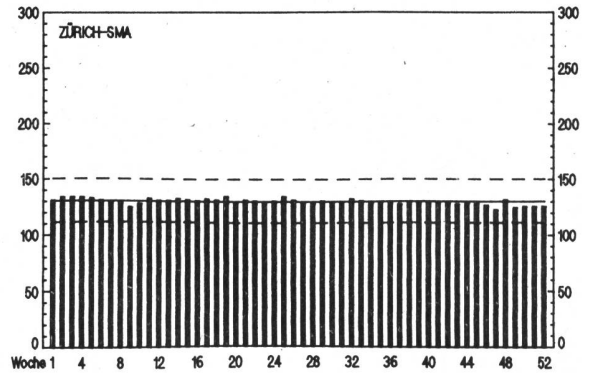
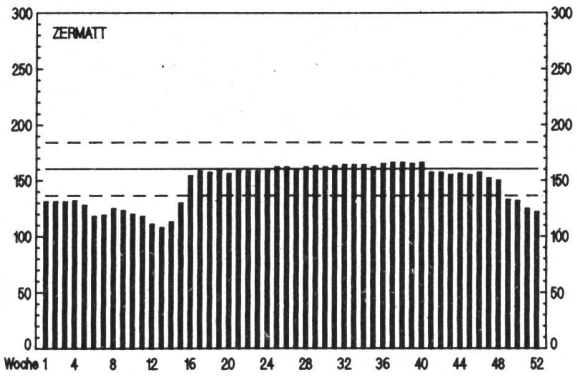
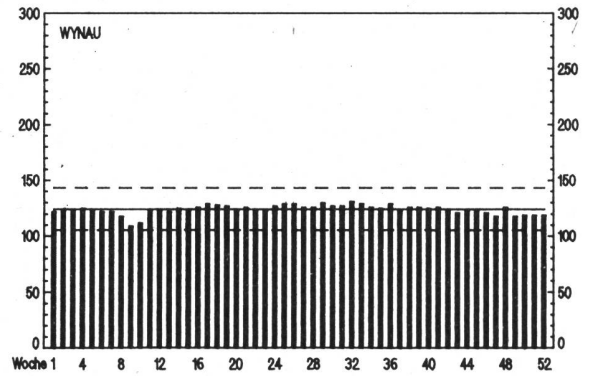
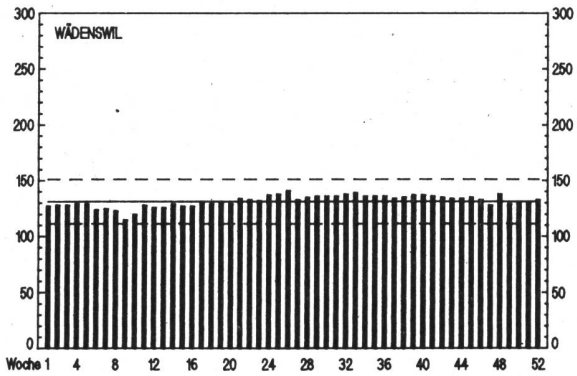
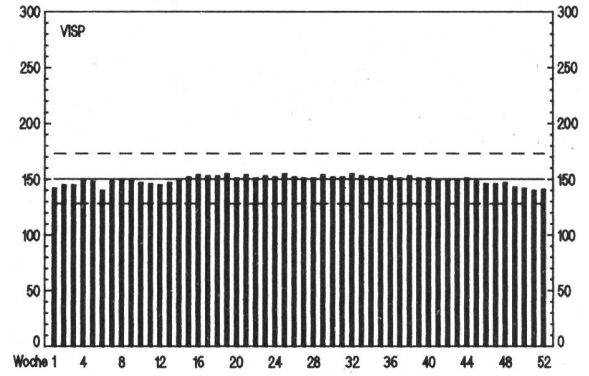
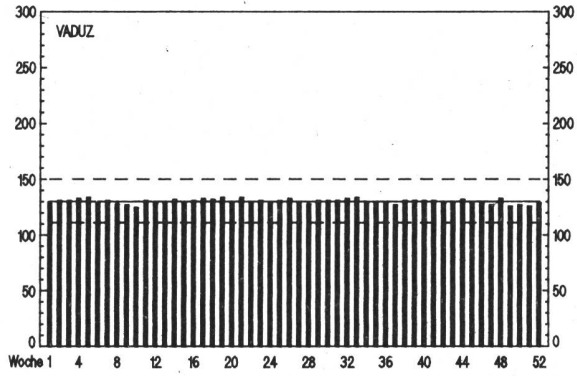


Fig. 3.16.k: Wochenmittelwerte der NADAM-Stationen in nSv/h 1988

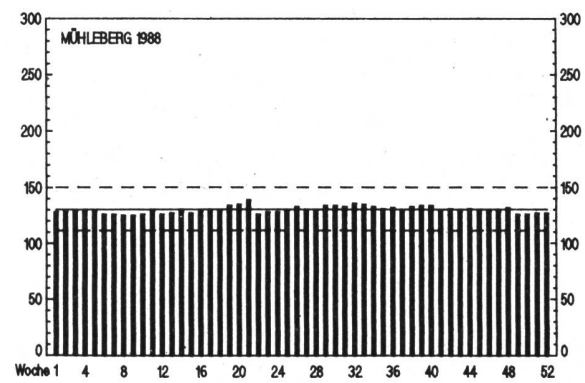
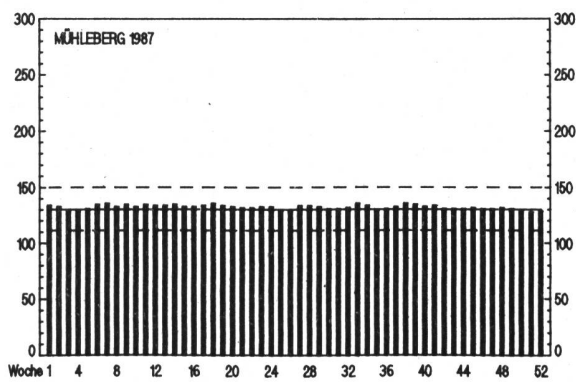
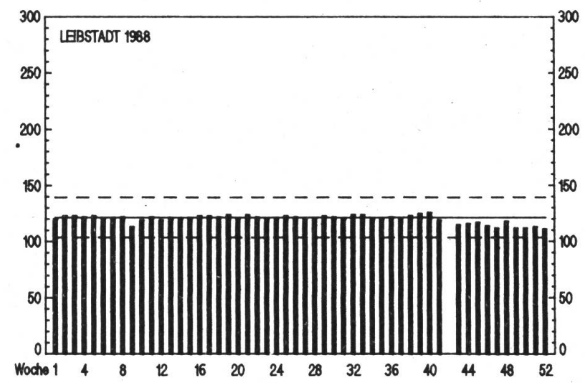
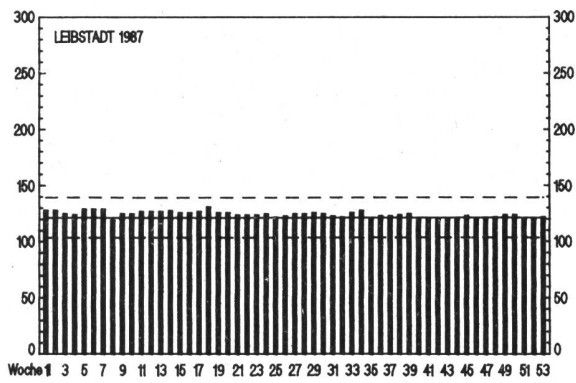
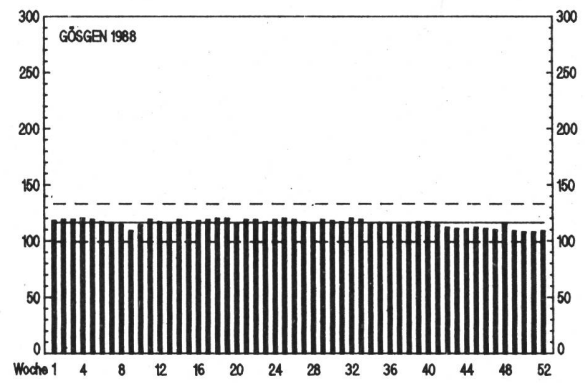
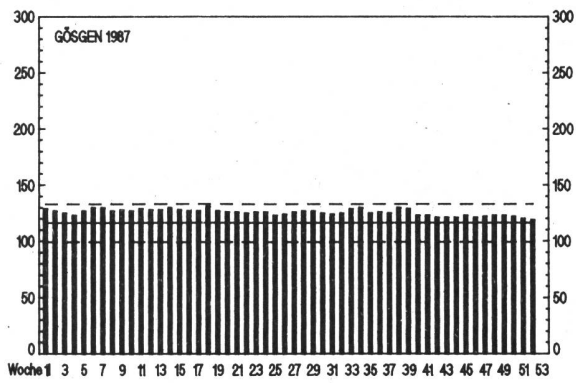
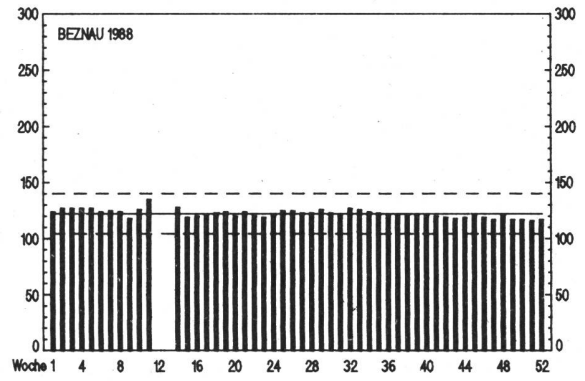
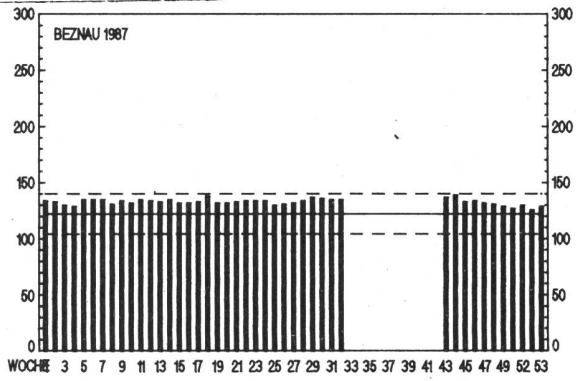


Fig.3.17.a: Aktivitätsflächenbelegung durch Cs-137 in Bq/m² in der Schweiz 1987 und 1988

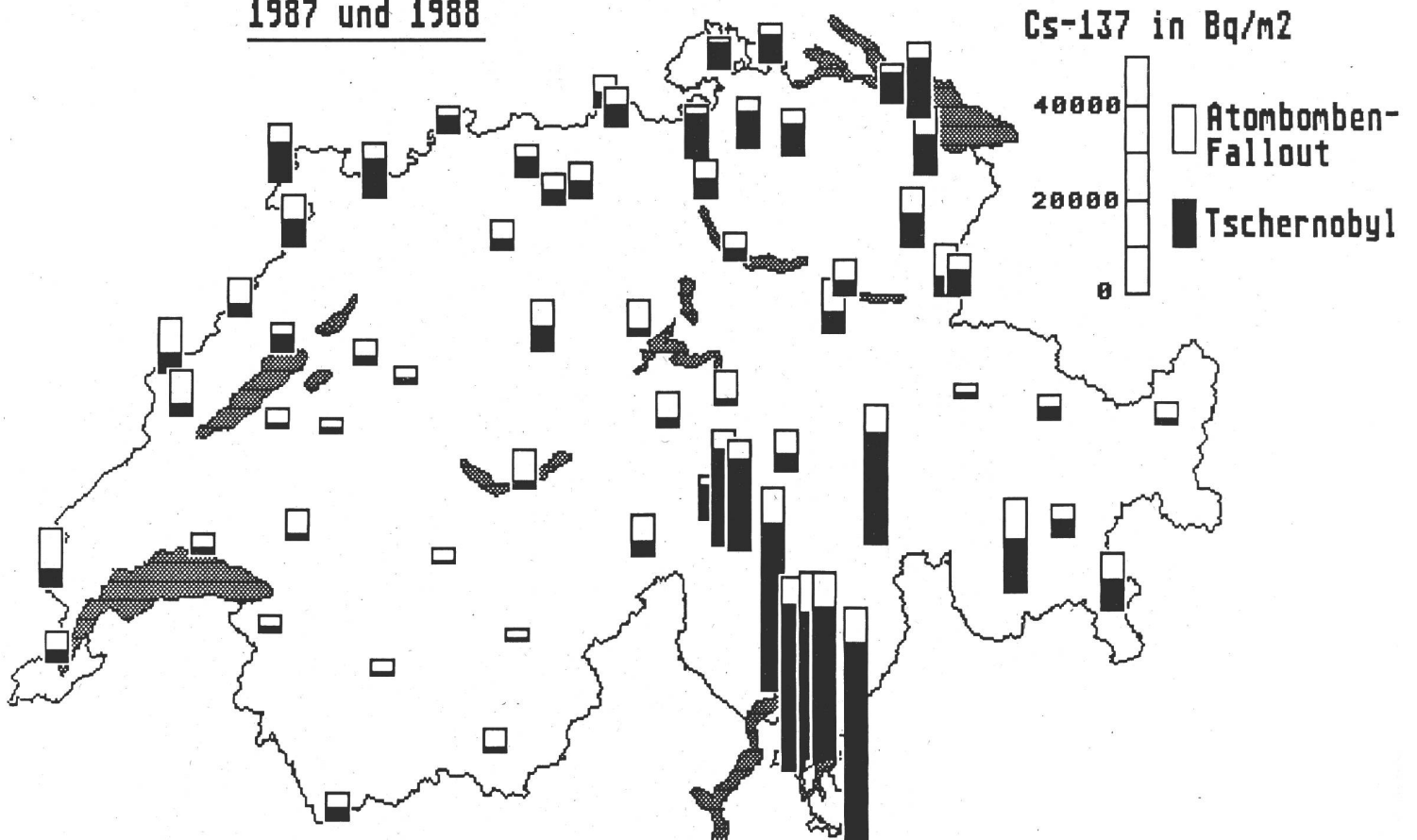
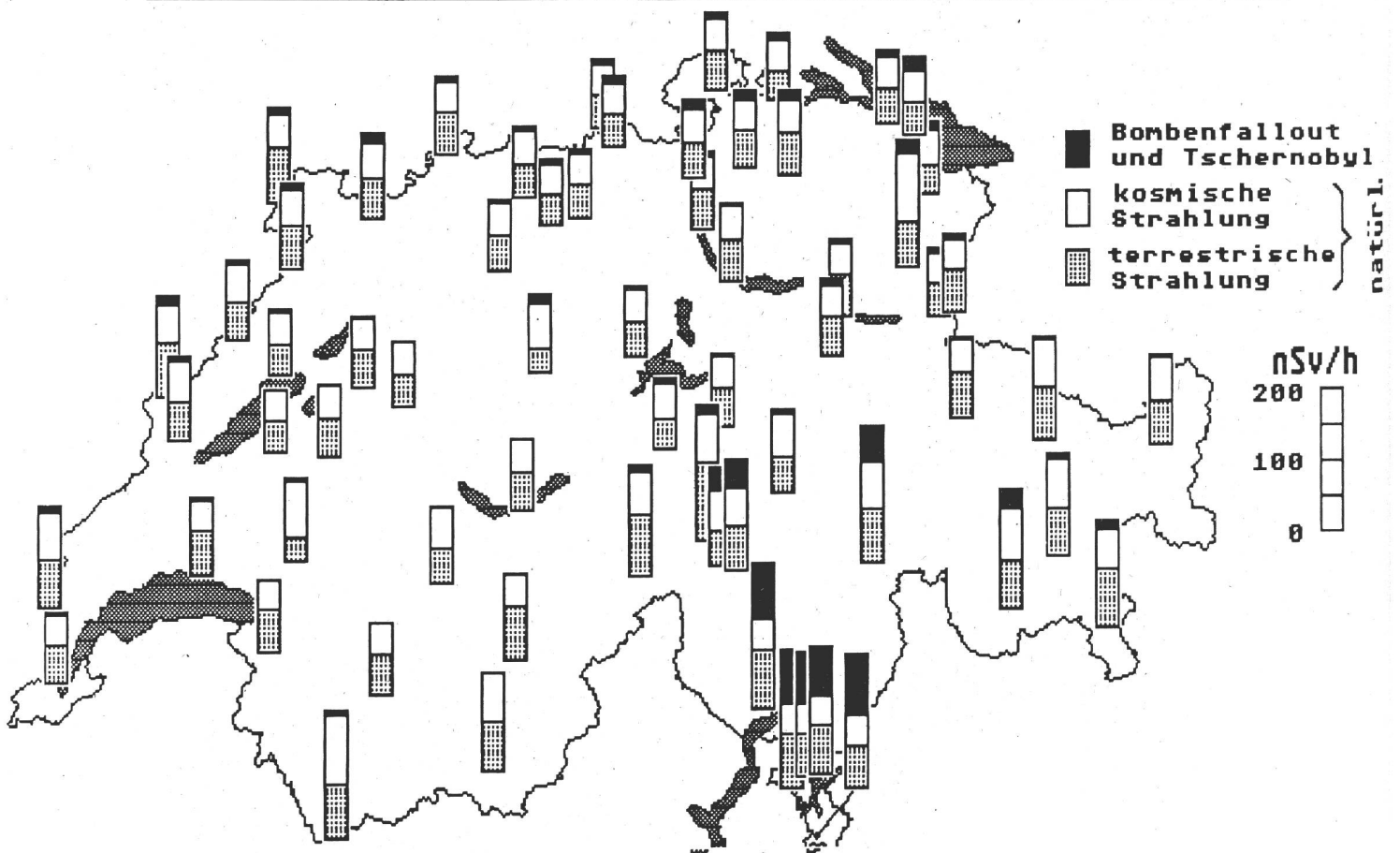
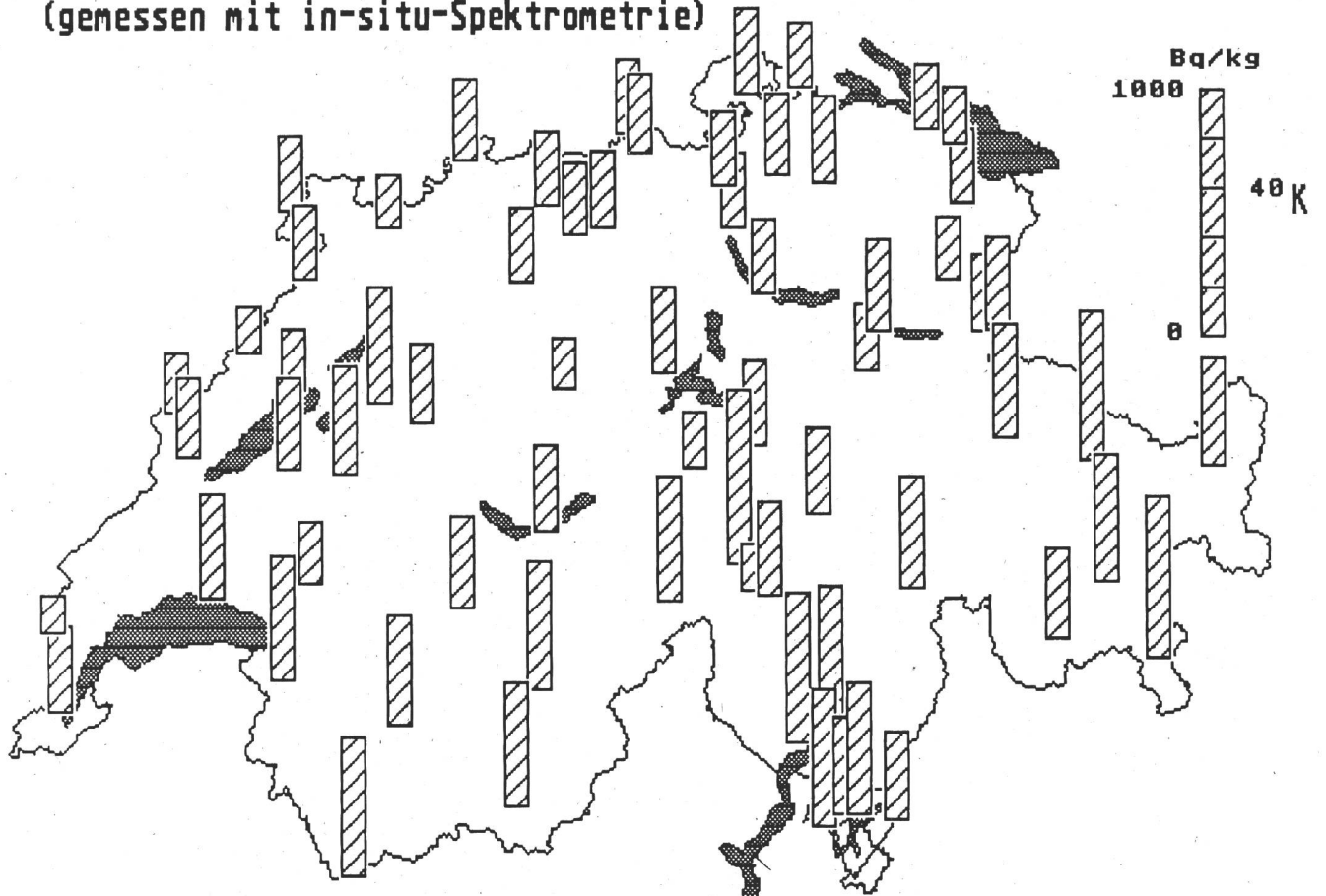


Fig.3.17.b: Beiträge zur Ortsdosisleistung in der Schweiz (1988)



**Fig.3.17.c: Kalium-40-Gehalt des Bodens in der Schweiz
(gemessen mit in-situ-Spektrometrie)**



**Fig.3.17.d: Natürlicher Radioaktivitätsgehalt des Bodens in der Schweiz
(gemessen mit in-situ-Spektrometrie)**

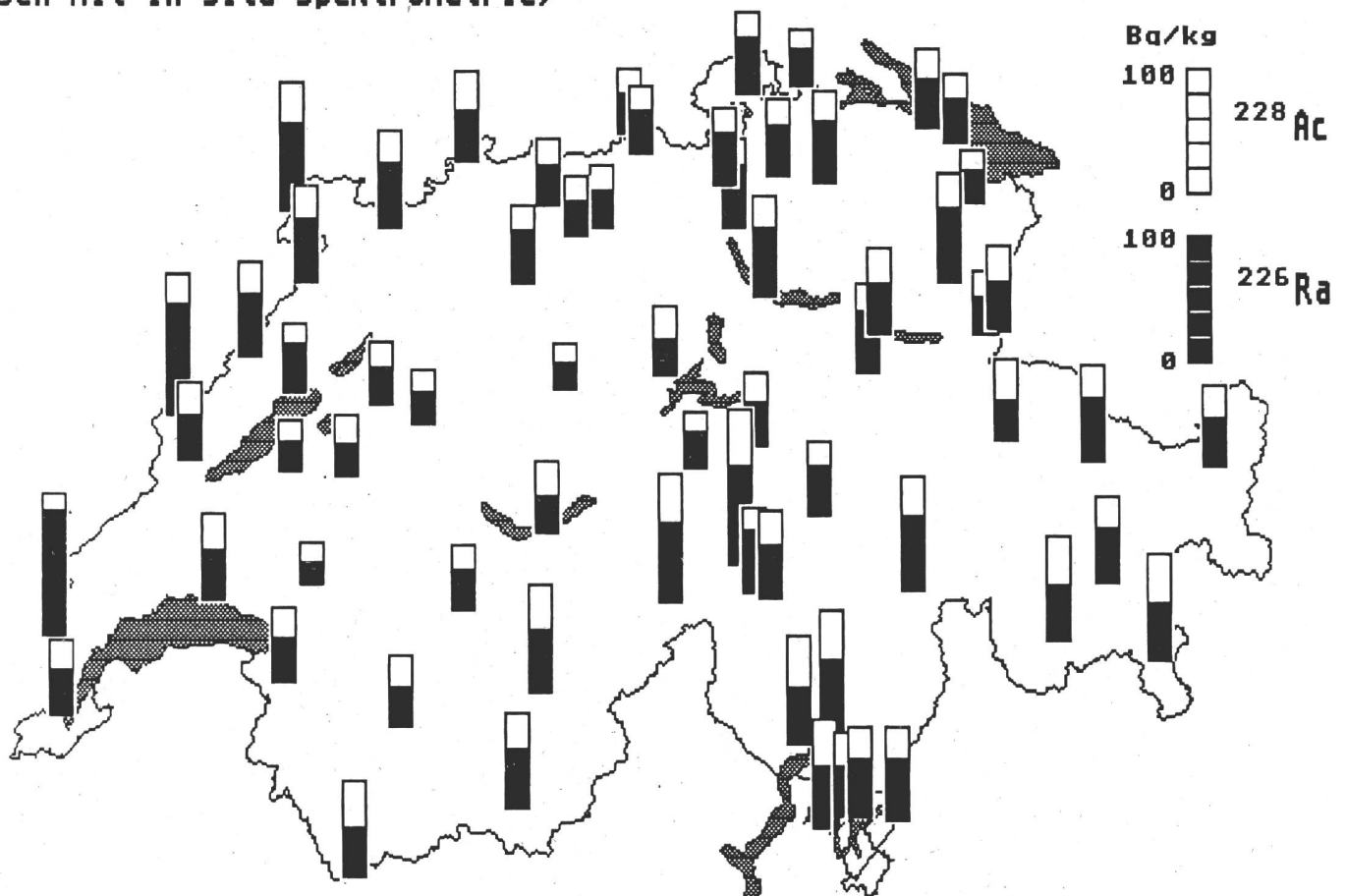


Fig.3.17.e: Verhältnis der Messwerte:
NADAM / Ionisationskammer (1986-1988)

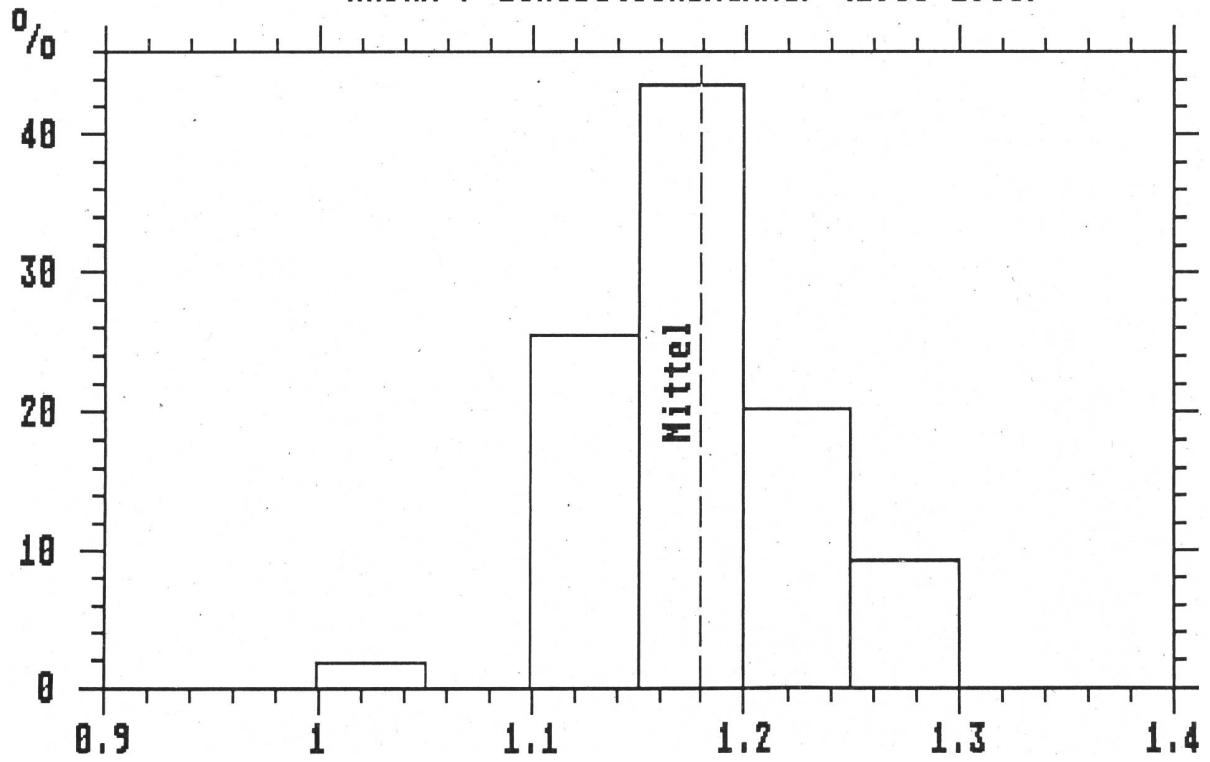


Fig. 3.17.f: Caesium in Genestrerio/TI (1986-88)

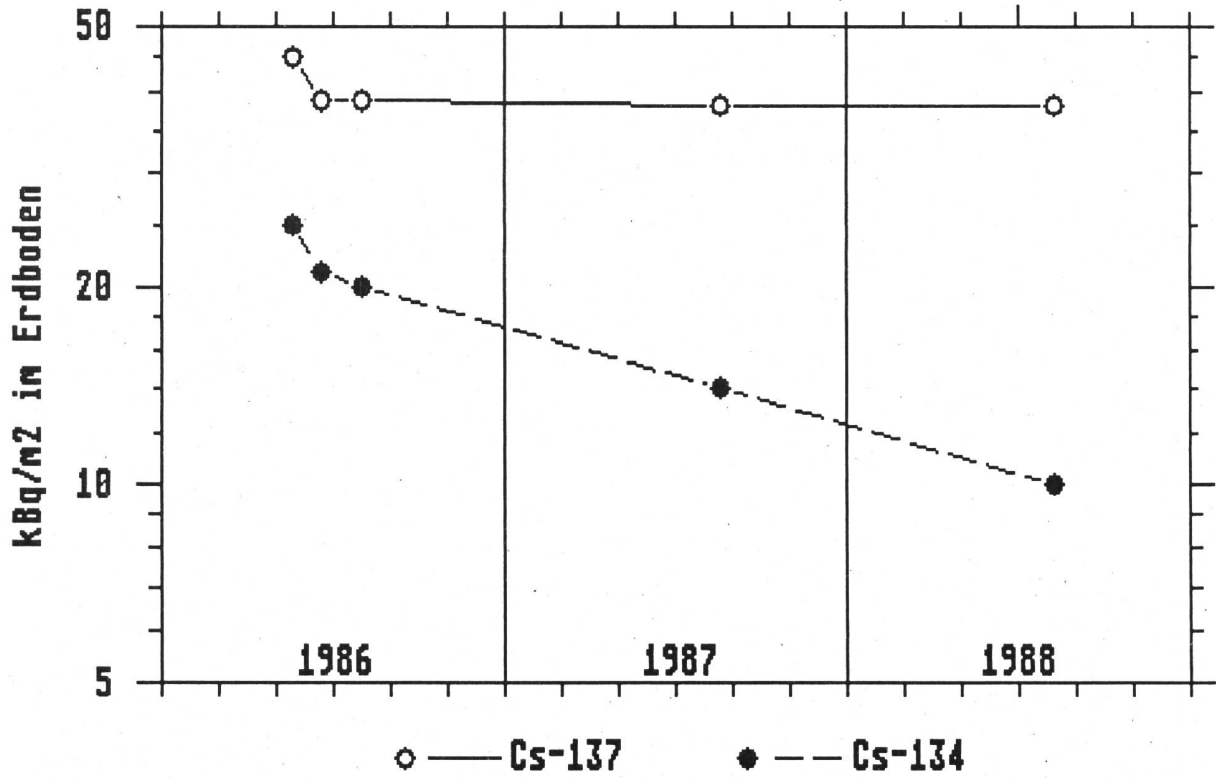


Fig 3.17.g: Caesium in Genestrerio/TI (1986-88)

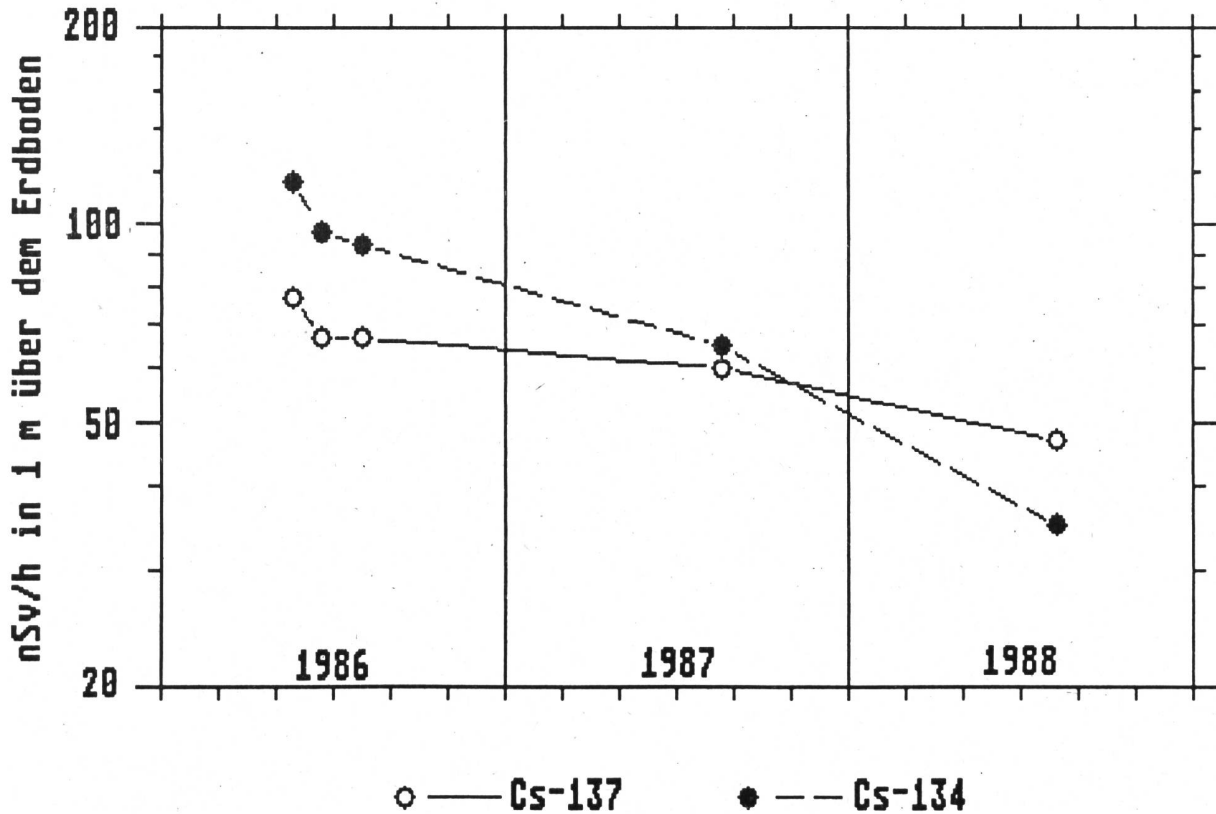


Fig.3.18.a: K-40 in Erde 87 und 88

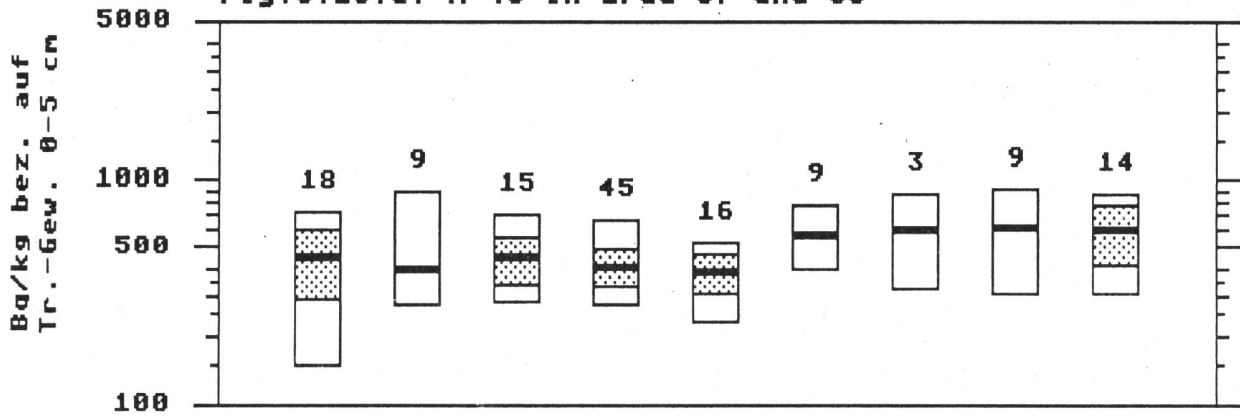


Fig.3.18.b: Cs-137 in Erde 87 und 88 : Tschernobyl-Anteil

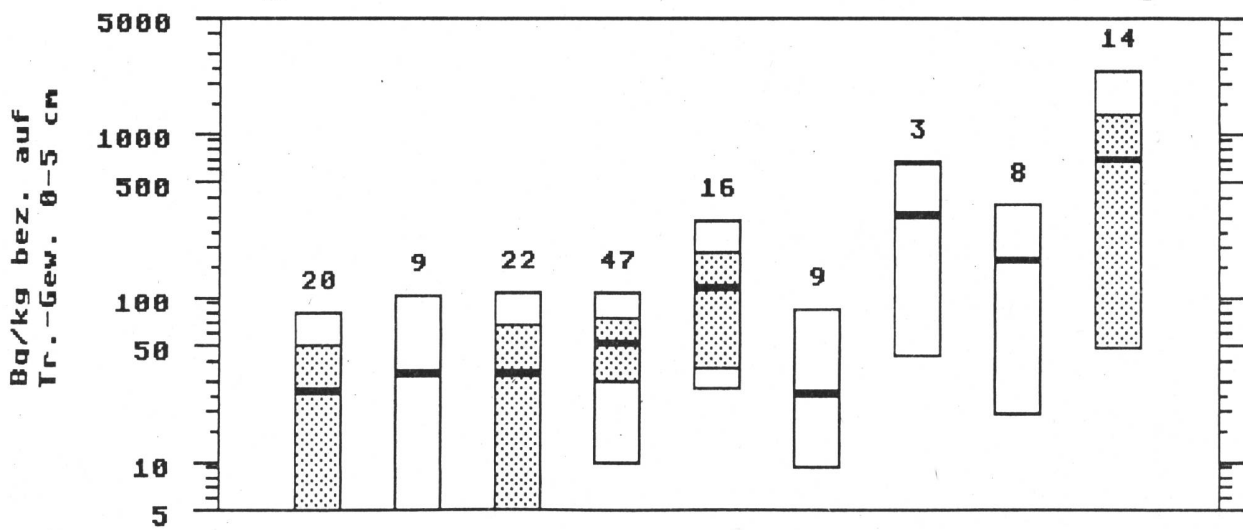


Fig.3.18.c: Cs-137 in Erde 87 und 88 : Bomben Fallout

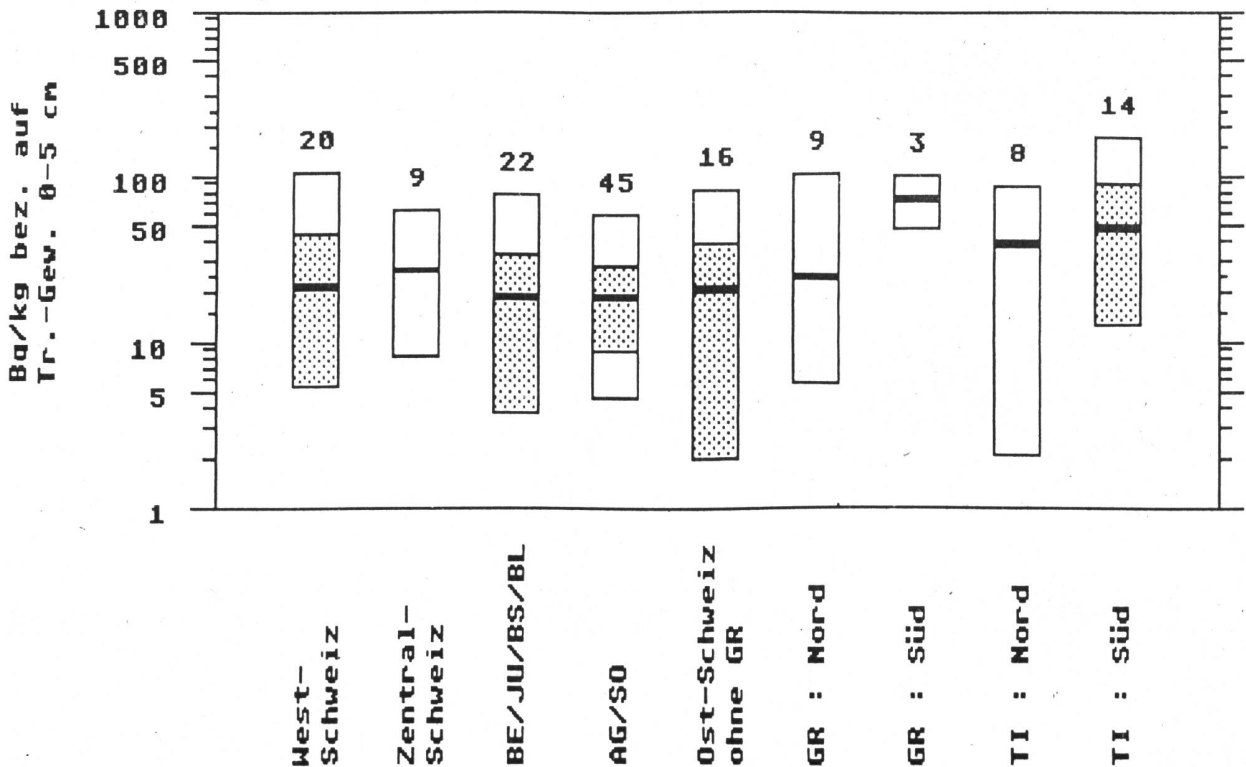


Fig.3.19.a: Cs-137 in Gras frisch

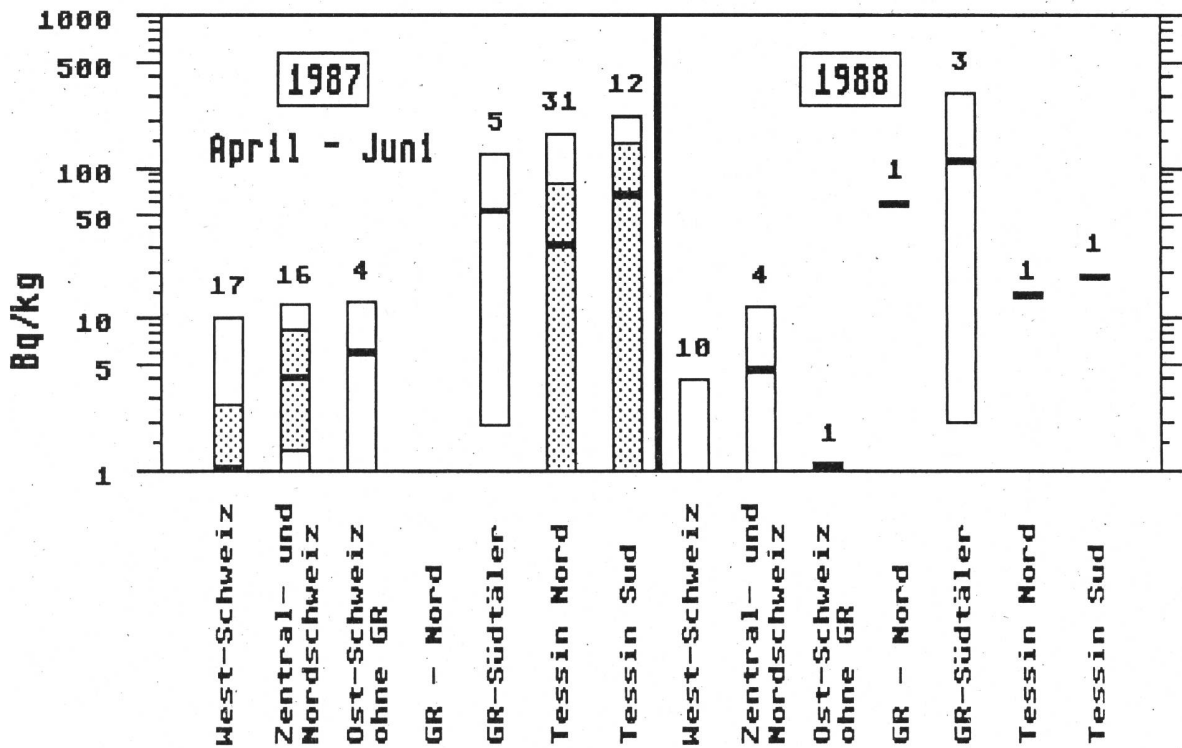


Fig.3.19.b: Cs-137 in Gras (auf trocken umgerechnet) & Heu

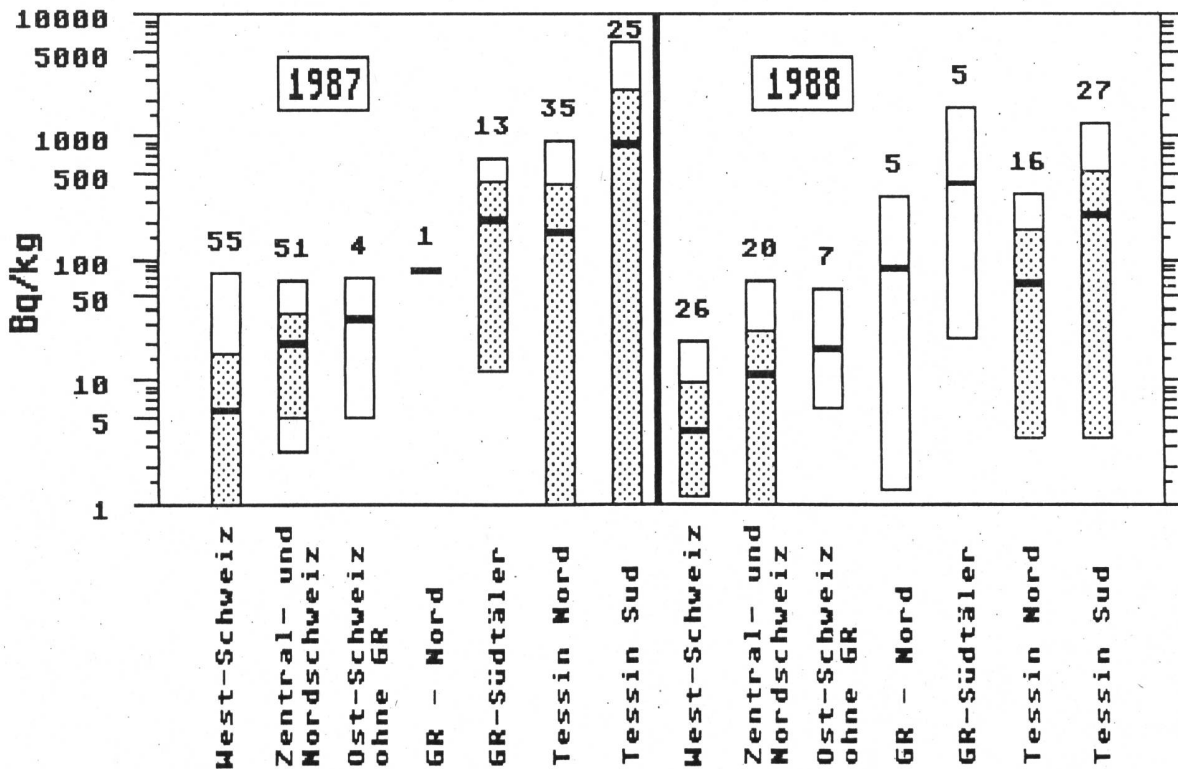


Fig.3.19.c: Cs-137 in Gras (frisch) Spiez, Faulensee und Alp Ober-Suldtal/BE 1987

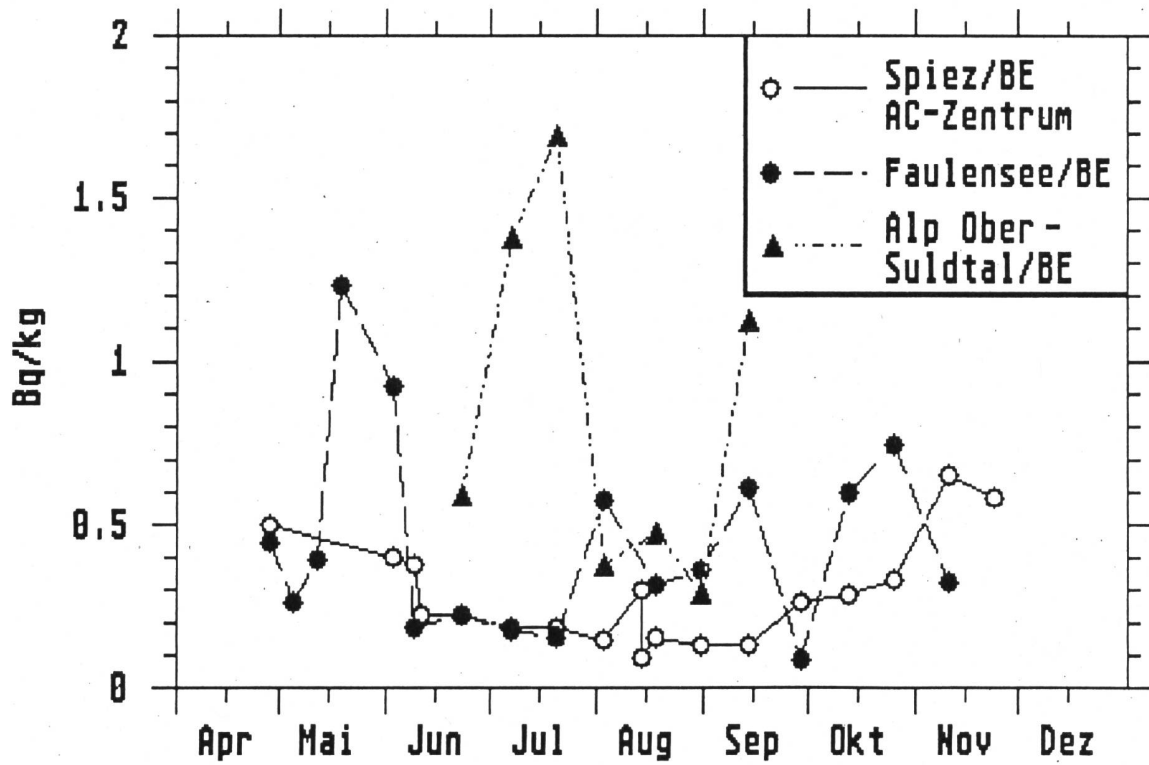


Fig. 3.19.d: Cs-137 in Silofutter (87) (=Ernte 86)

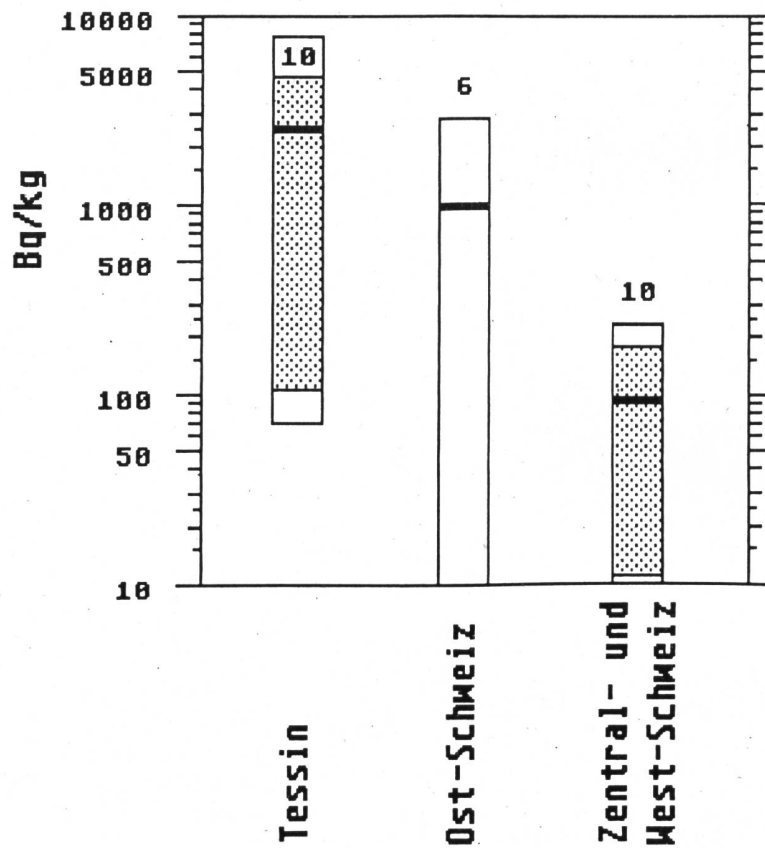


Fig. 3.19.e: Korrelation Erde (0-5cm) - Gras (1987)

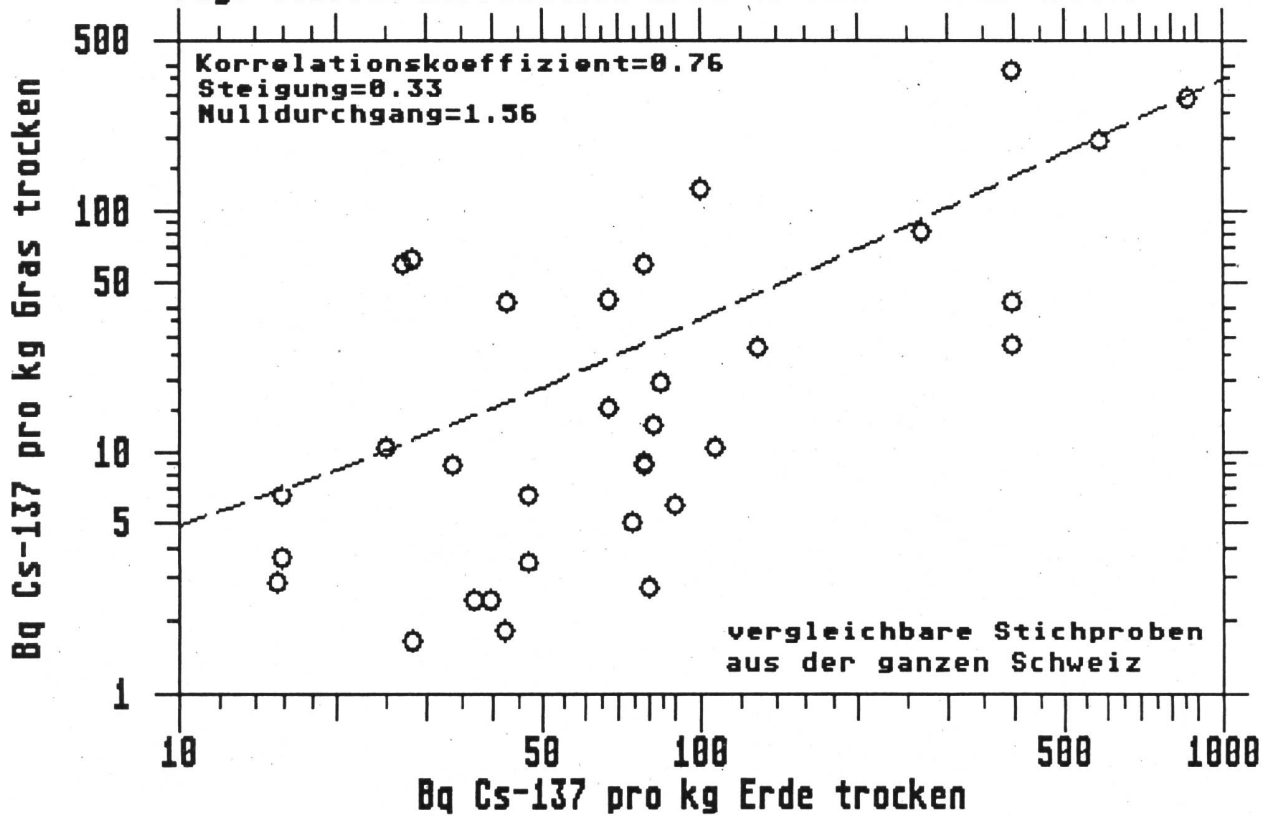


Fig.3.19.f: Korrelation Erde (0-5cm) - Gras (1988)

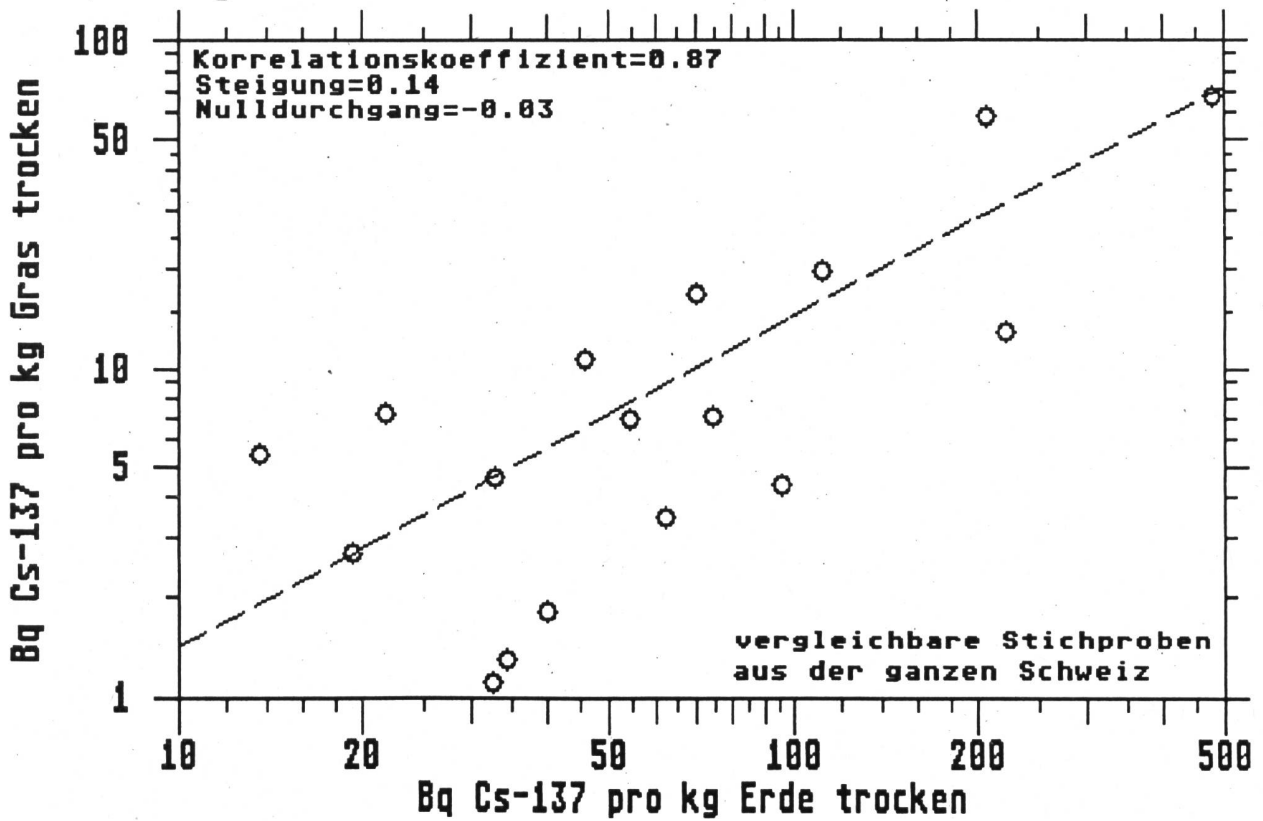


Fig.3.20.a: Cs-137 in der Milch aus dem Blenio-Tal/TI 1987

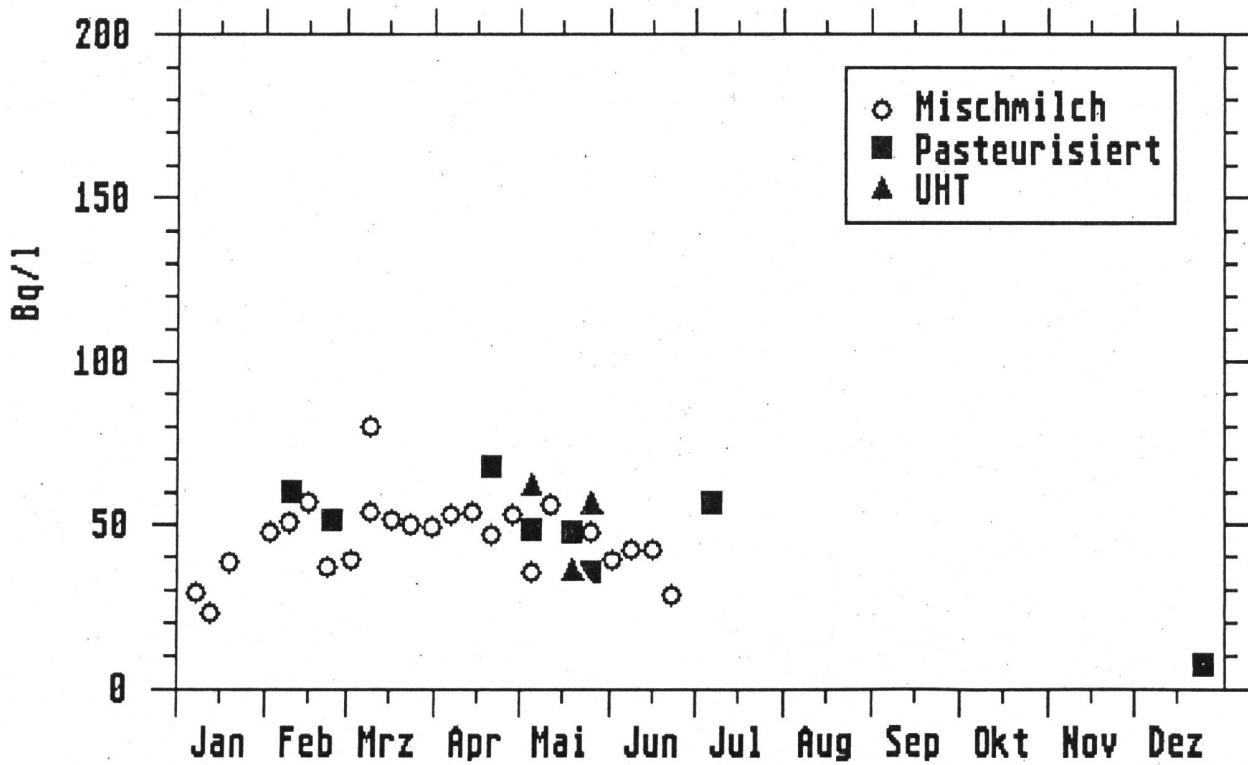


Fig.3.20.b: Cs-137 in der Milch von Piano Magadino/TI 1987

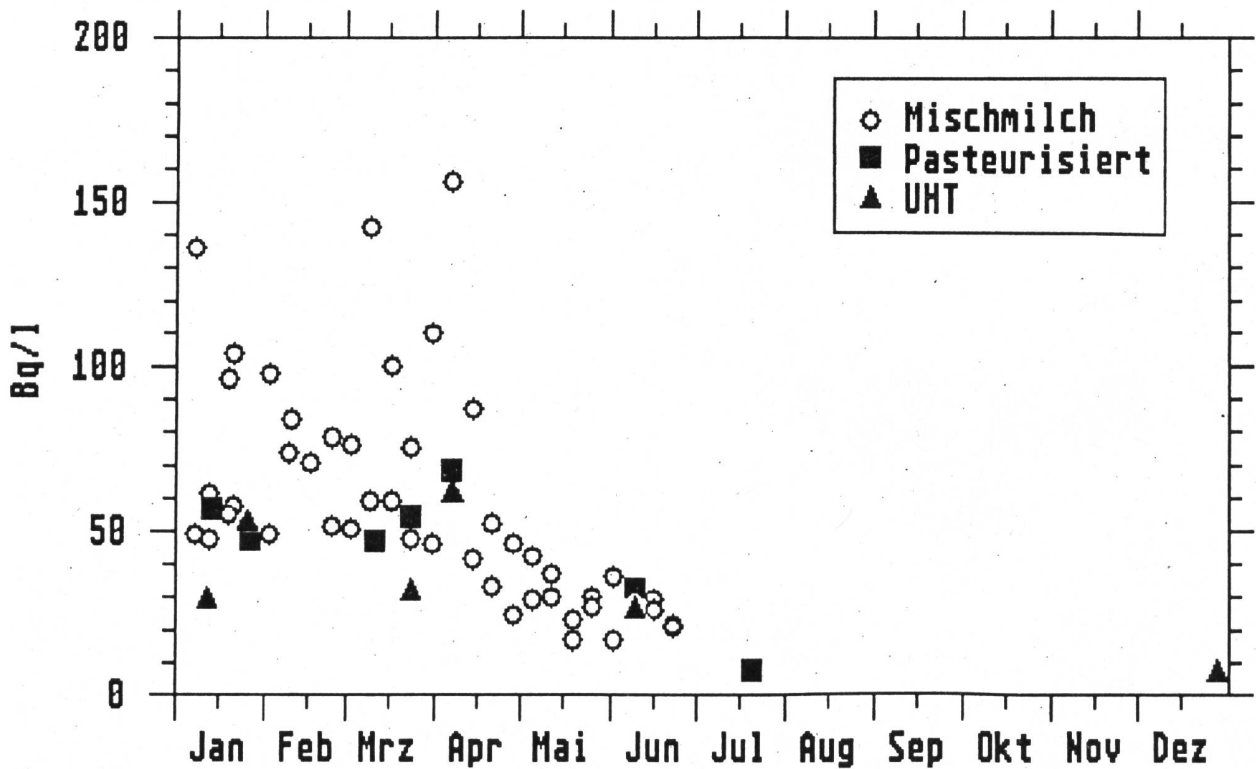


Fig.3.20.c: Cs-137 in der Milch aus dem Luganese/TI 1987

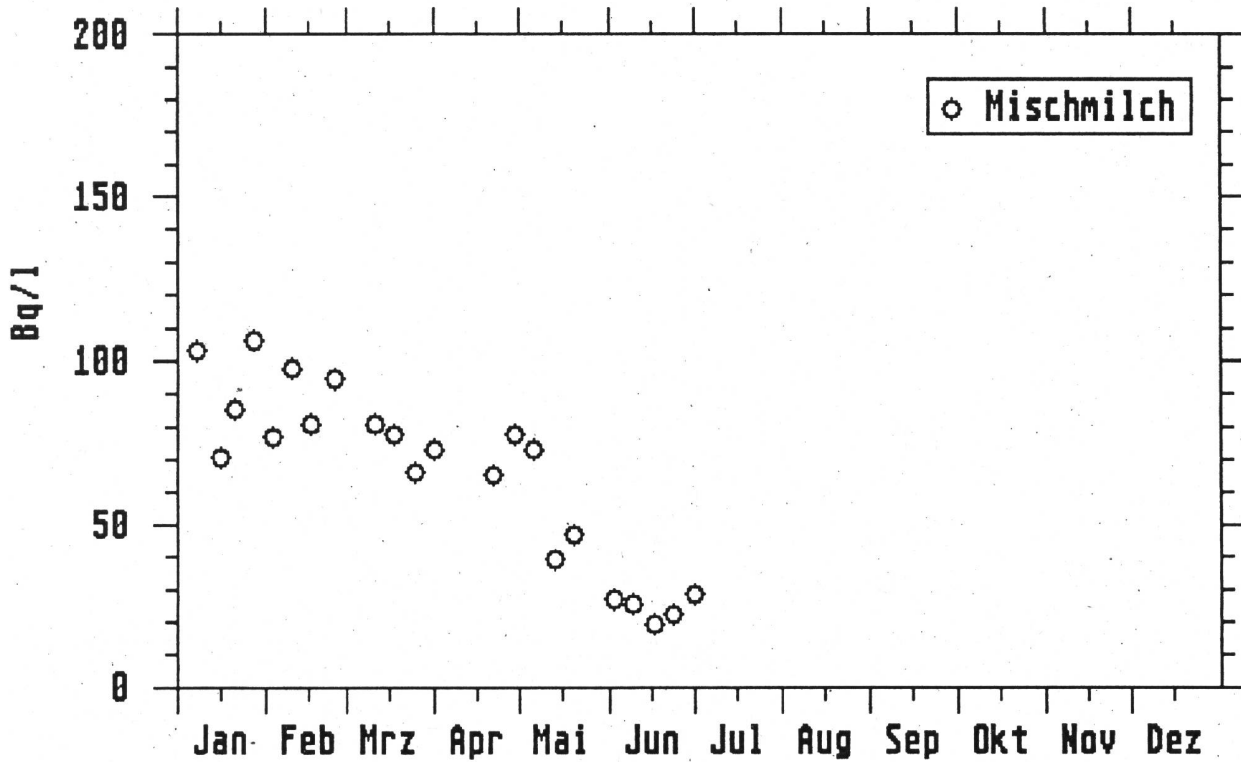


Fig.3.20.d: Cs-137 in der Milch aus dem Mendrisiotto/TI 1987

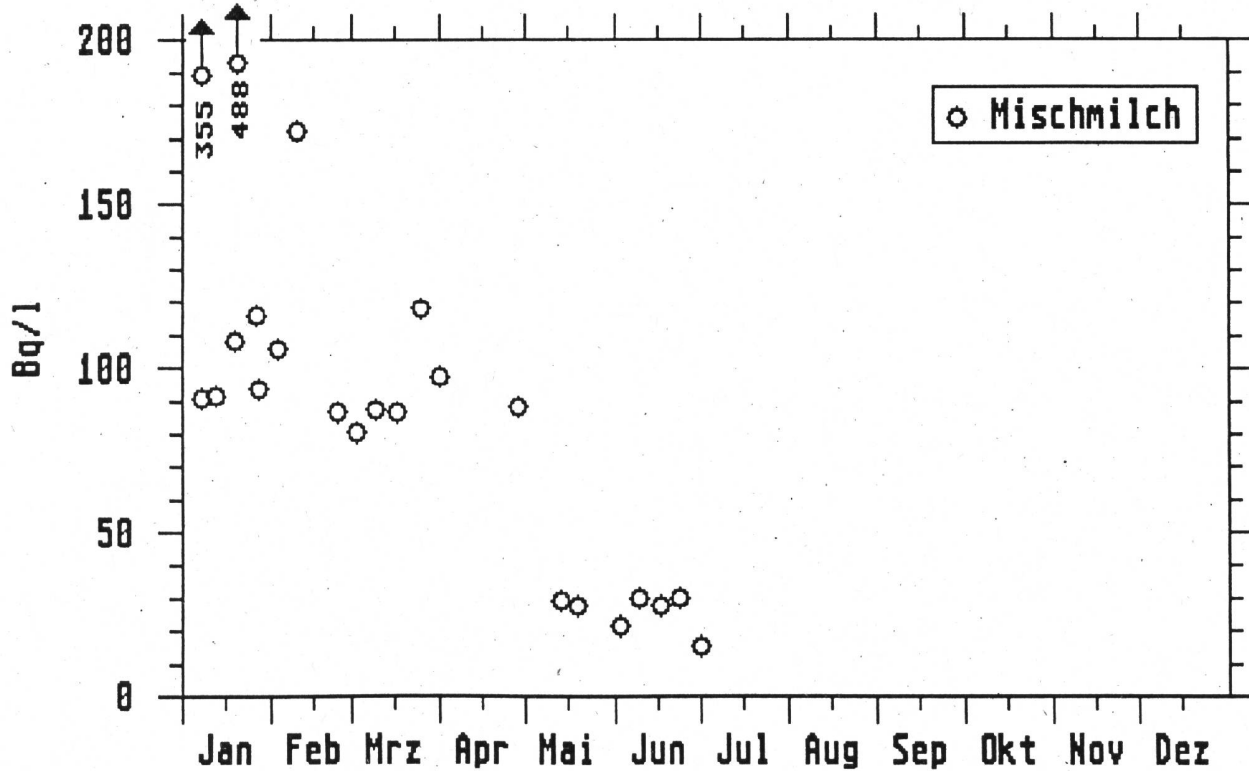


Fig.3.20.e: Cs-137 in Einzelmilchproben aus dem Tessin 87

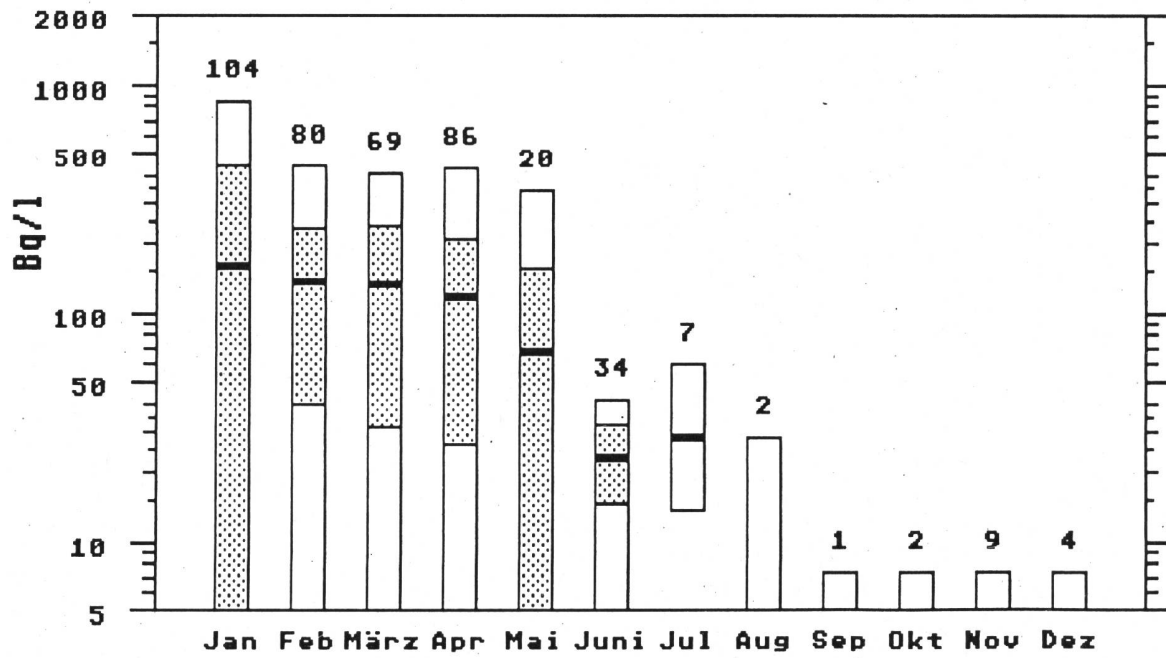


Fig.3.20.f: Cs-137 in Einzelmilchproben aus dem Tessin 88

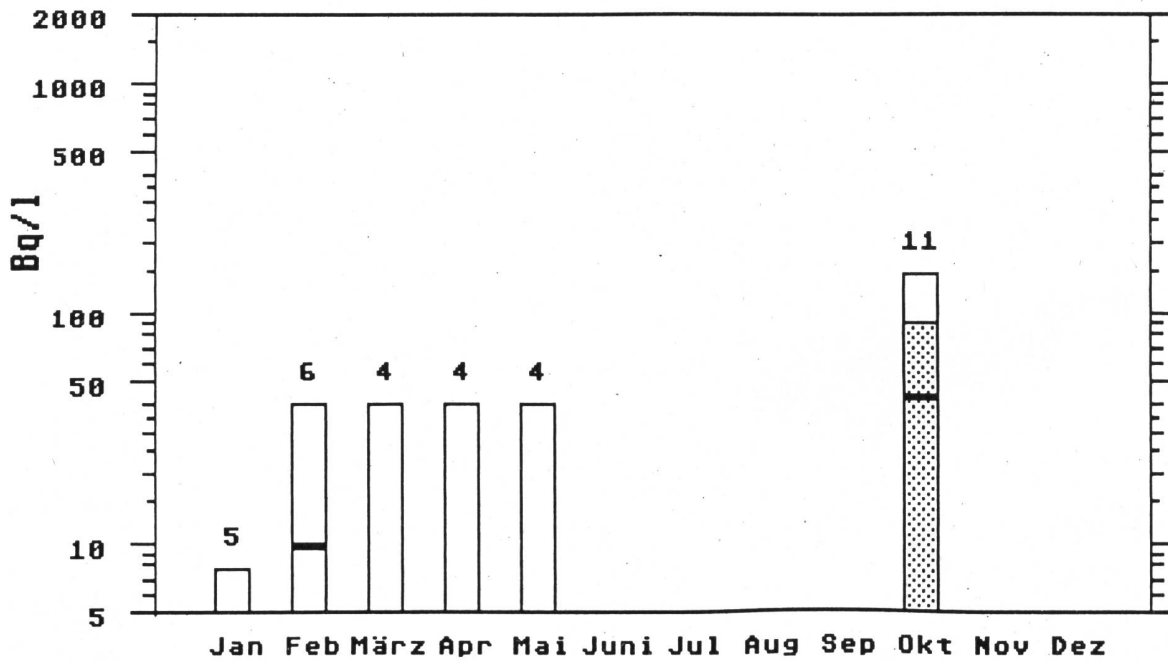


Fig.3.21.a: Cs-137 in Kuhmilch Graubünden 1987/1988

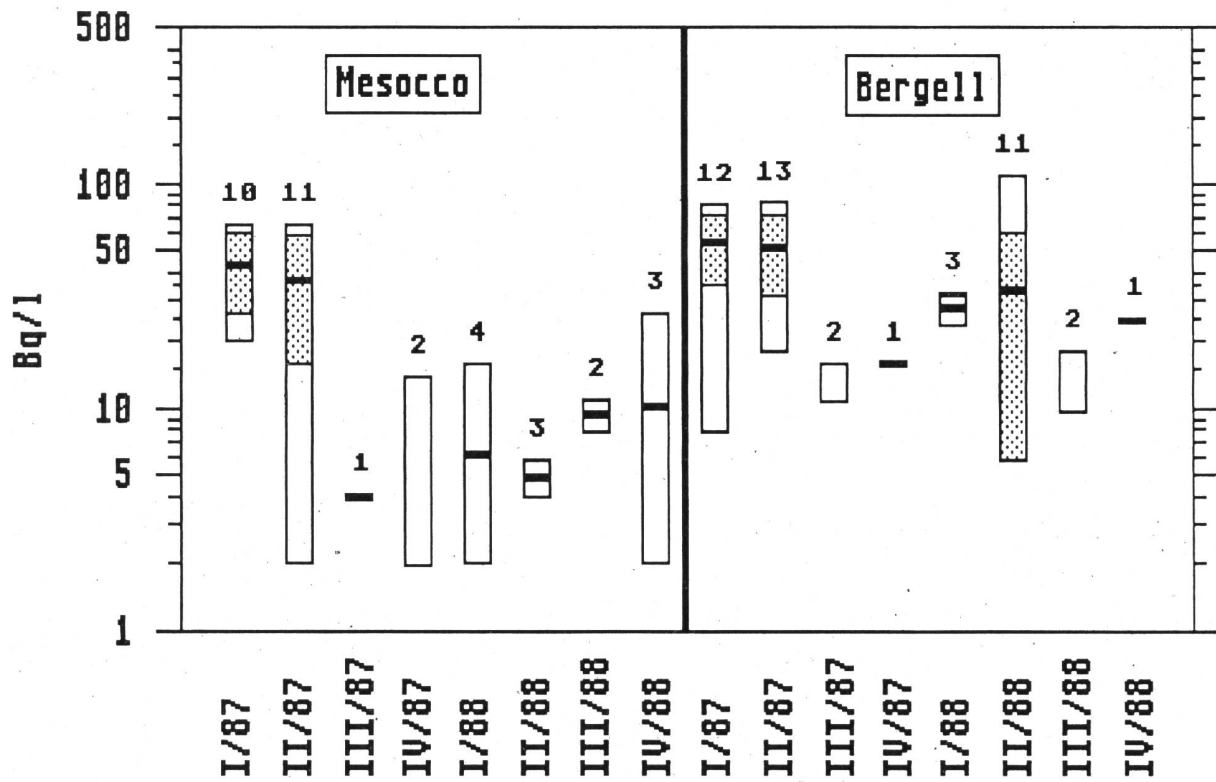


Fig.3.21.b: Cs-137 in Kuhmilch Graubünden 1987/1988

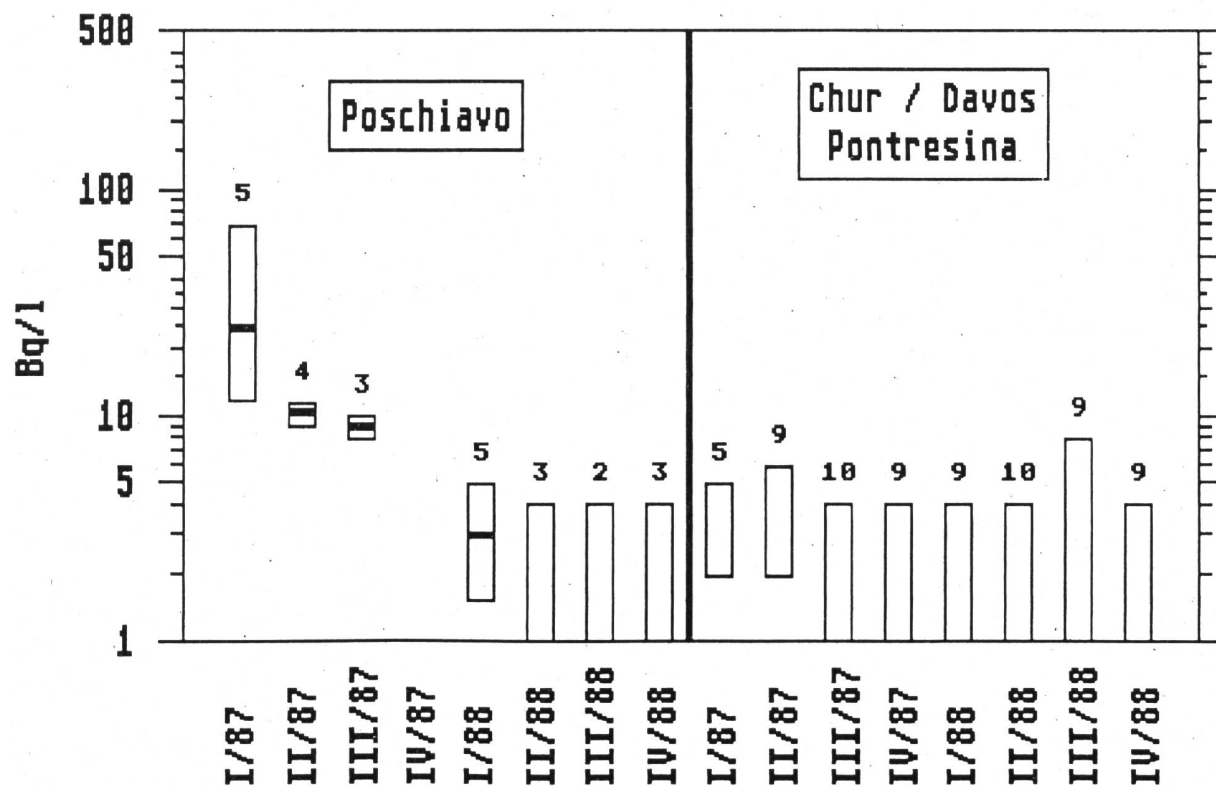


Fig.3.21.c: Cs-137 in Kuhmilch St.Gallen 1987/1988

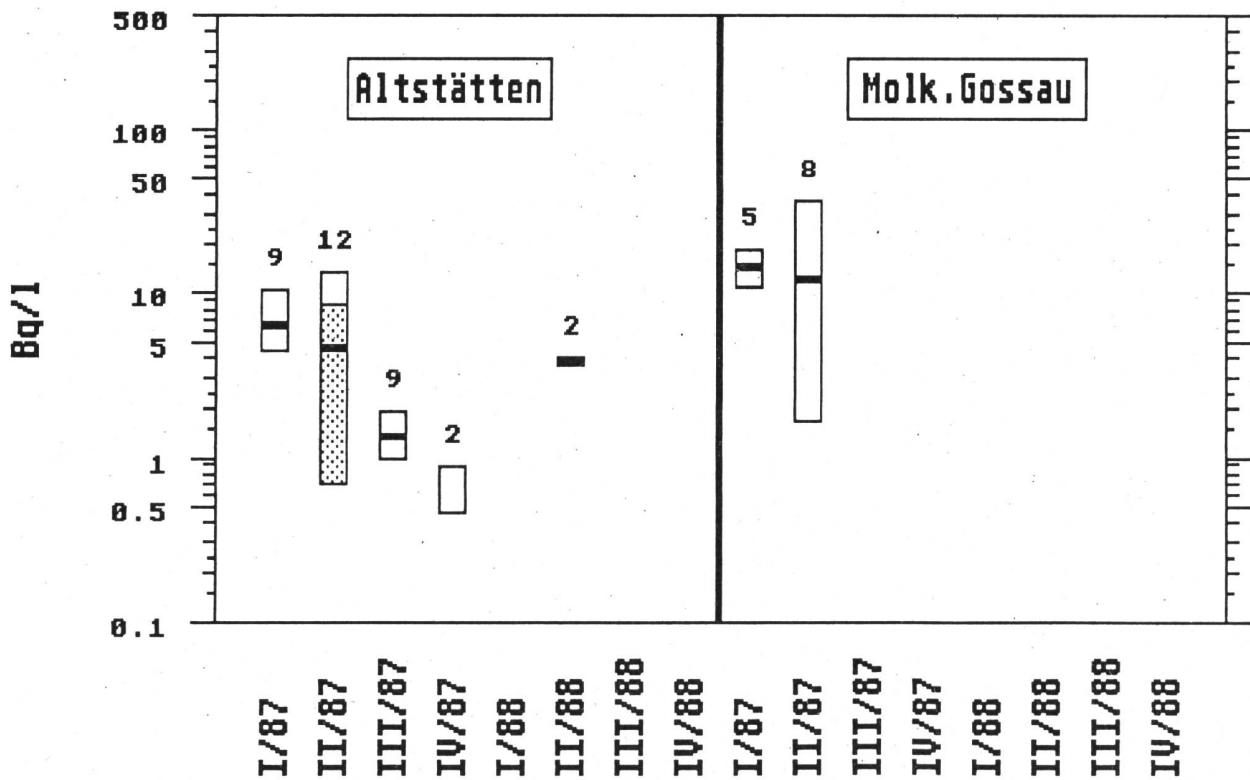


Fig.3.21.d:
Cs-137 in Kuhmilch
Thurgau 1987/1988

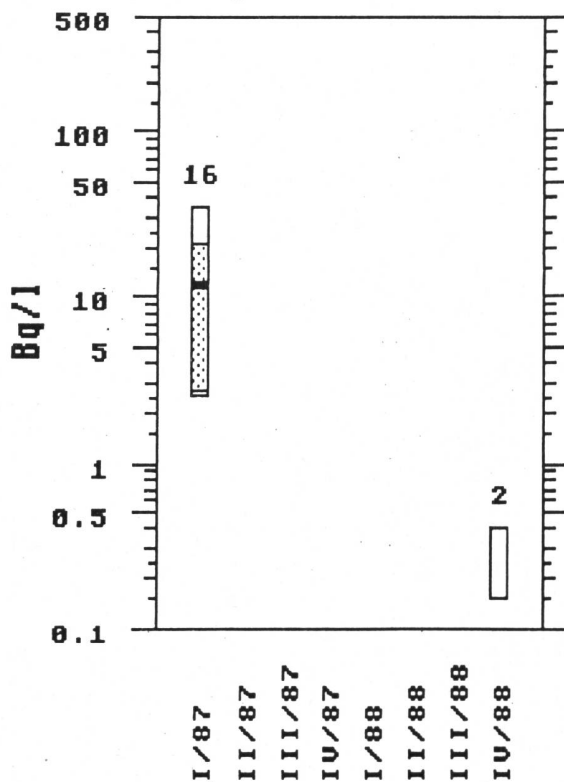


Fig.3.21.e:
Cs-137 in Kuhmilch
Schaffhausen 1987/1988

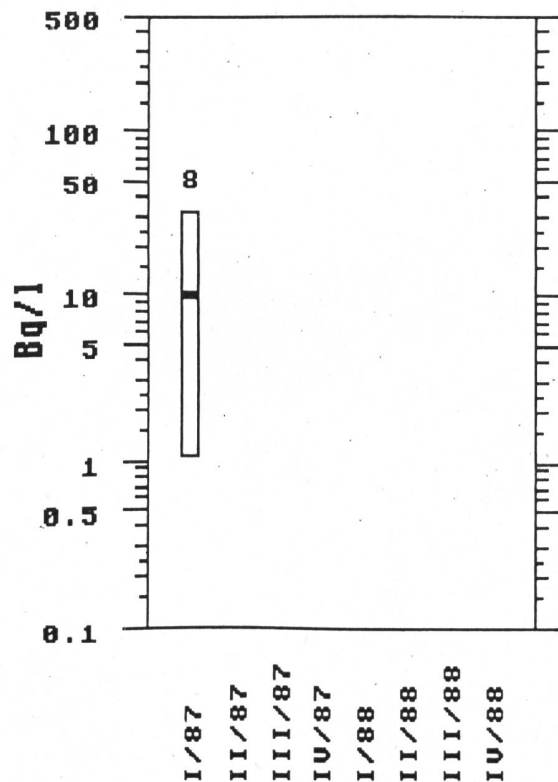


Fig.3.21.f: Cs-137 in Kuhmilch Zürich 1987/1988

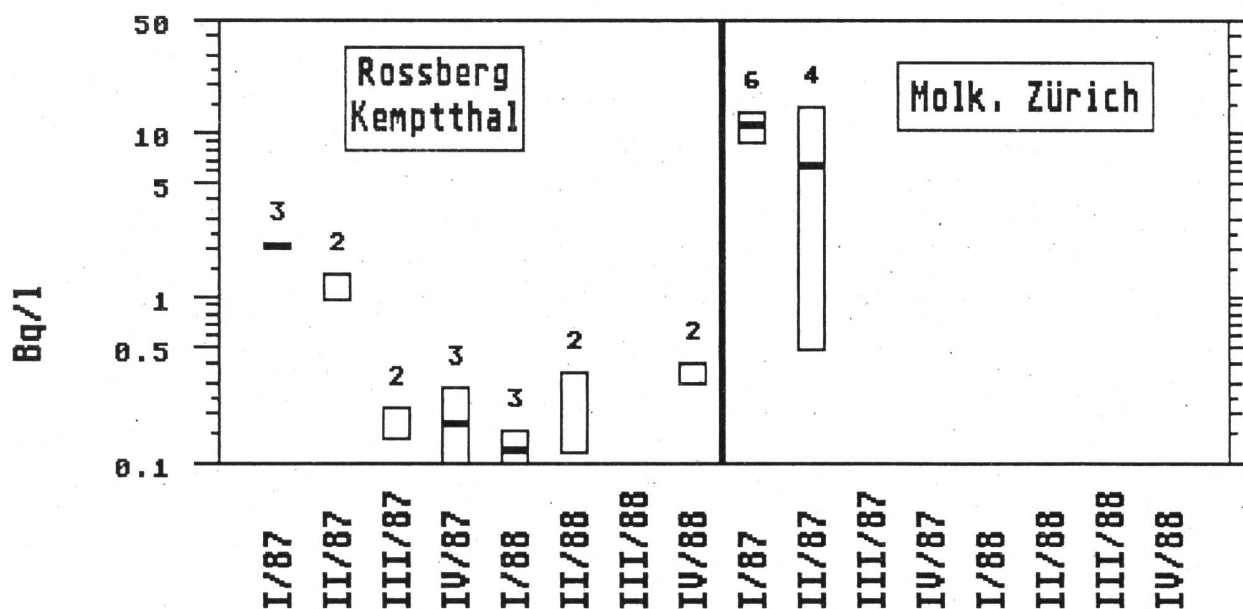


Fig.3.21.g: Cs-137 in Kuhmilch Basel (BS und BL) 1987/88

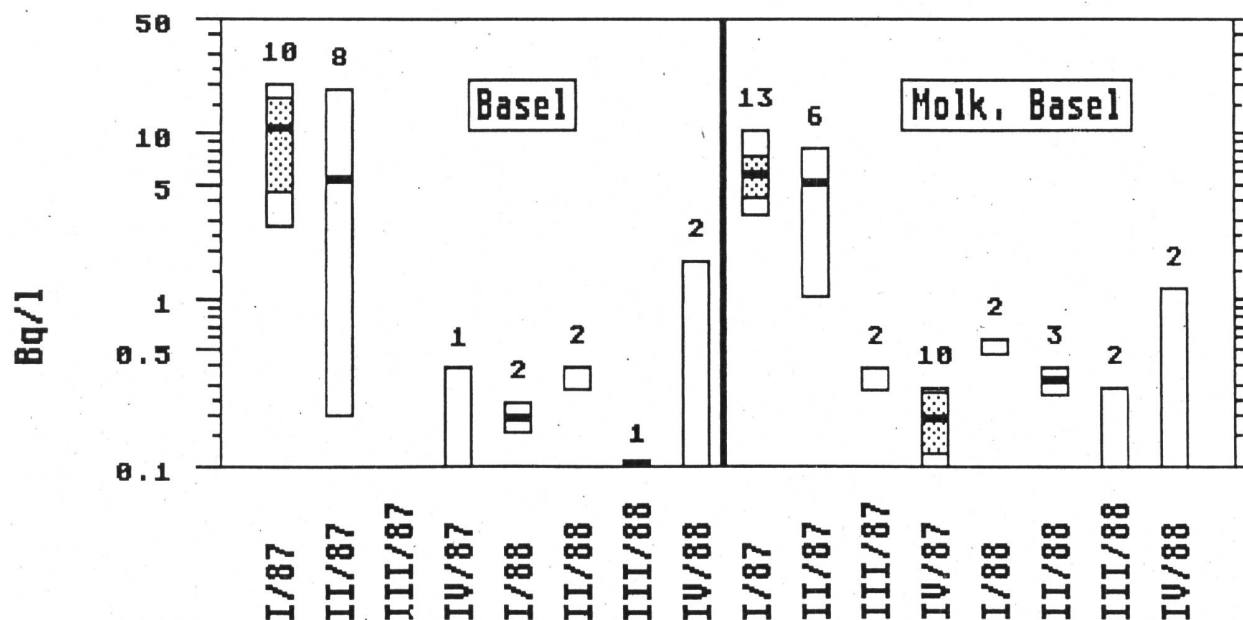


Fig.3.21.h: Cs-137 in Kuhmilch Aargau und Solothurn 87/88

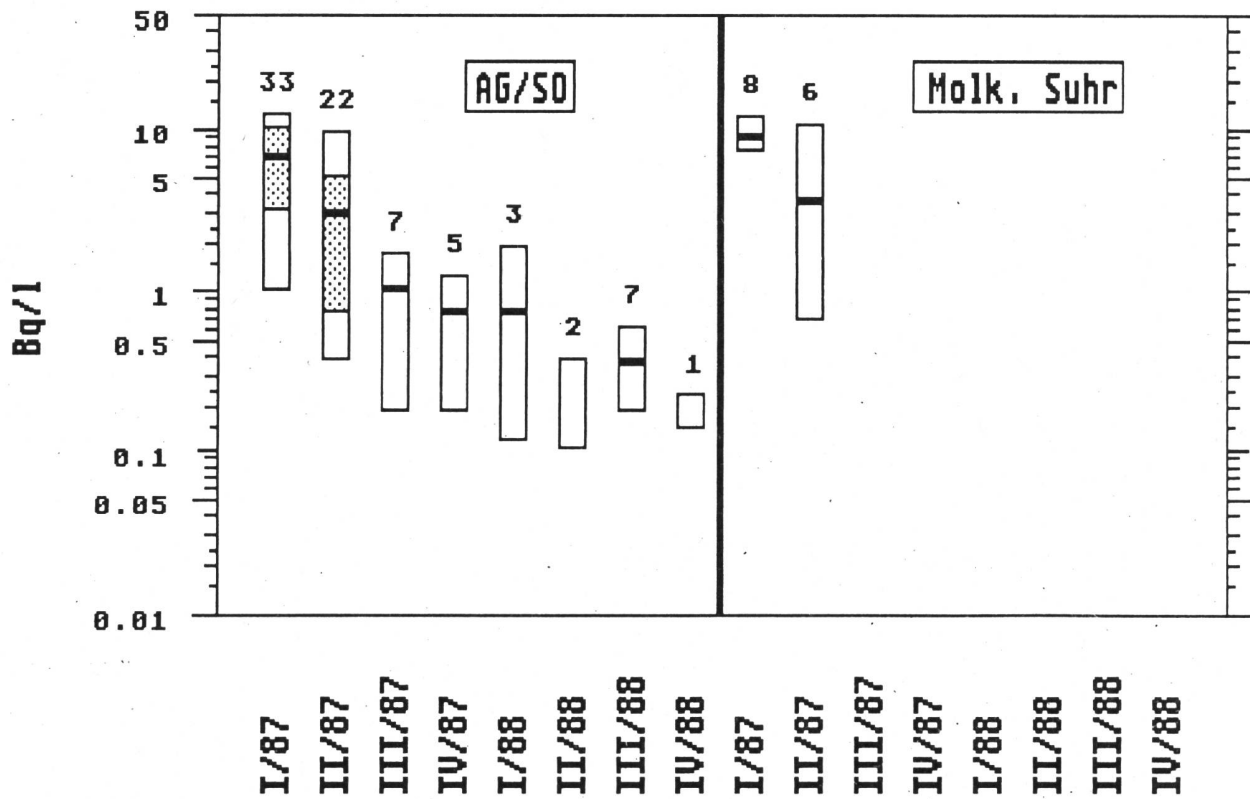


Fig.3.21.i: Cs-137 in Kuhmilch Innerschweiz 1987/1988

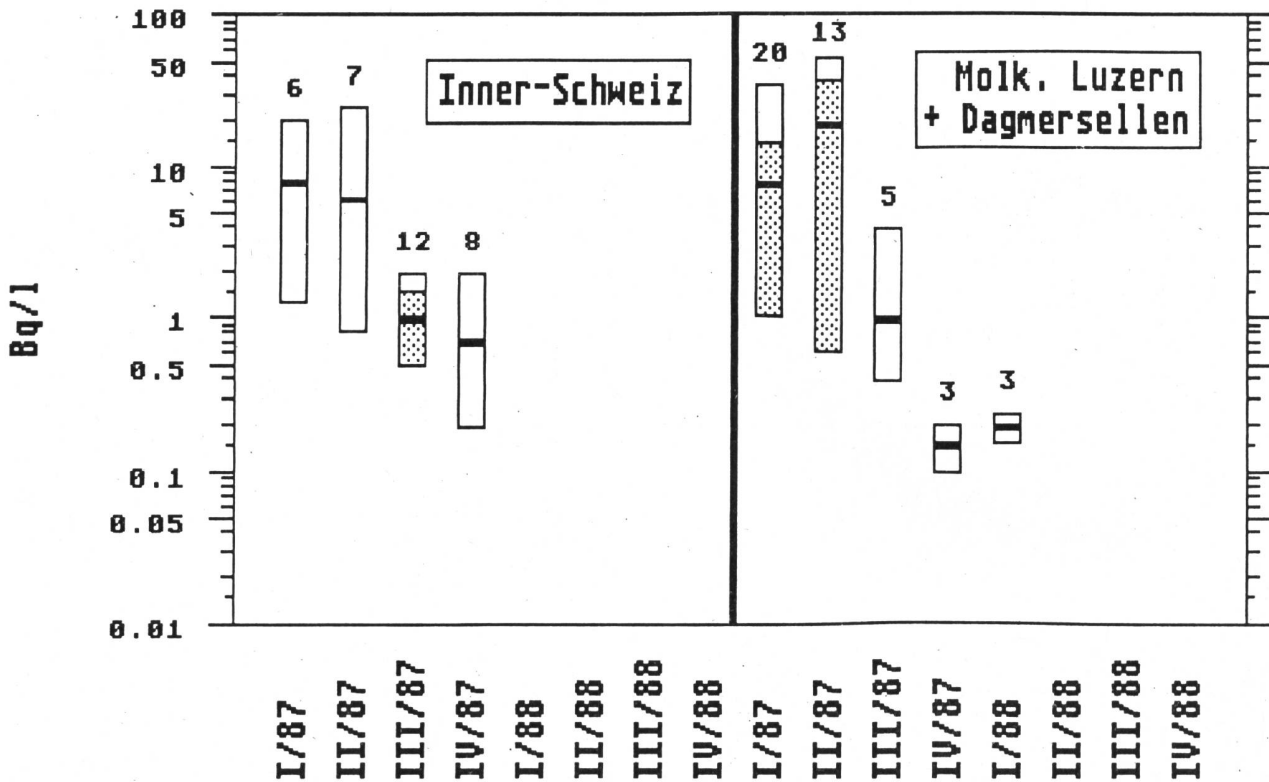


Fig.3.21.j: Cs-137 in Kuhmilch Bern 1987/1988

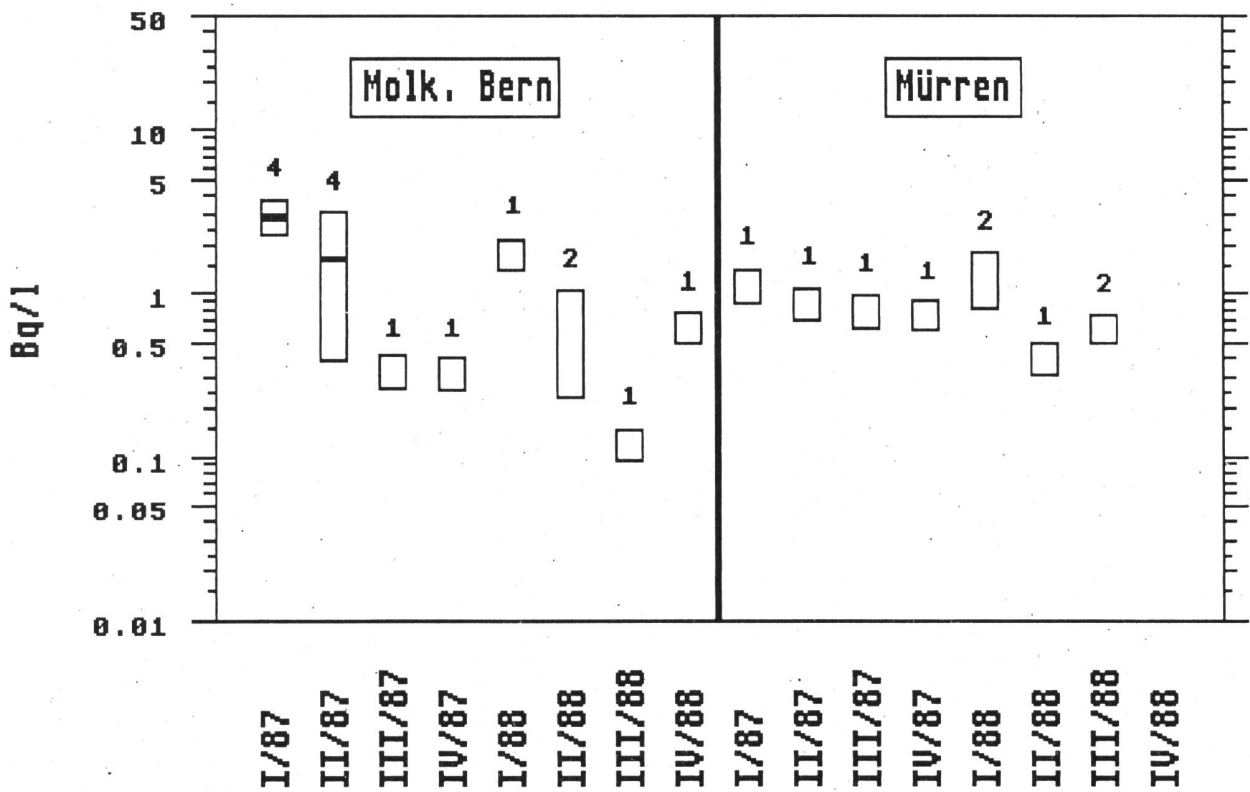


Fig.3.21.k: Cs-137 in Kuhmilch Bern 1987/1988

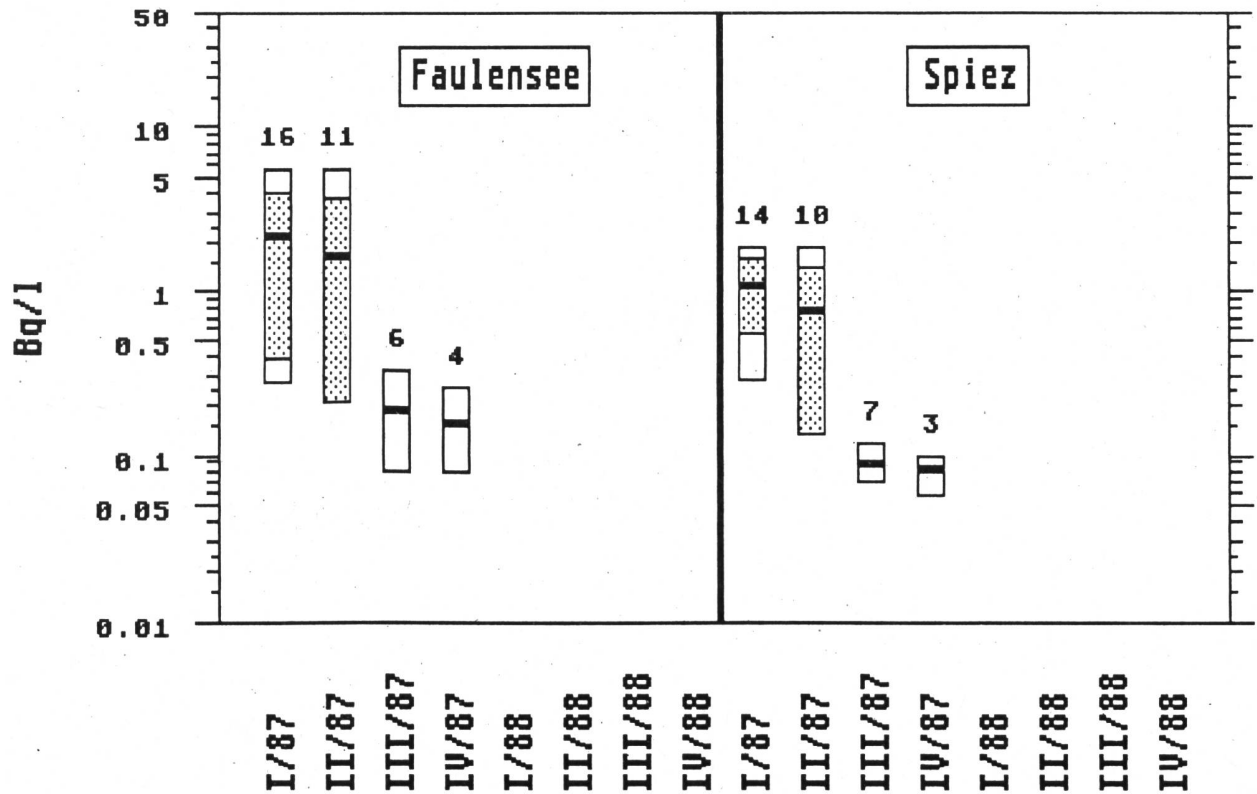


Fig.3.21.l: Cs-137 in Kuhmilch Bern 1987/1988

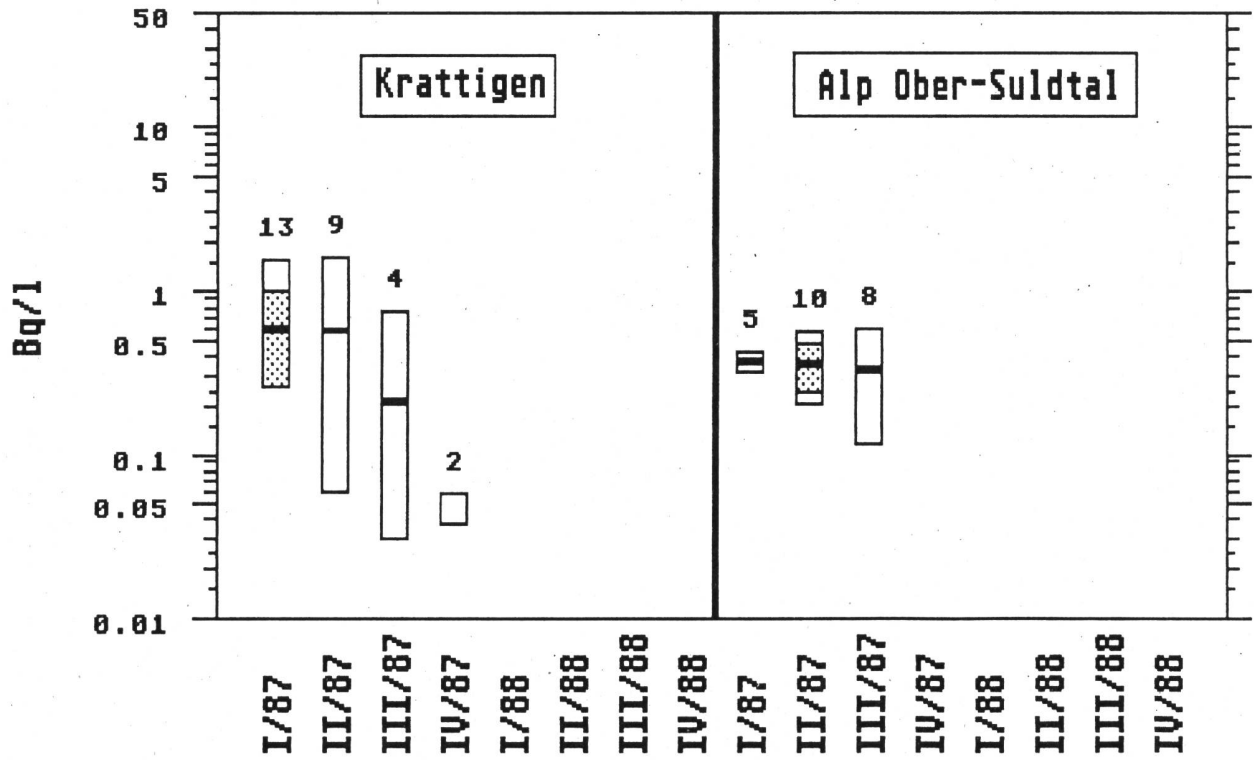


Fig.3.21.m: Cs-137 in Kuhmilch 1987 und 1988

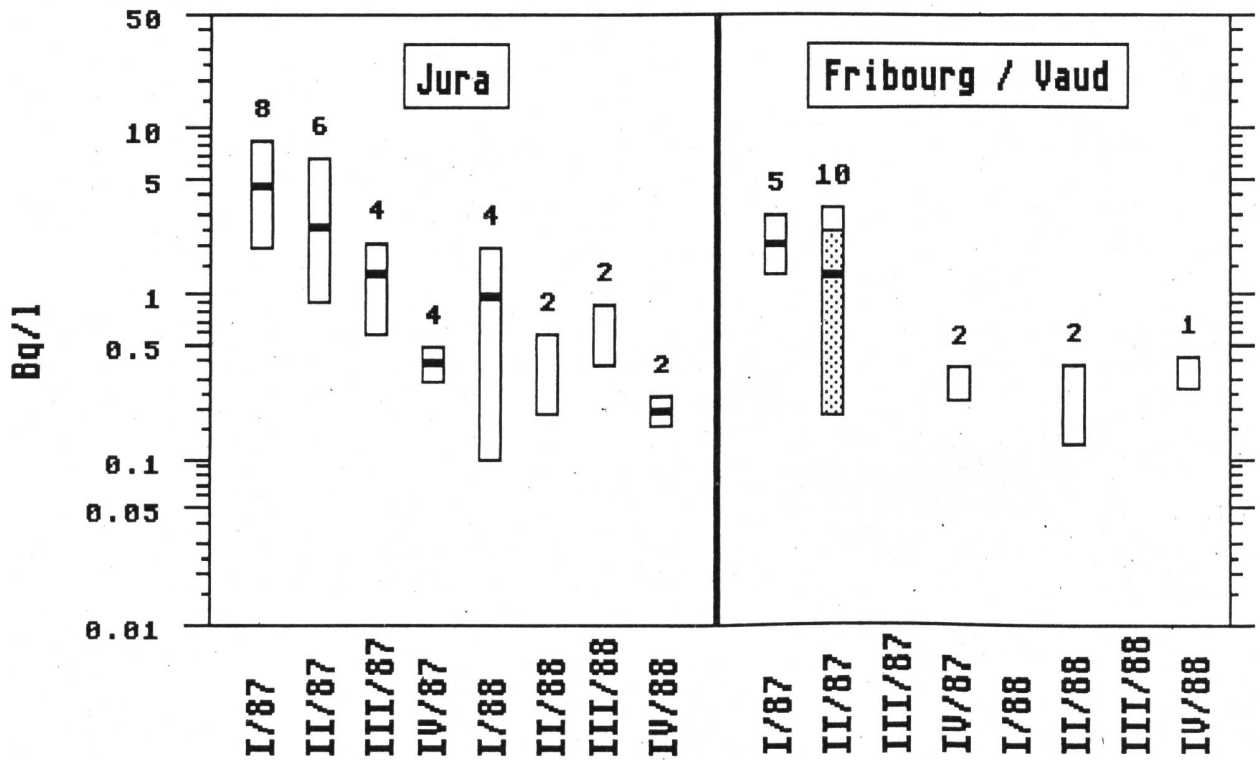


Fig.3.22.a: Milch Misox/GR

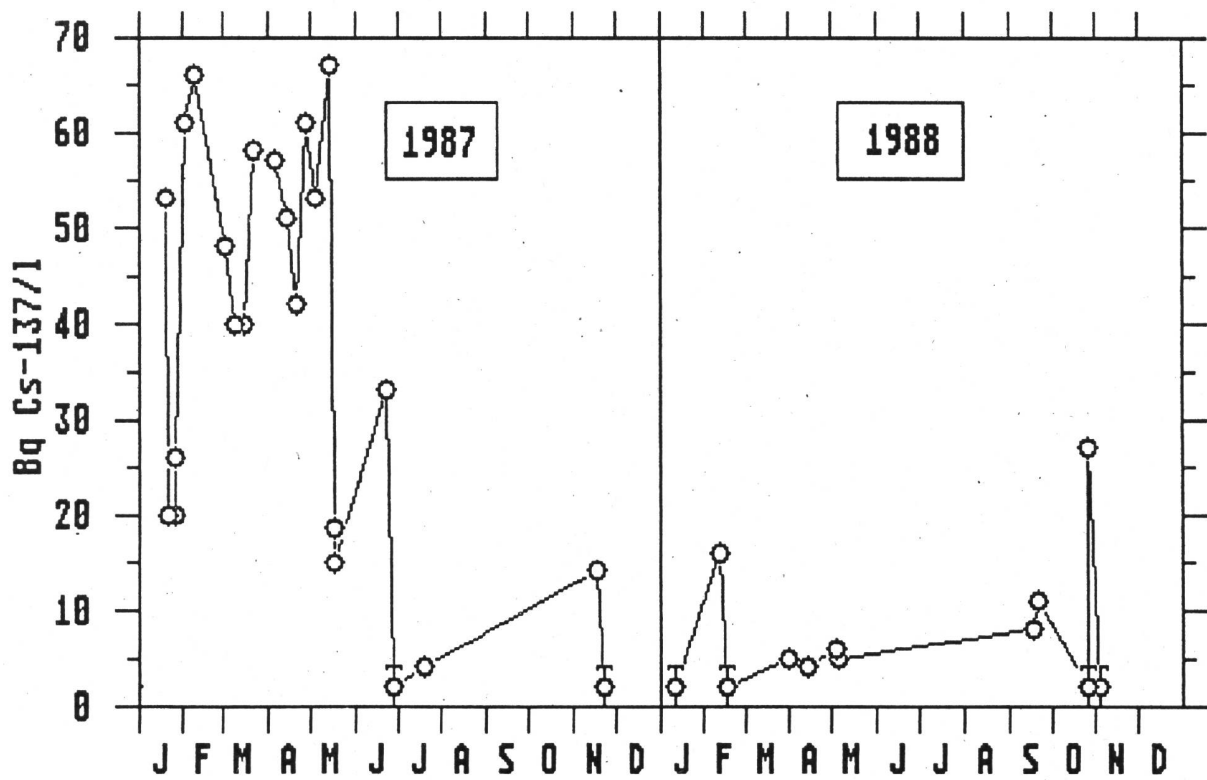


Fig.3.22.b: Milch Basel und Jura

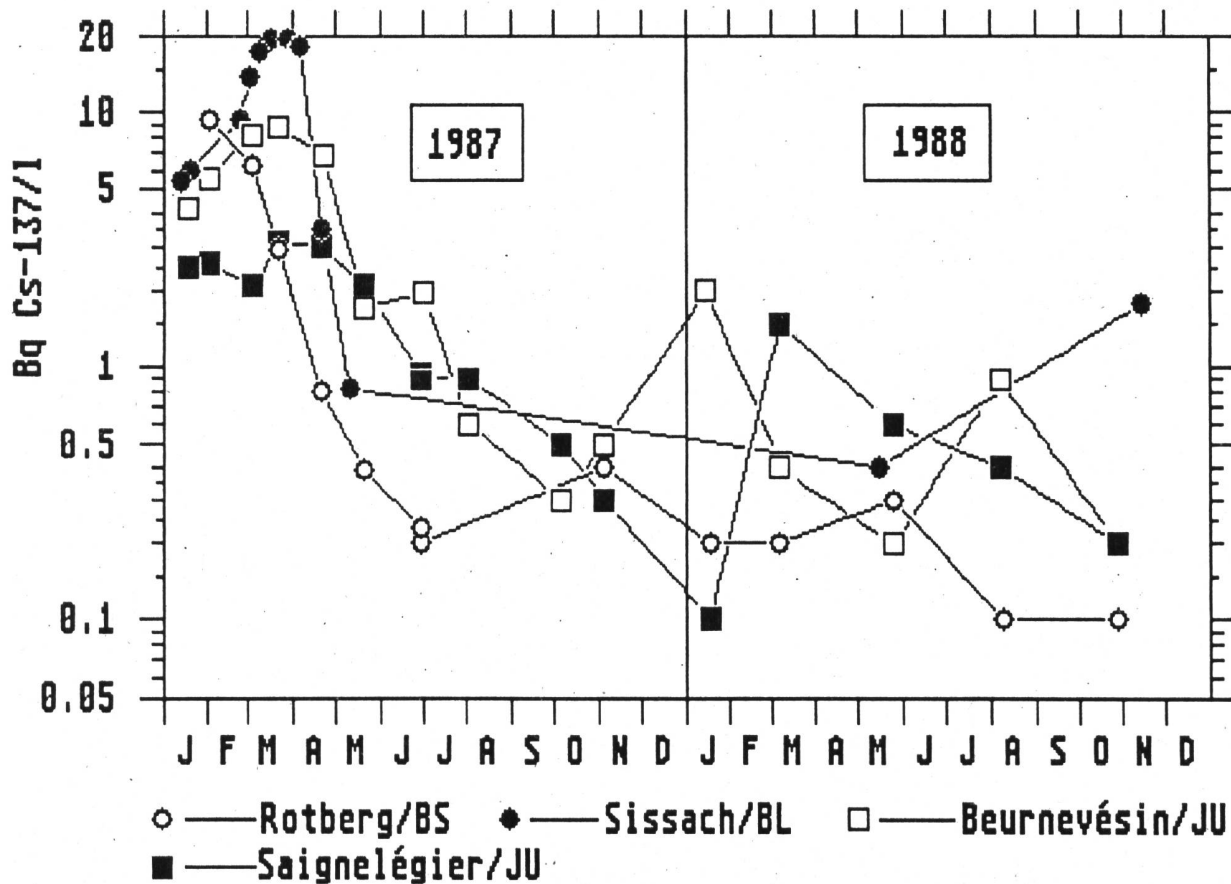


Fig.3.22.c: Milch Berner Oberland

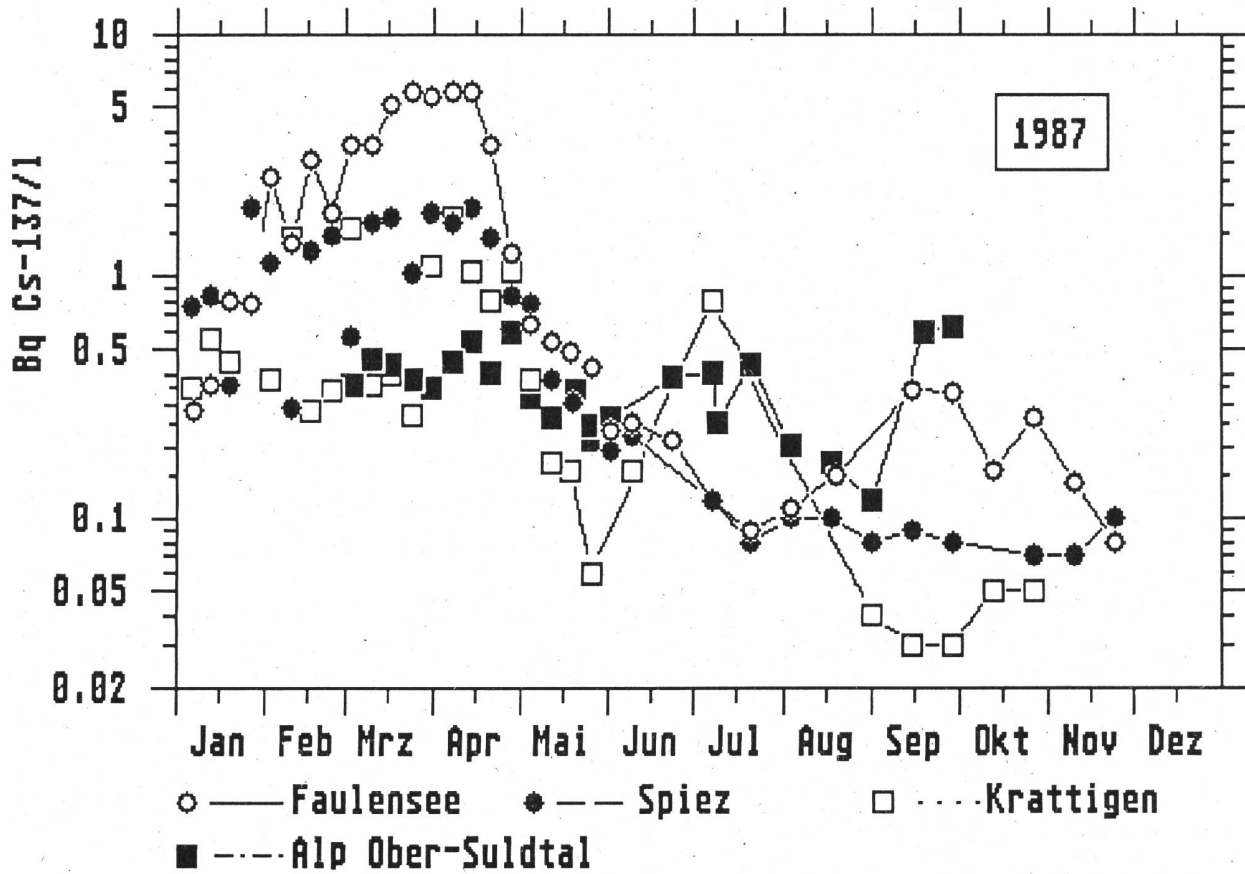


Fig.3.22.d: Beziehung zwischen Milch und Gras: Cs-137-Aktivität im Jahr 1987.

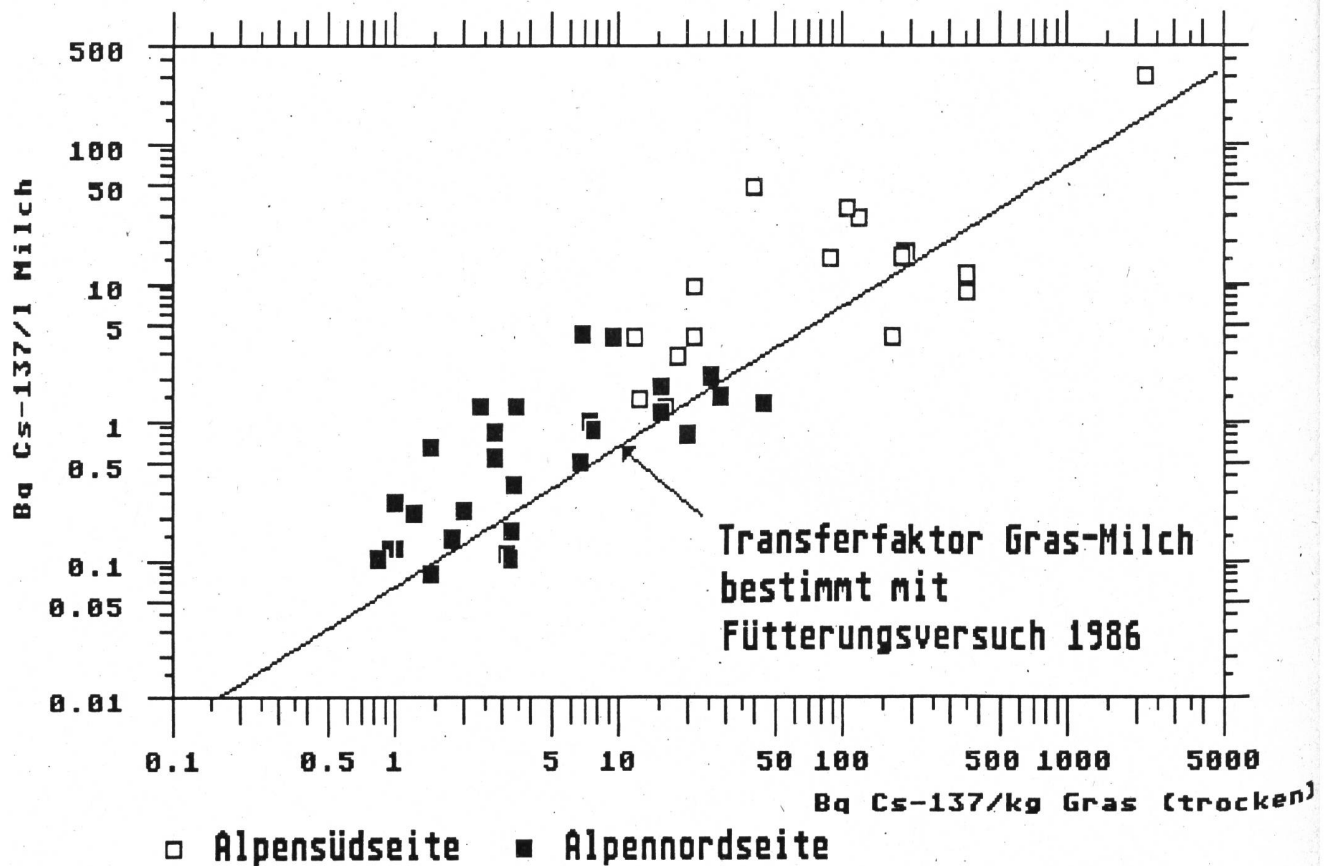


Fig.3.22.e: Sr-90 in Milchproben

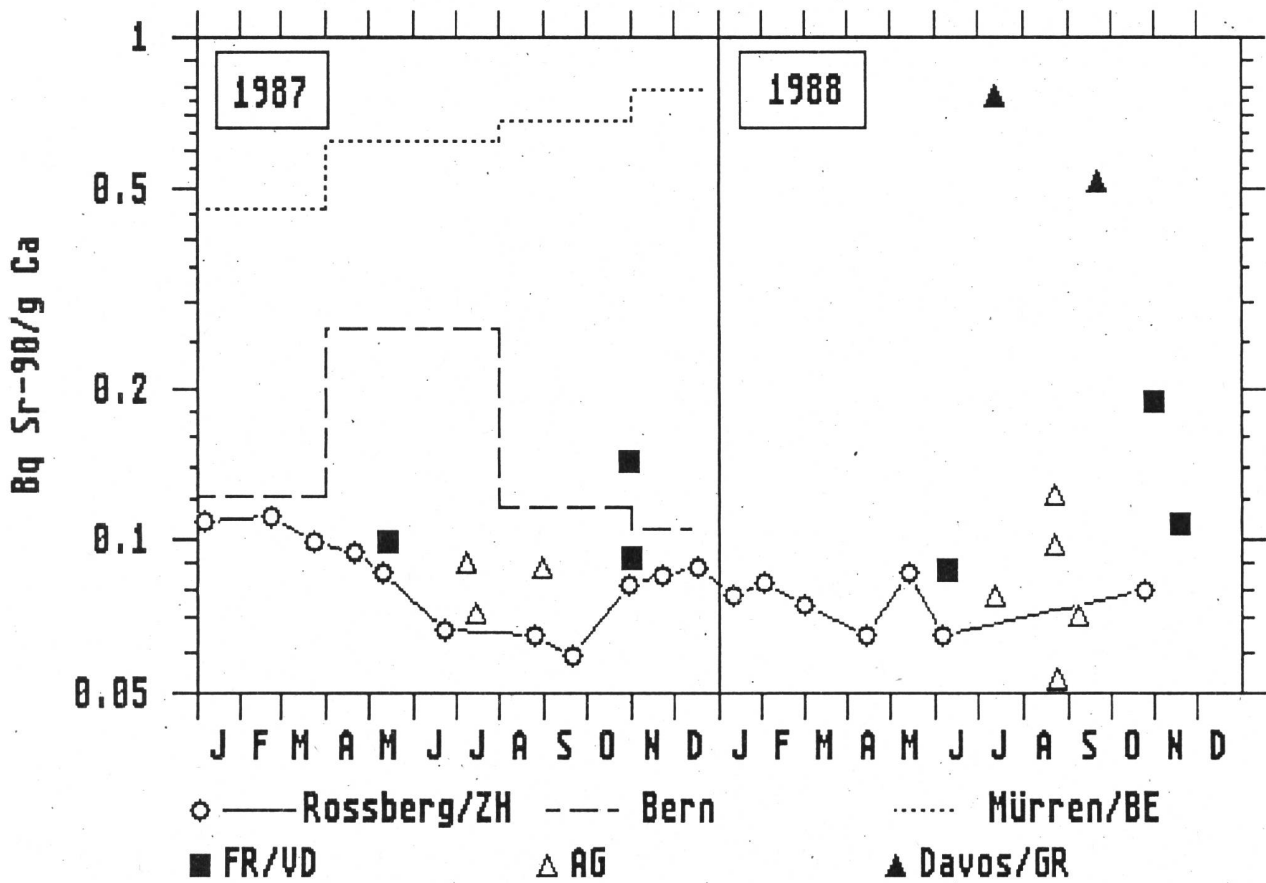


Fig. 3.22.f: Sr-90 in der Milch aus Rossberg/Kemptthal/ZH

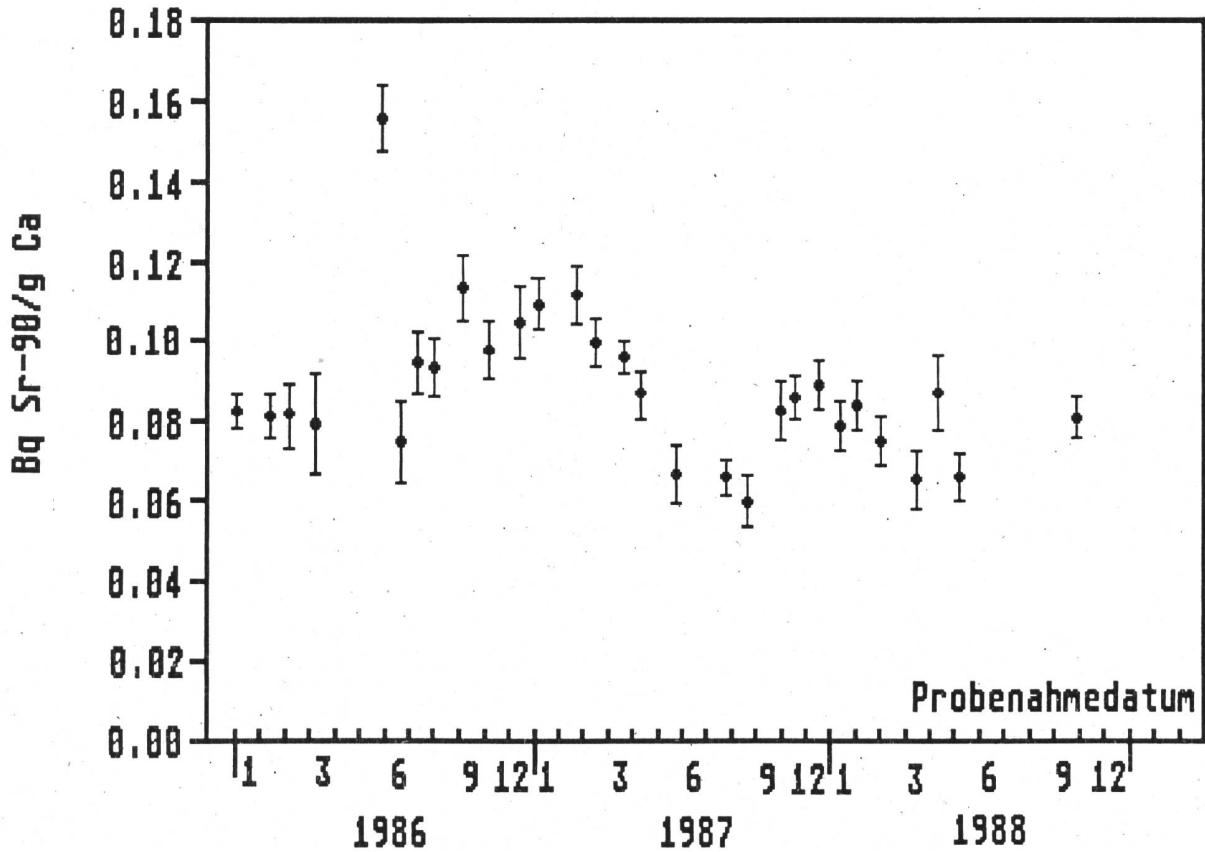


Fig.3.23.a: Cs-137 in Ziegenmilch

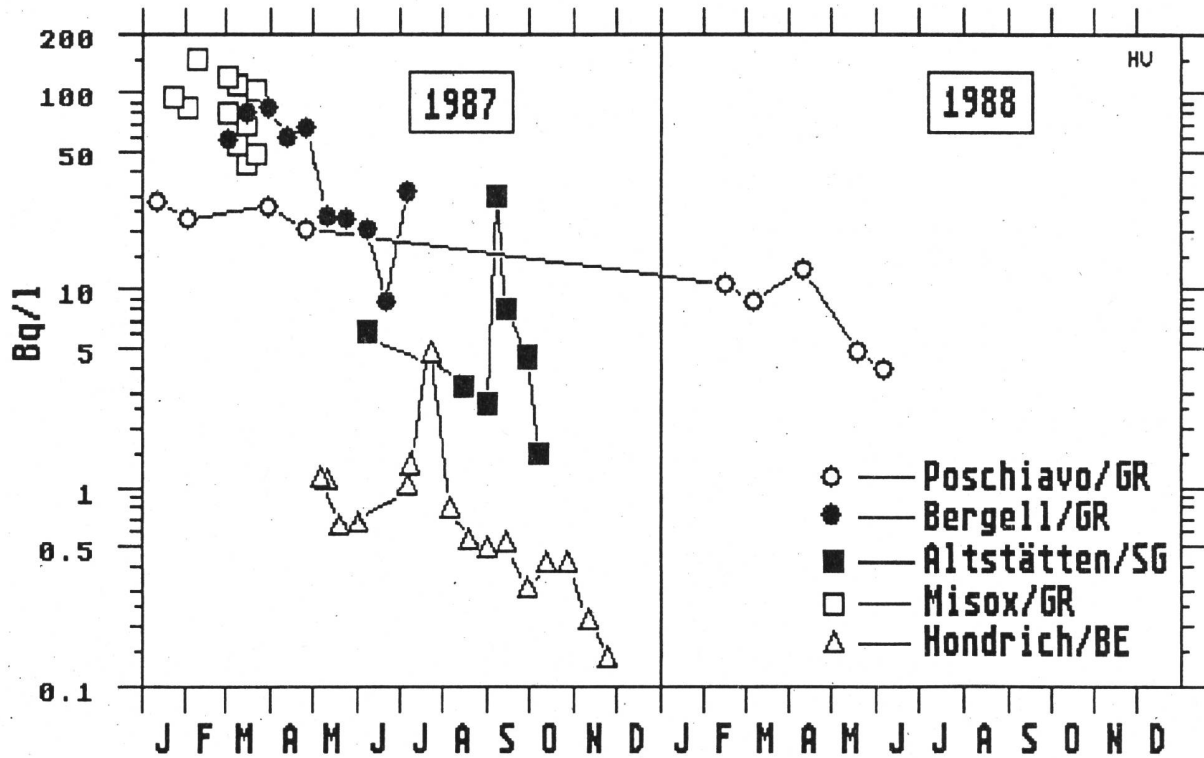


Fig.3.23.b: Cs-137 in Ziegenmilch aus dem Tessin

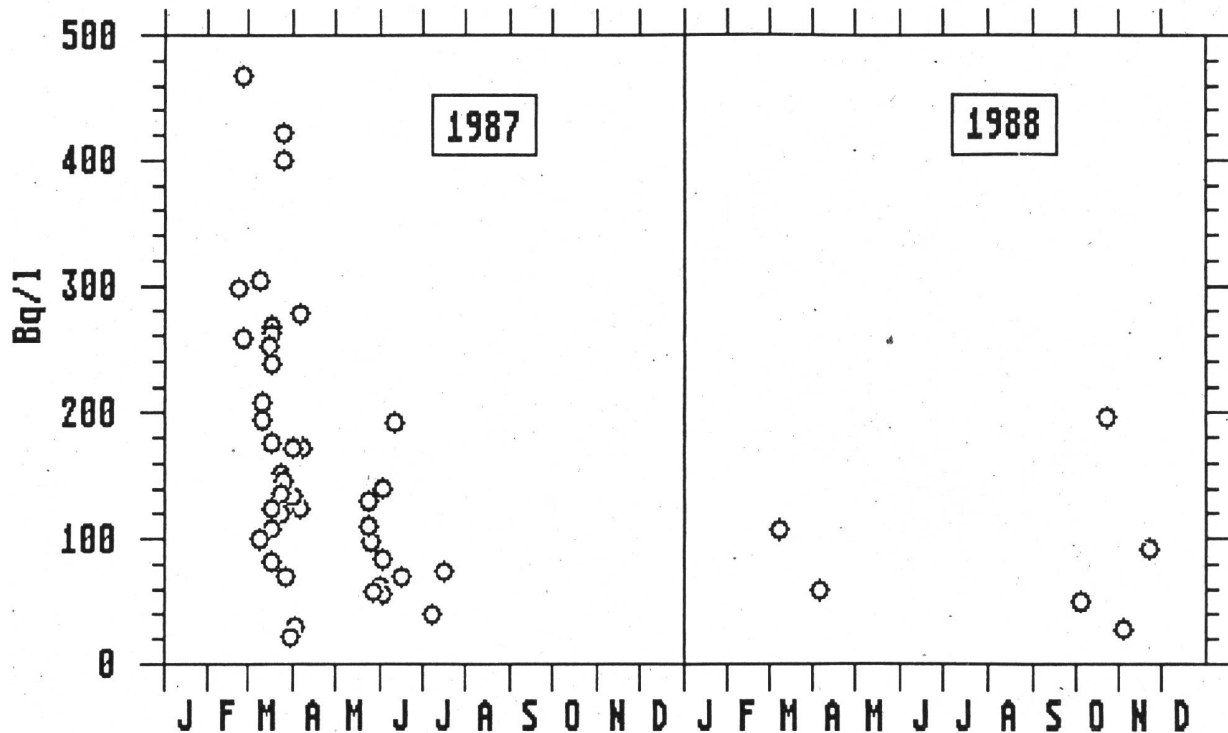


Fig.3.23.c: Cs-137 in Schafmilch

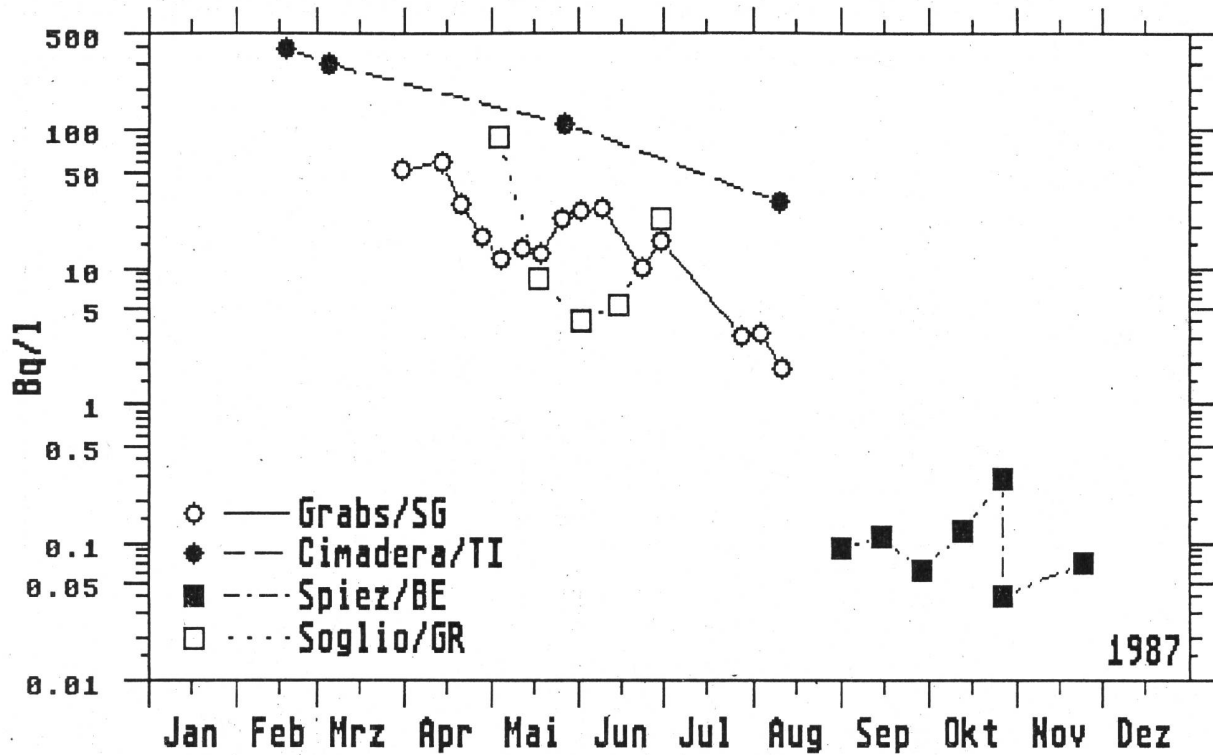


Fig.3.24: Cs-137 in Milchprodukten 1987/1988

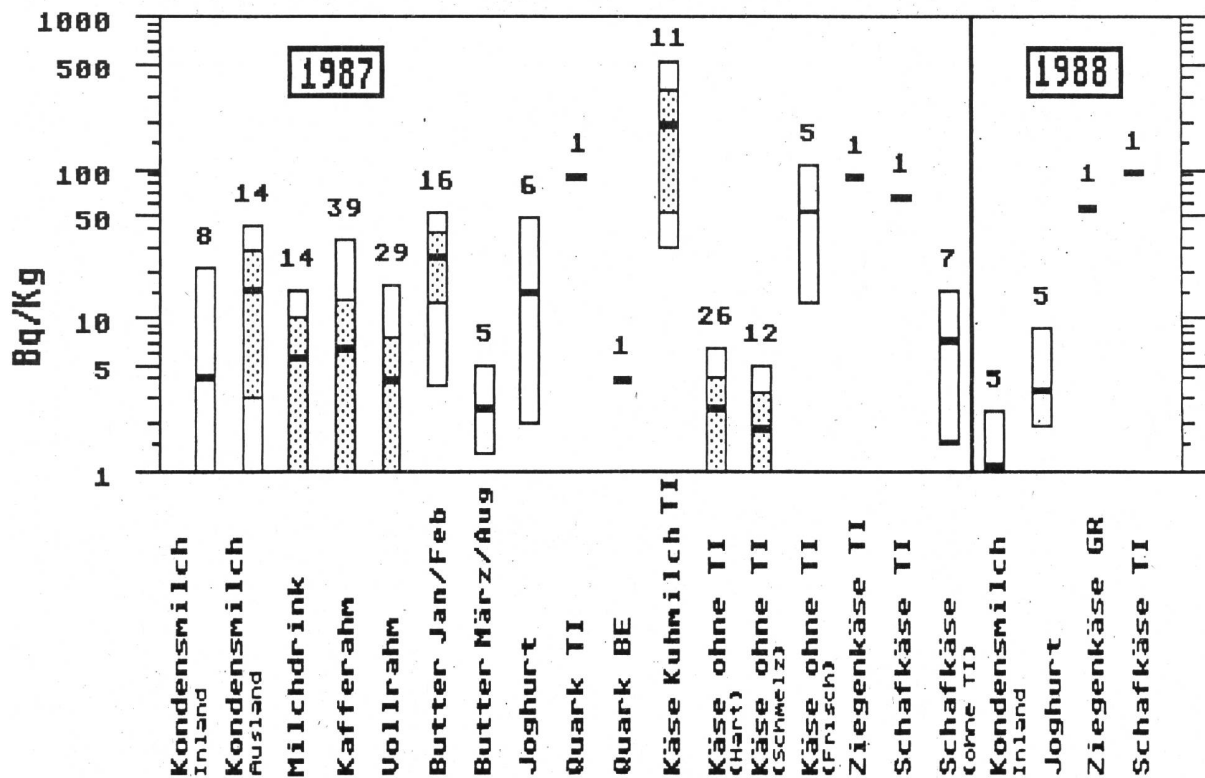


Fig.3.25.a: Cs-137 in Getreide & Getreideprodukten 1987

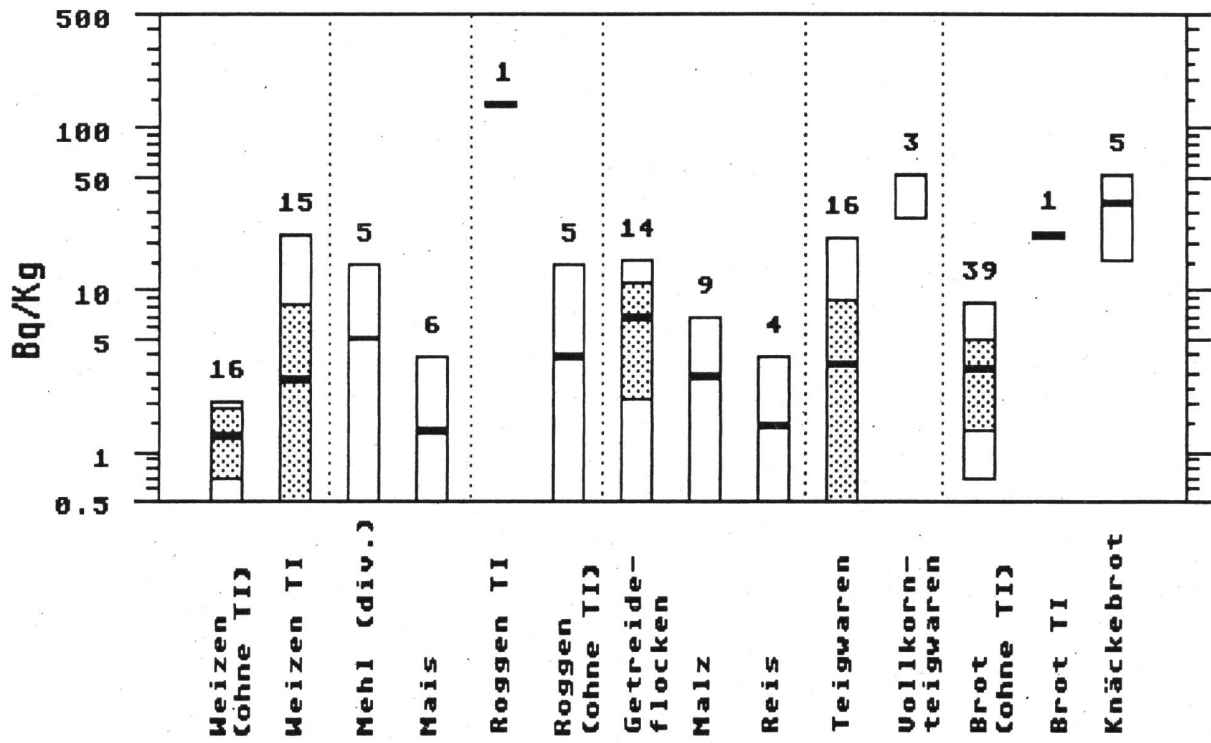


Fig.3.25.b: Cs-137 in Getreide & Getreideprodukten 1988

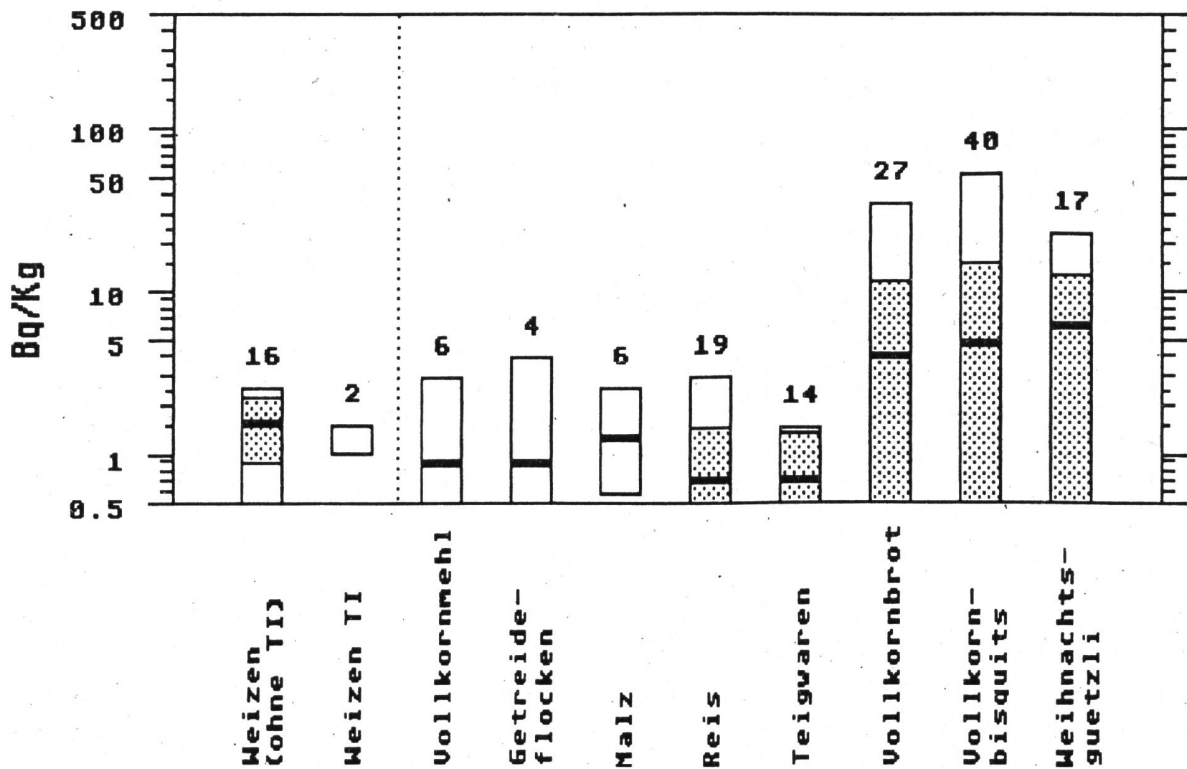


Fig.3.25.c: Cs-137 in Getreideprodukten

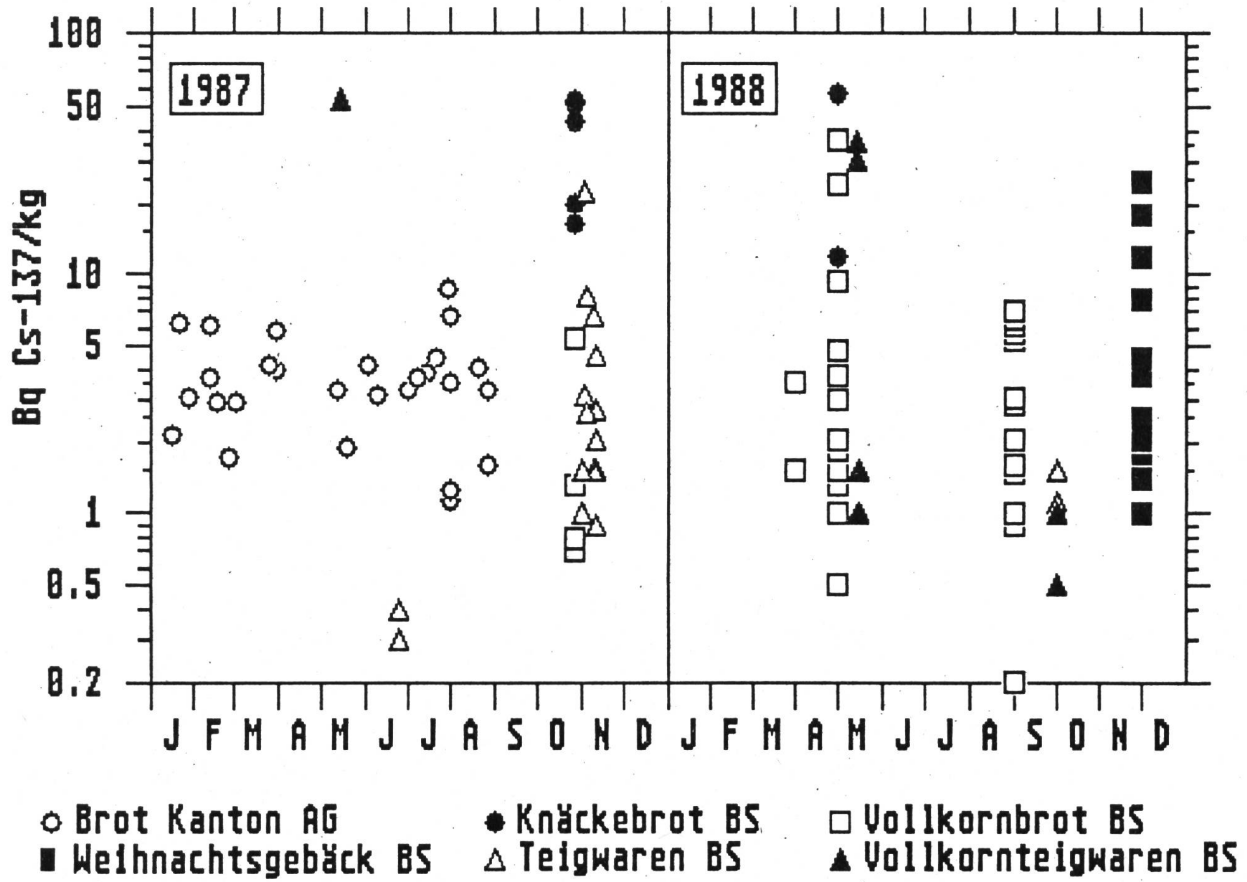
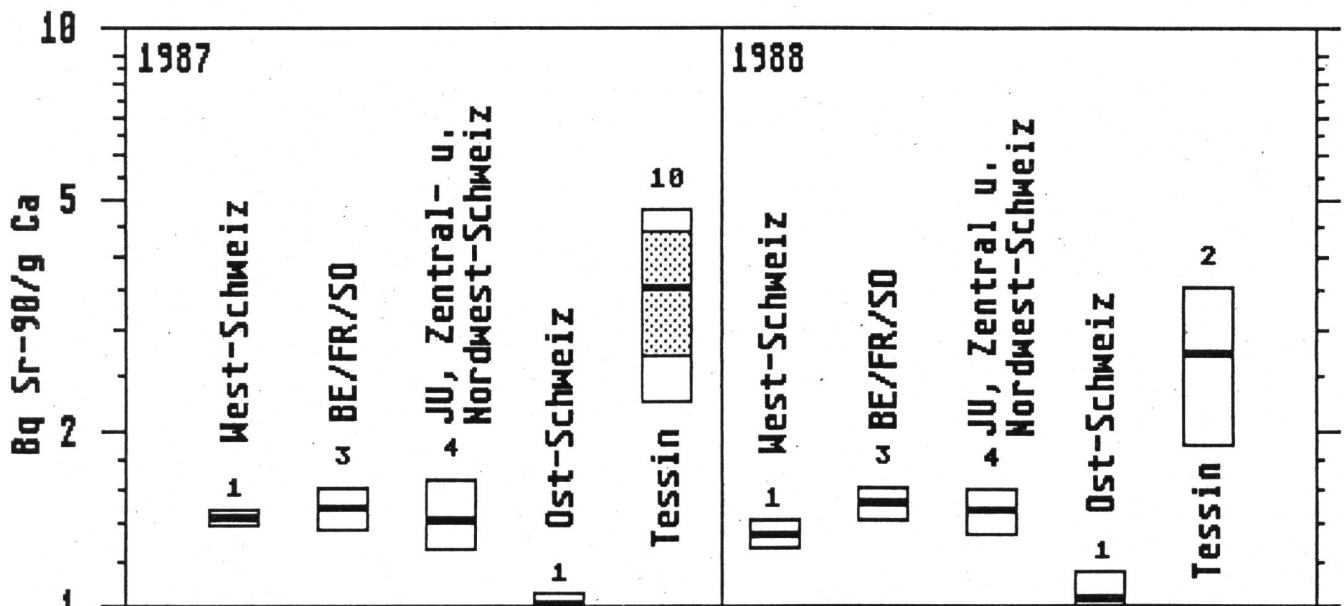


Fig.3.25.d: Sr-90 im Getreide



1 Bq Sr-90/kg = 2.6 Bq/g Ca

Fig.3.26.a: Cs-137 in Gemüse Tessin 1987/1988

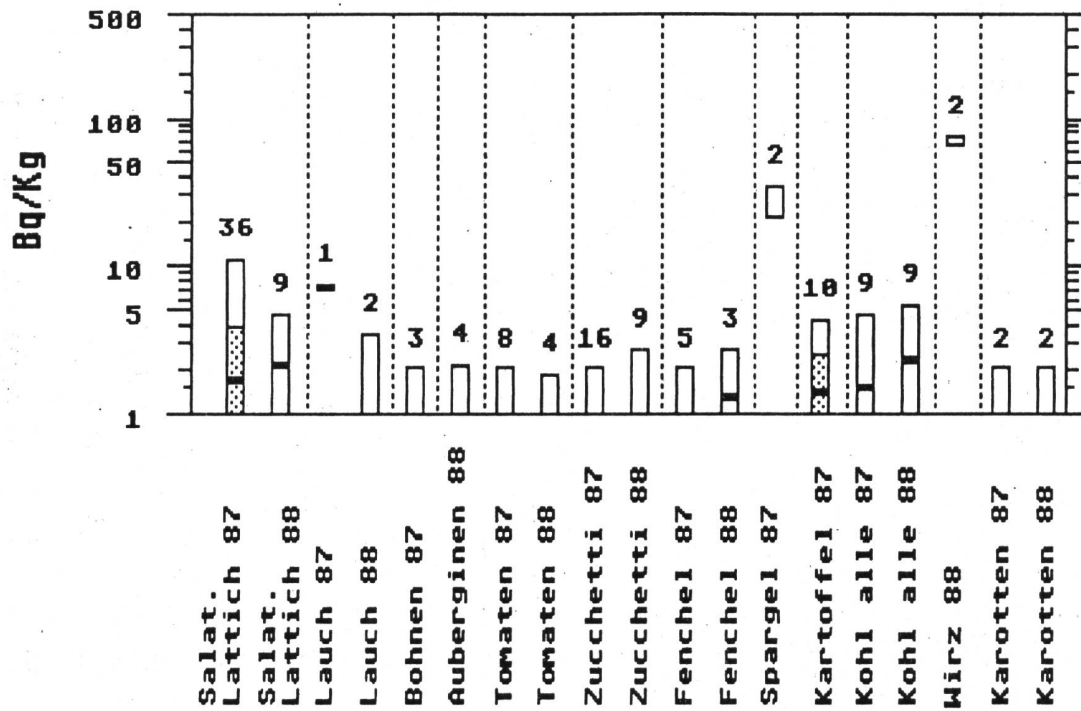


Fig.3.26.b: Cs-137 in Gemüse Ostschweiz 1987/1988

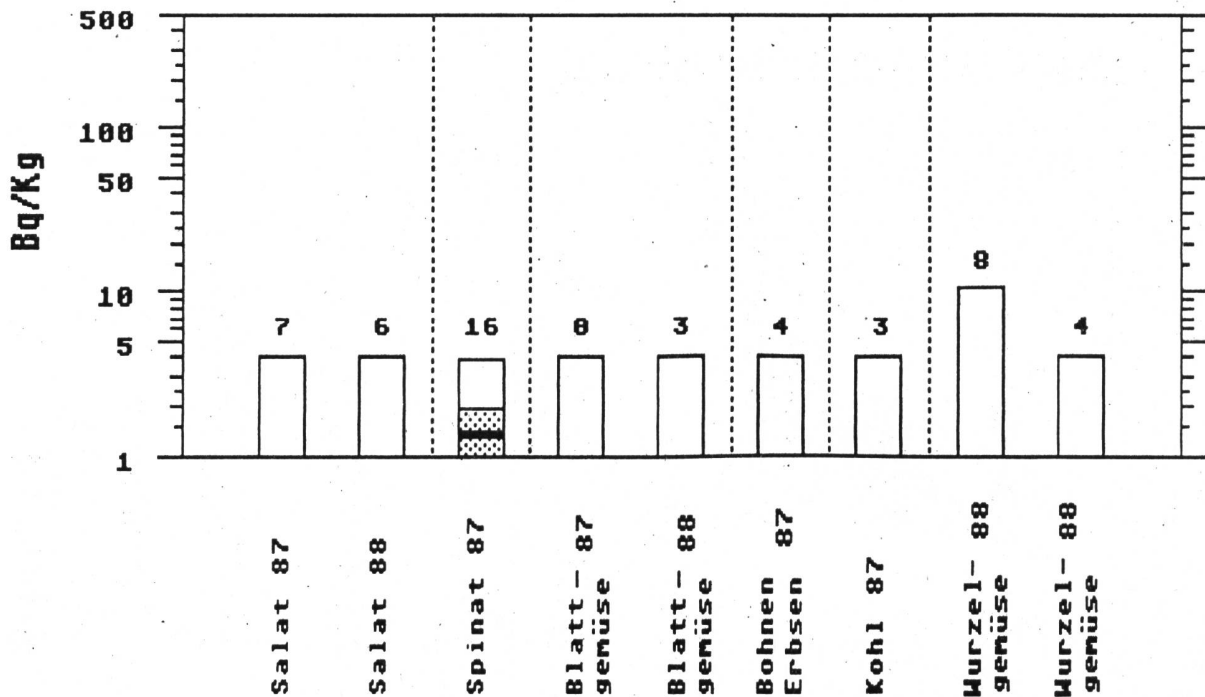


Fig.3.26.c: Cs-137 in Gemüse übrige Schweiz 1987/1988

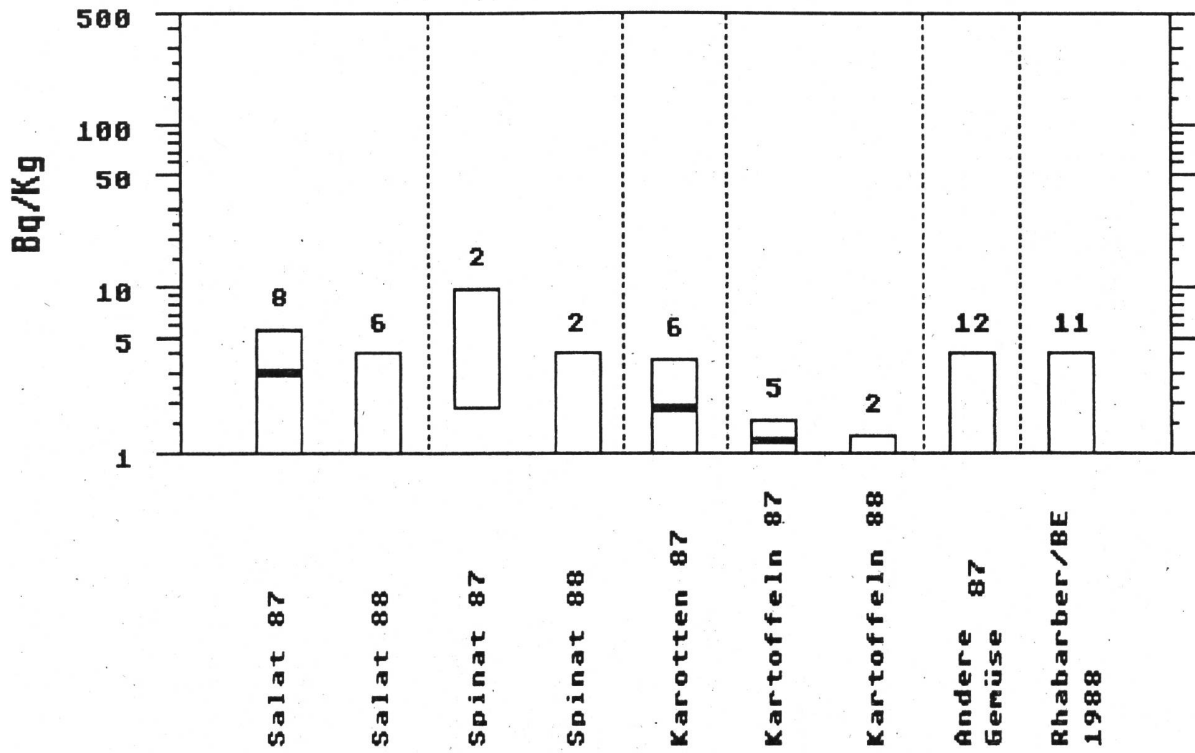


Fig.3.27.a: Cs-137 in Früchte und Obst Tessin 1987/1988

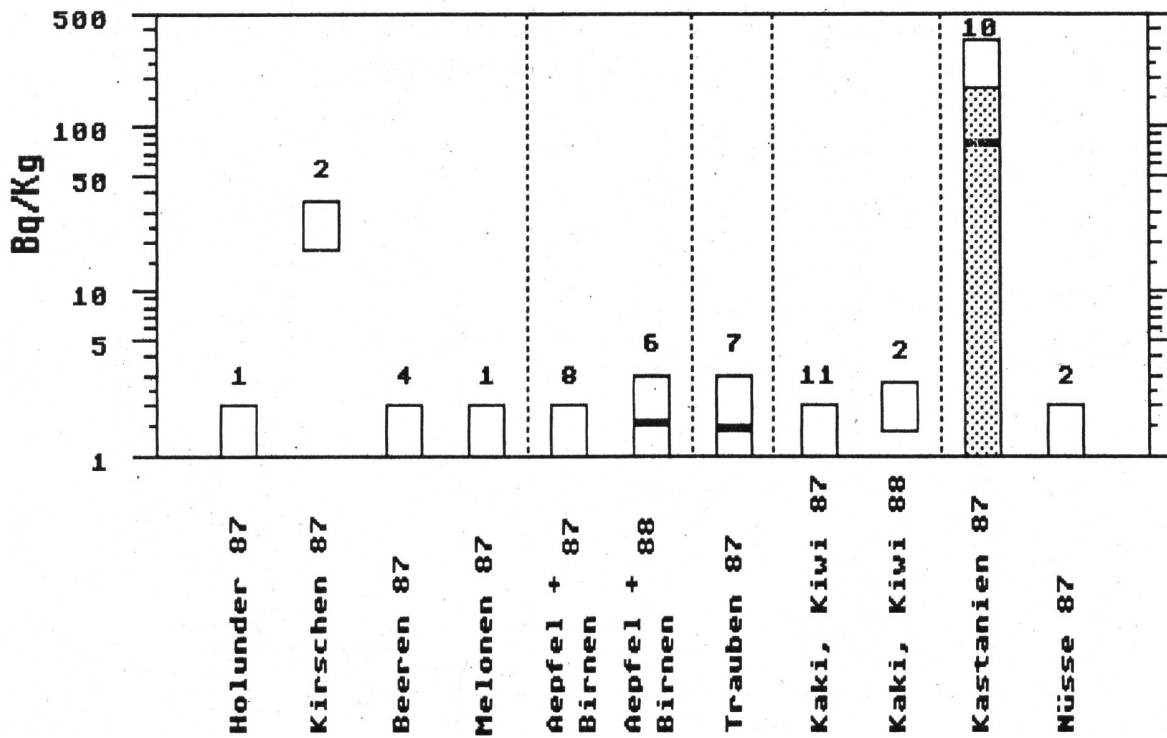


Fig.3.27.b: Cs-137 in Früchte und Obst Ost-Schweiz
1987/1988

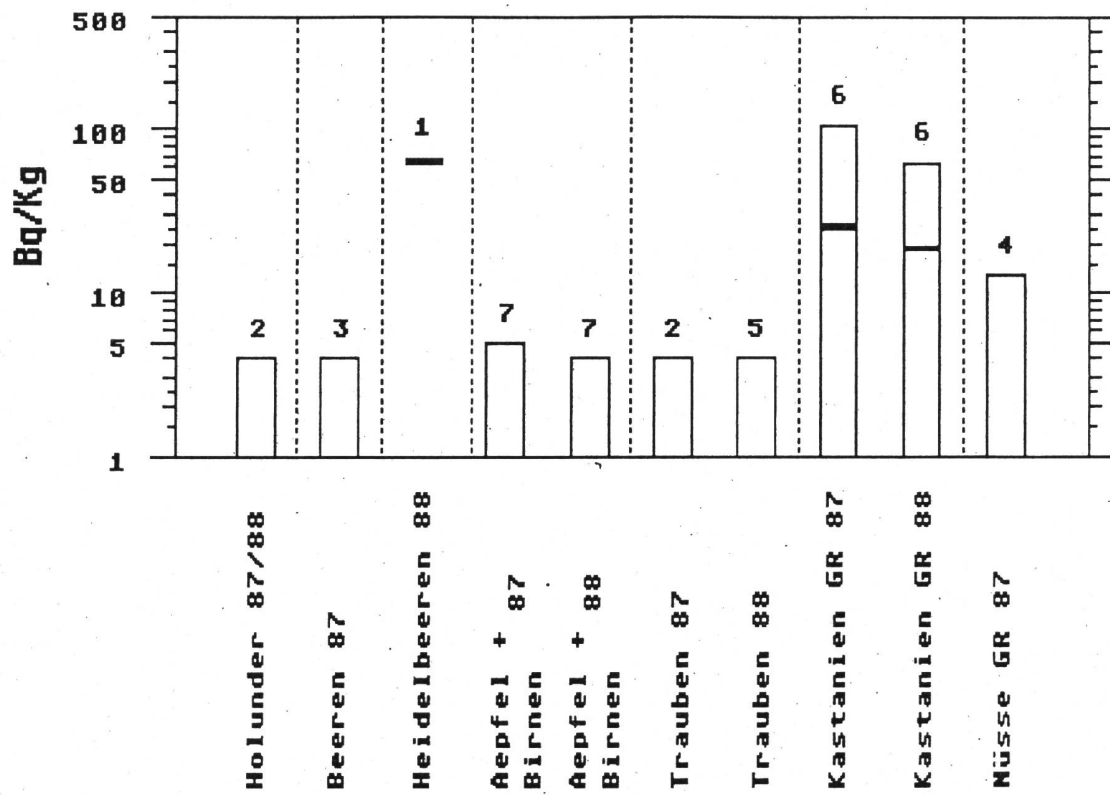


Fig.3.27.c: Cs-137 in Früchte und Obst übrige Schweiz
1987/1988

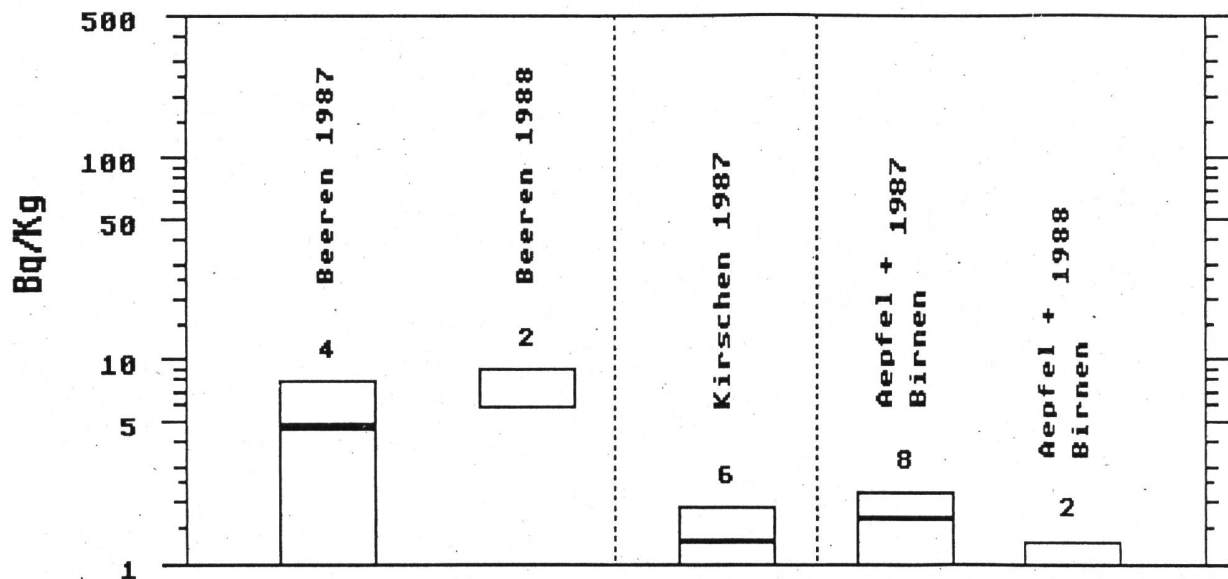


Fig.3.28.a: Cs-137 in Pilzen (frisch)

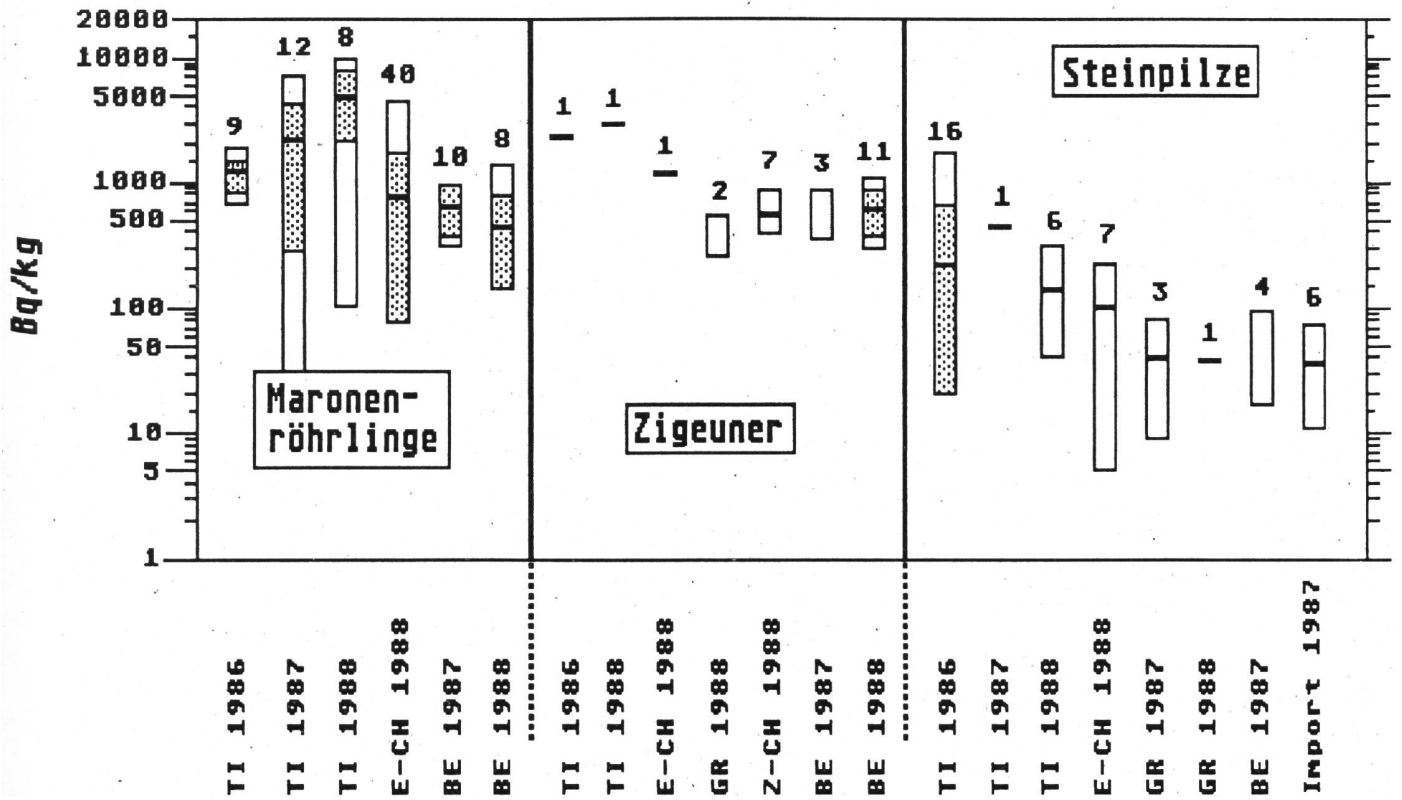
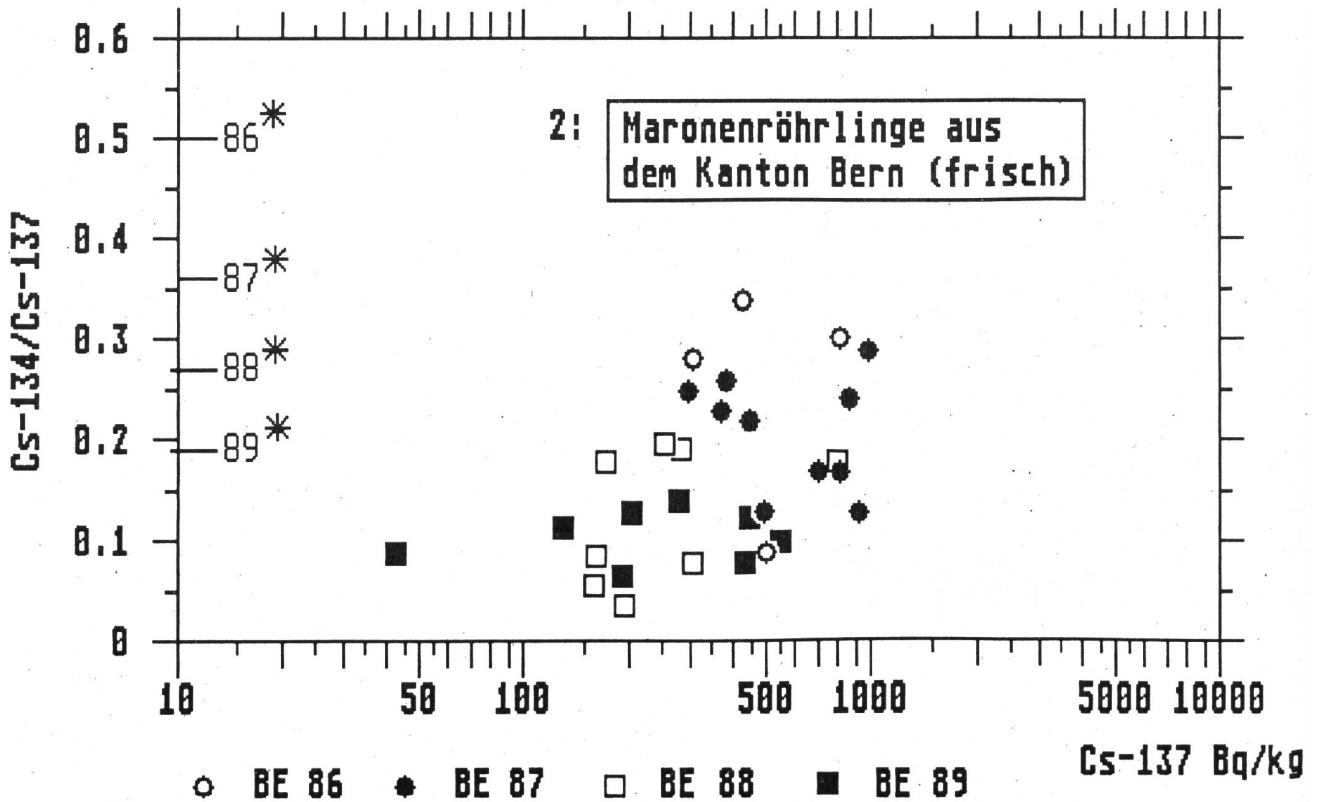
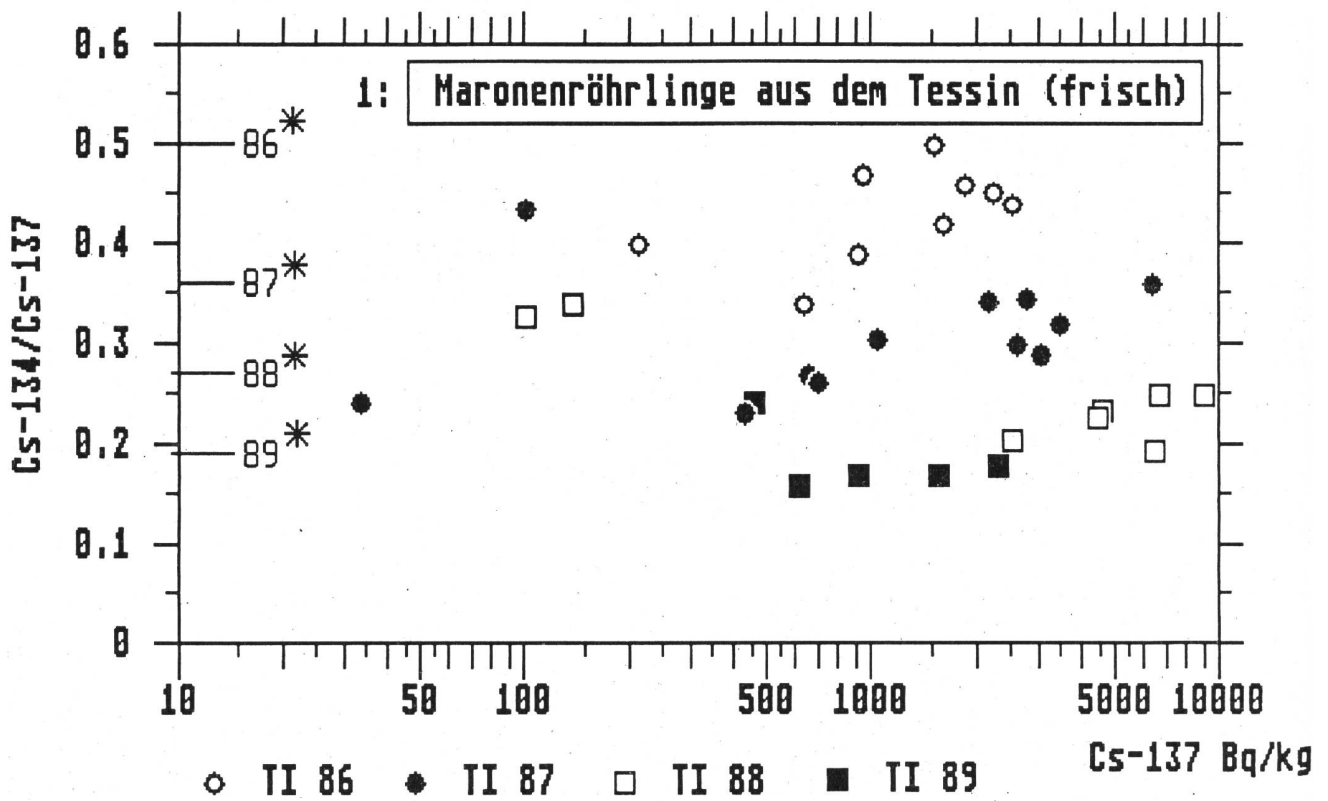


Fig.3.28.b: Cs-134/137 Isotopenverhältnis in Maronenröhrlingen



* erwarteter Wert für das Cs-134/137-Verhältnis

Fig.3.29.a: Cs-137 in Fleisch Haustiere Tessin 87/88

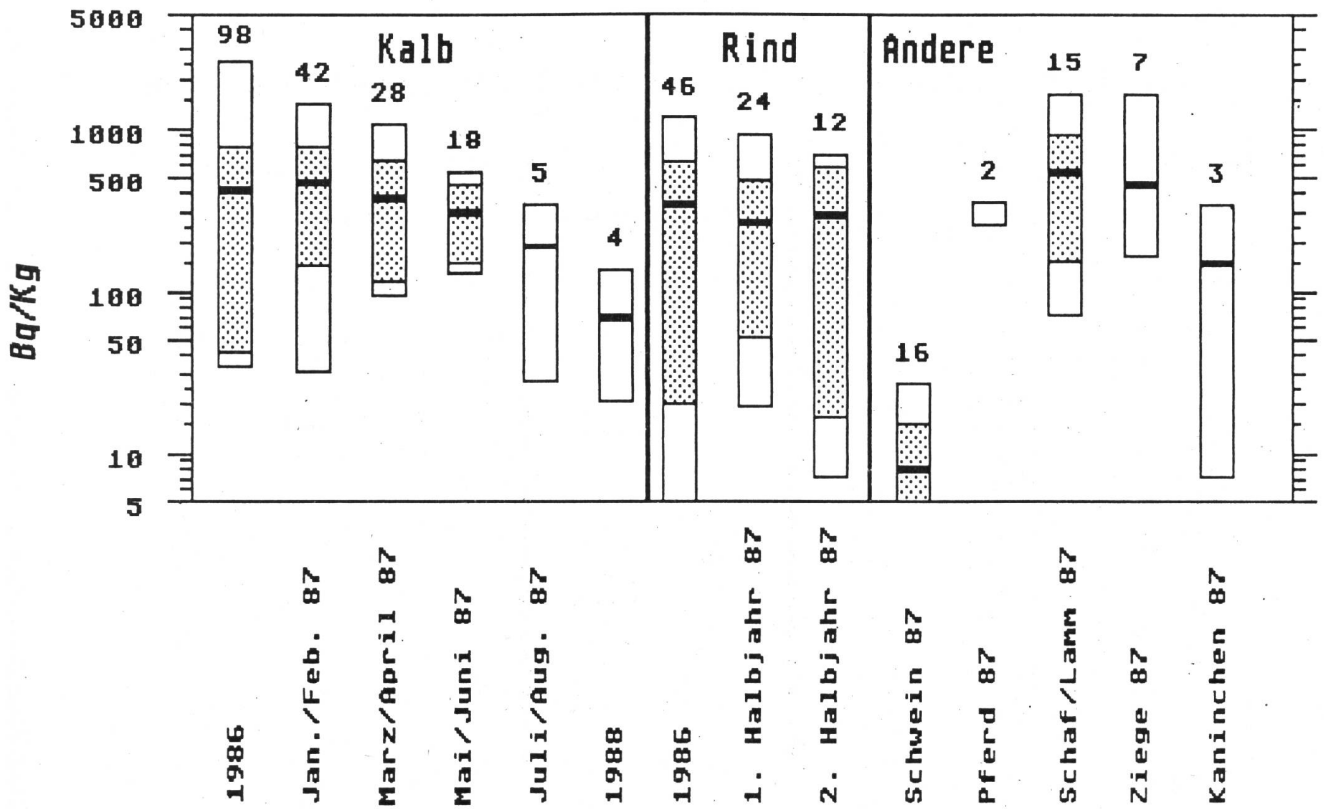


Fig.3.29.b: Cs-137 in Fleisch Haustiere Ostschweiz 87/88

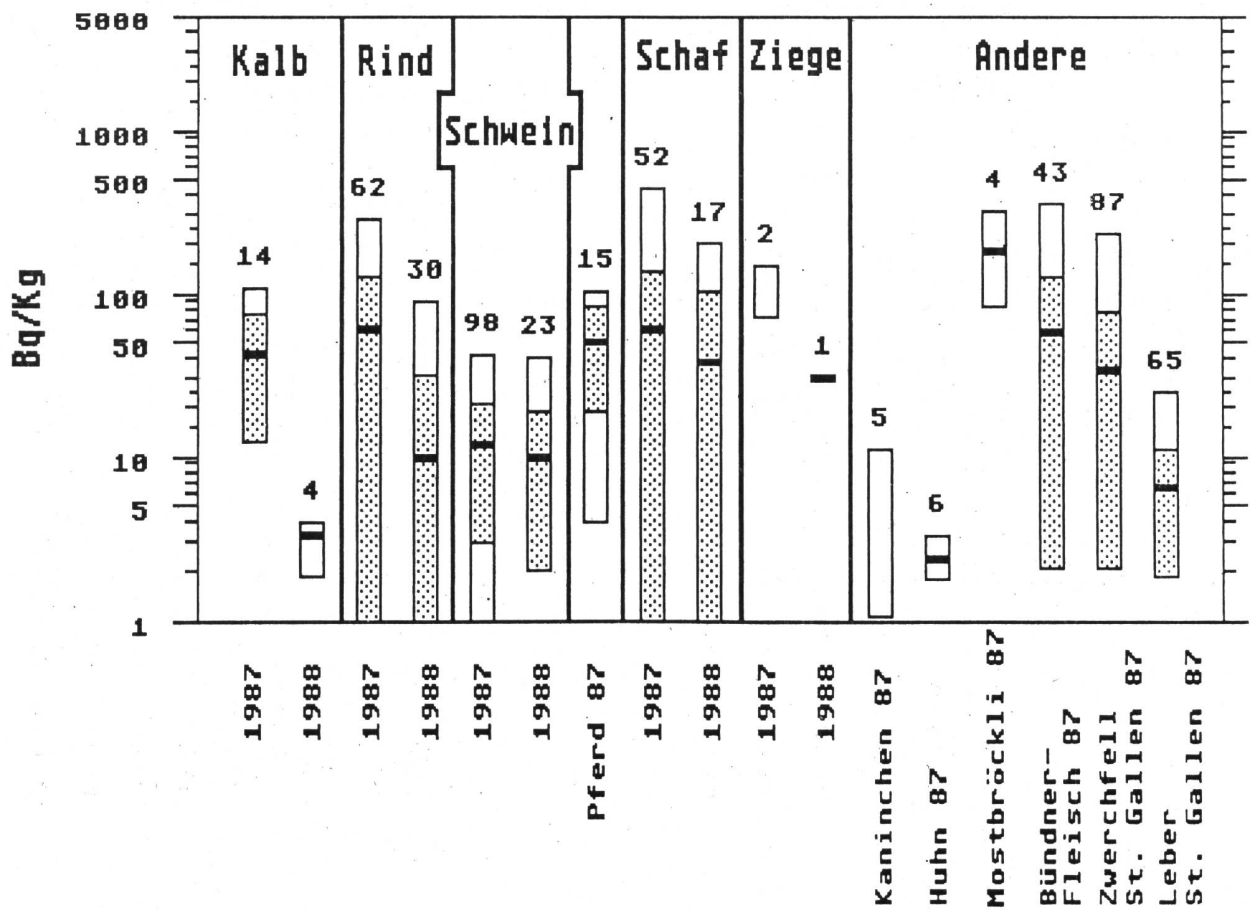


Fig.3.29.c: Cs-137 in Fleisch Haustiere Graubünden 87/88

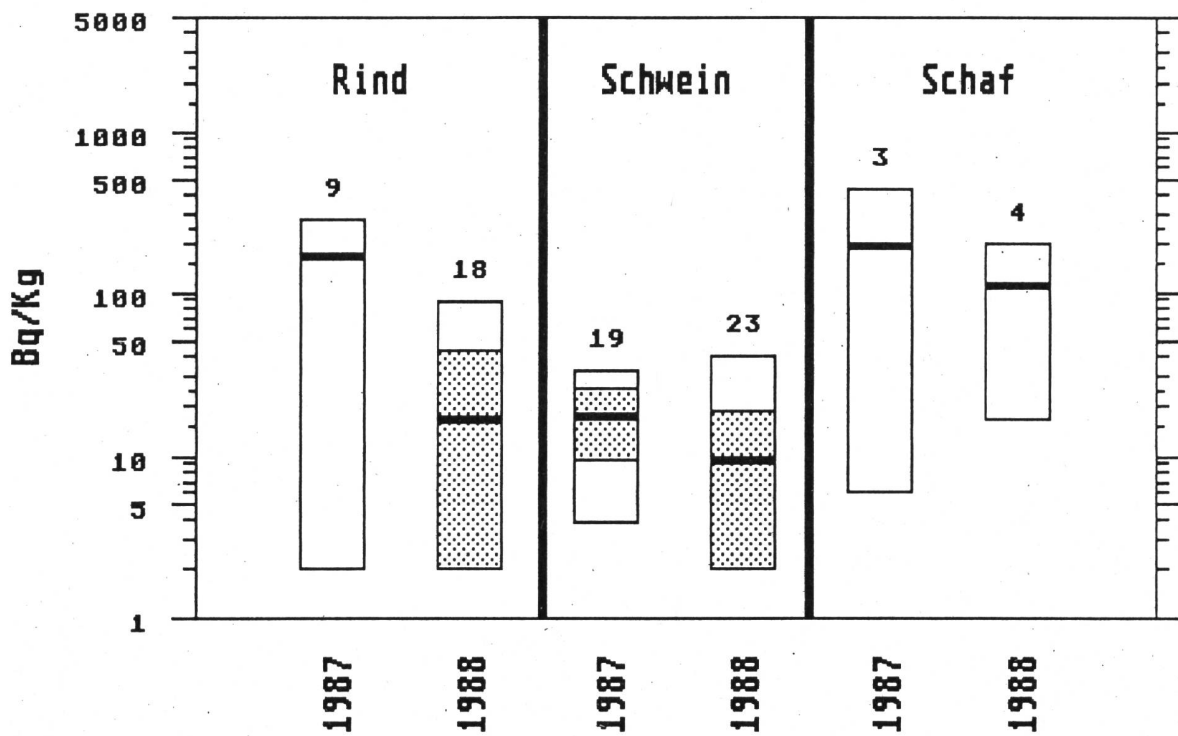


Fig.3.29.d: Cs-137 in Fleisch Haustiere Zentral- und Nordschweiz 1987/1988

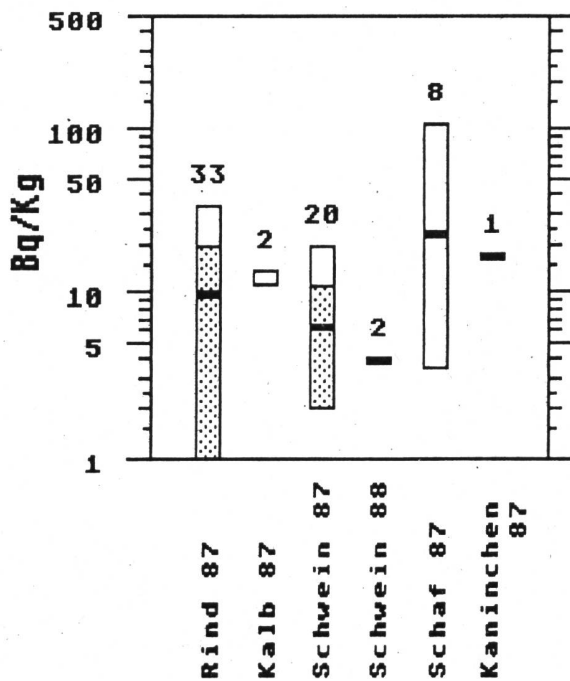


Fig.3.29.e: Cs-137 in Fleisch Haustiere Westschweiz 1987/1988

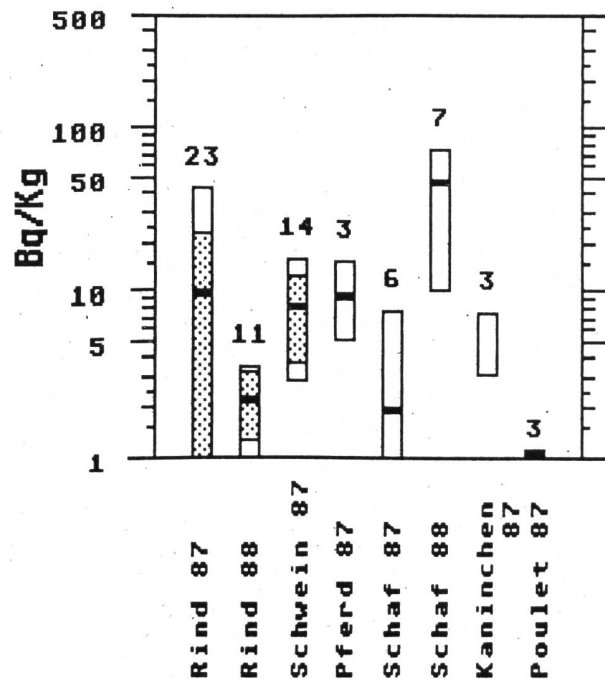


Fig.3.30.a: Cs-137 in Wild Tessin 1987/1988

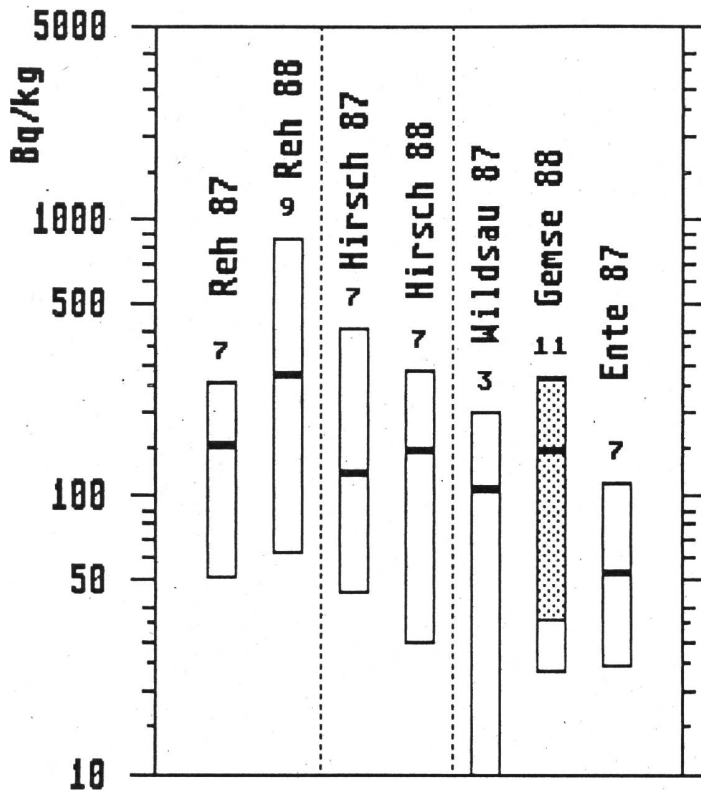


Fig.3.30.b: Cs-137 in Wild Ostschweiz ohne Graubünden 1987/1988

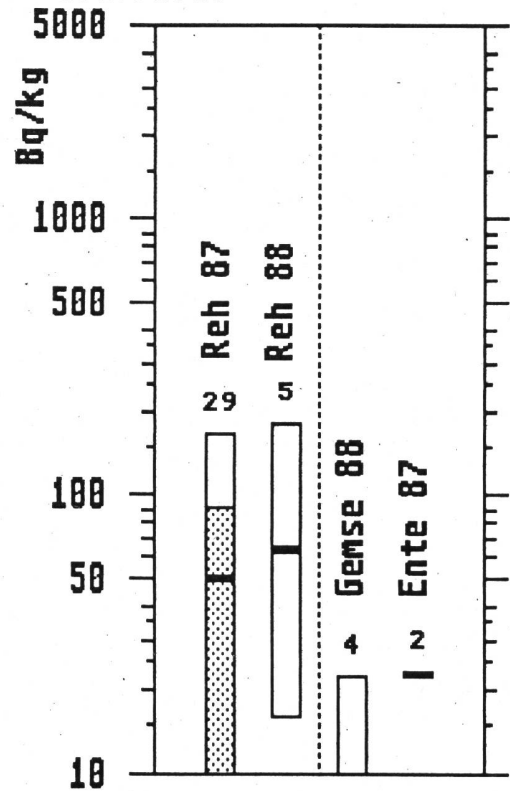


Fig.3.30.c: Cs-137 in Wild Graubünden

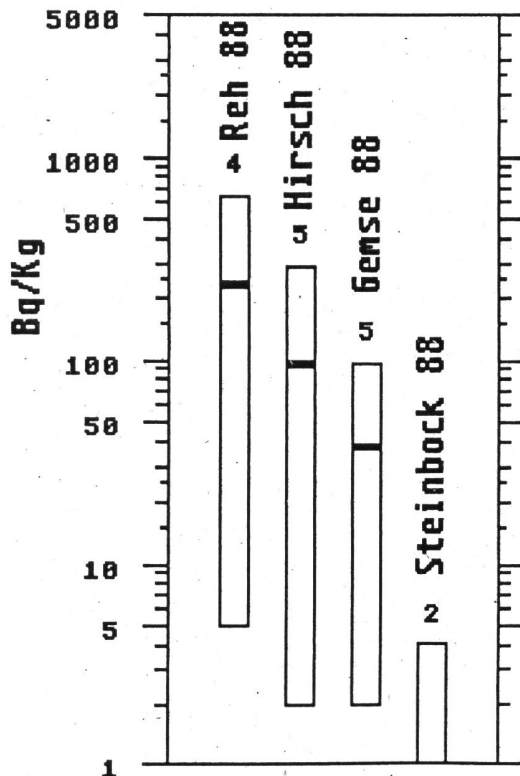


Fig.3.30.d: Cs-137 in Wild übrige Schweiz (ohne TI und Ostschweiz) 1987/1988

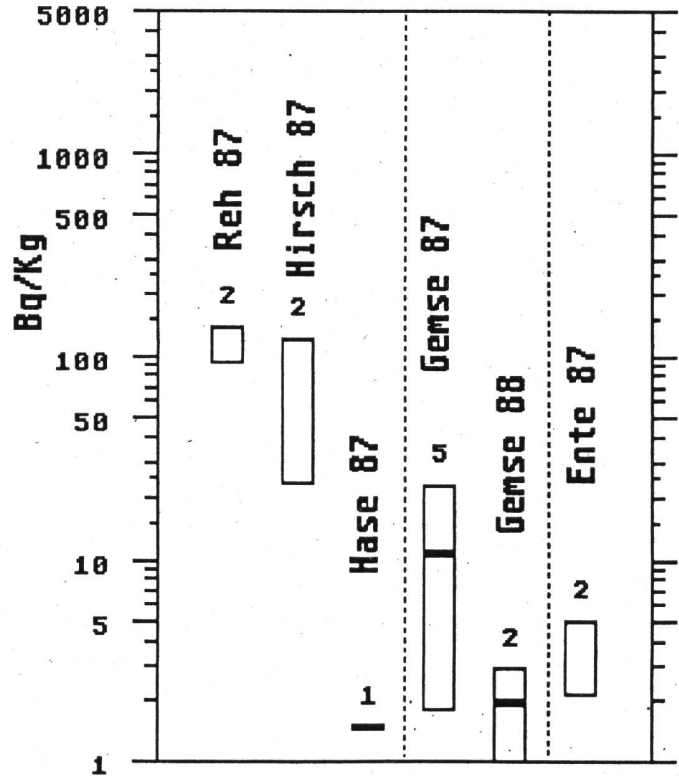


Fig.3.31.a: Tritium im Rhein (Monats- oder Wochenmischproben)

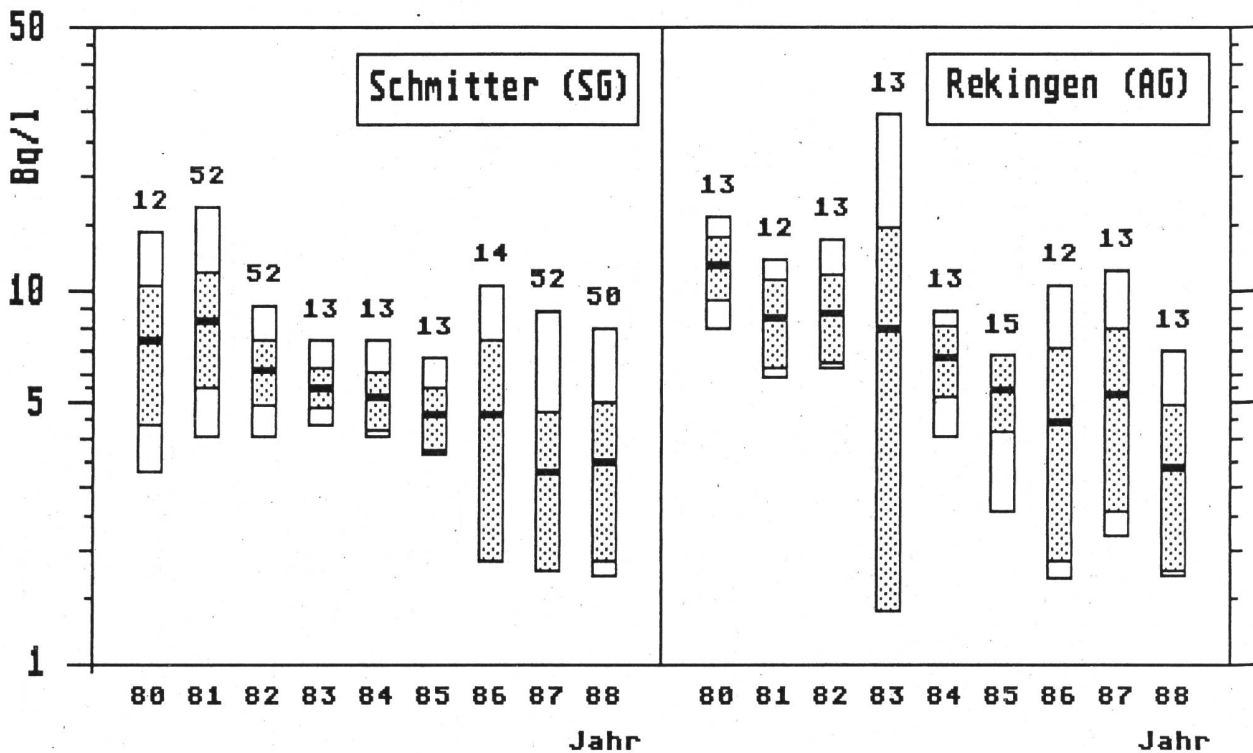


Fig.3.31.b: Tritium in der Aare (Monats- oder Wochenmischproben)

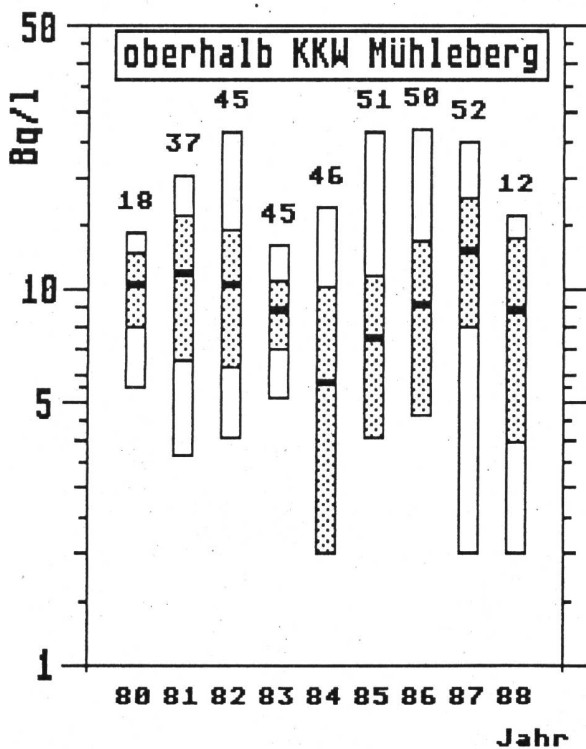


Fig.3.31.c: Tritium im Rhein (Monatsmischproben)

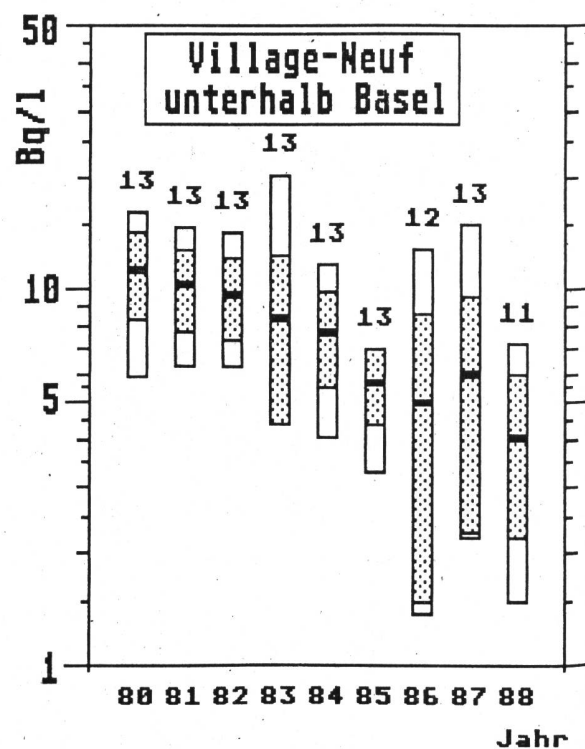


Fig.3.31.d: Tritium in der Rhone (Monatsmischproben)

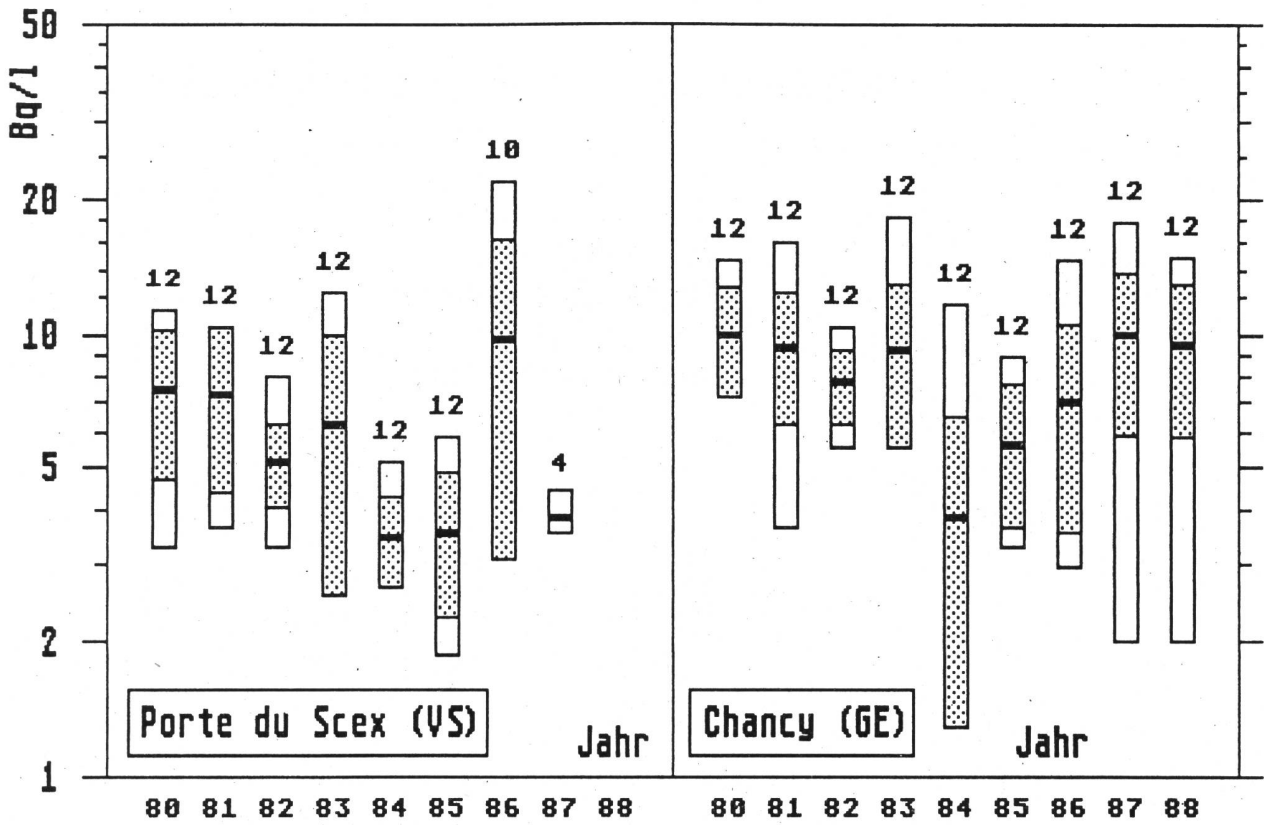


Fig.3.31.e: Tritium in der Aare

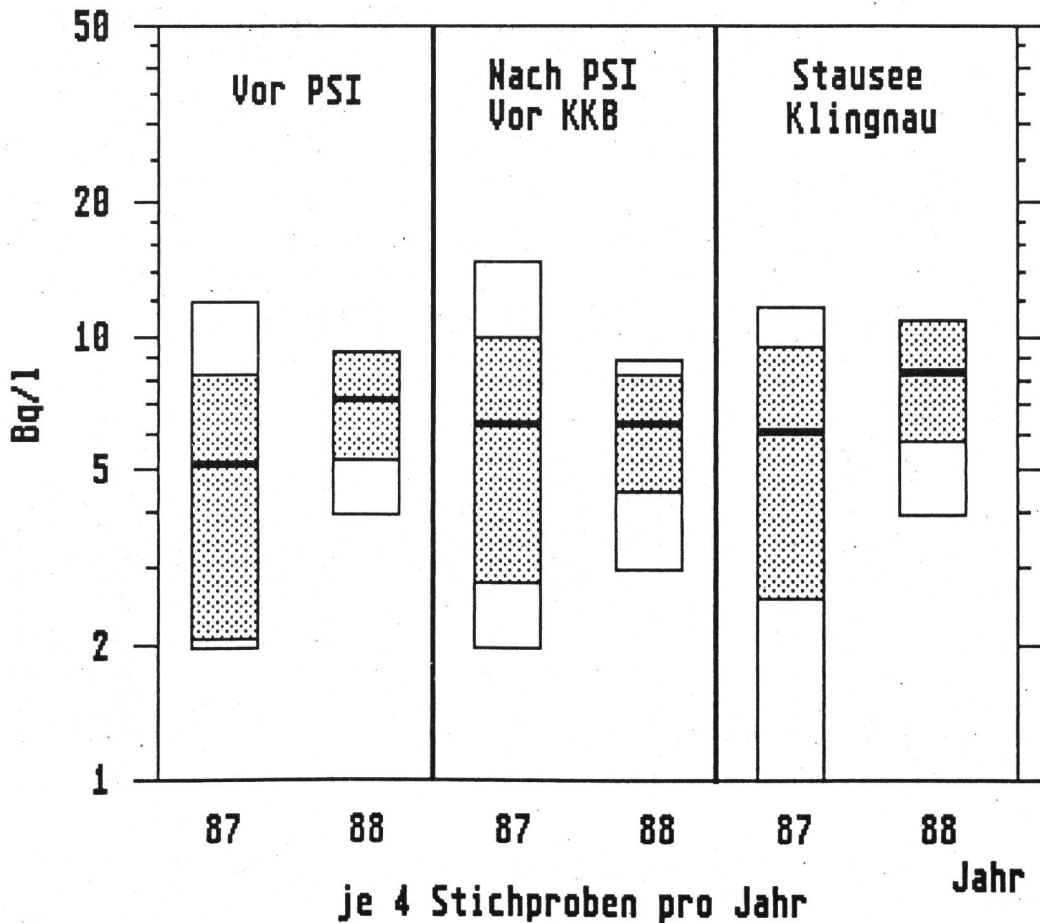


Fig.3.31.f: Total α -Aktivität im Rhein

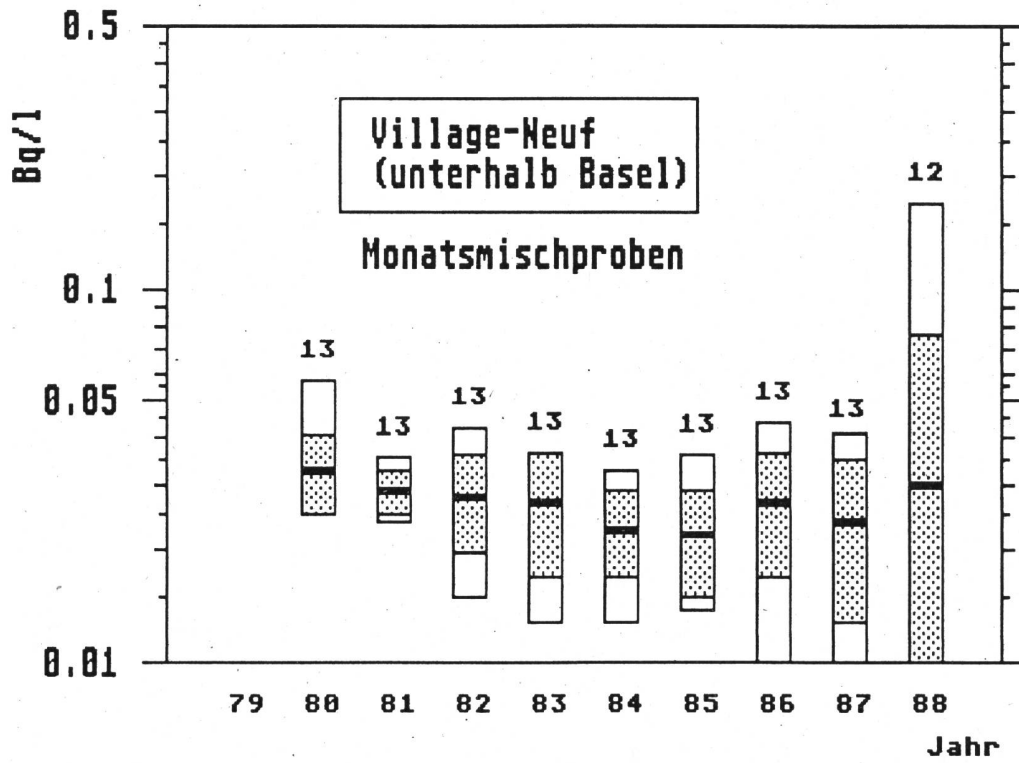


Fig.3.31.g: Total α -Aktivität im Rhein

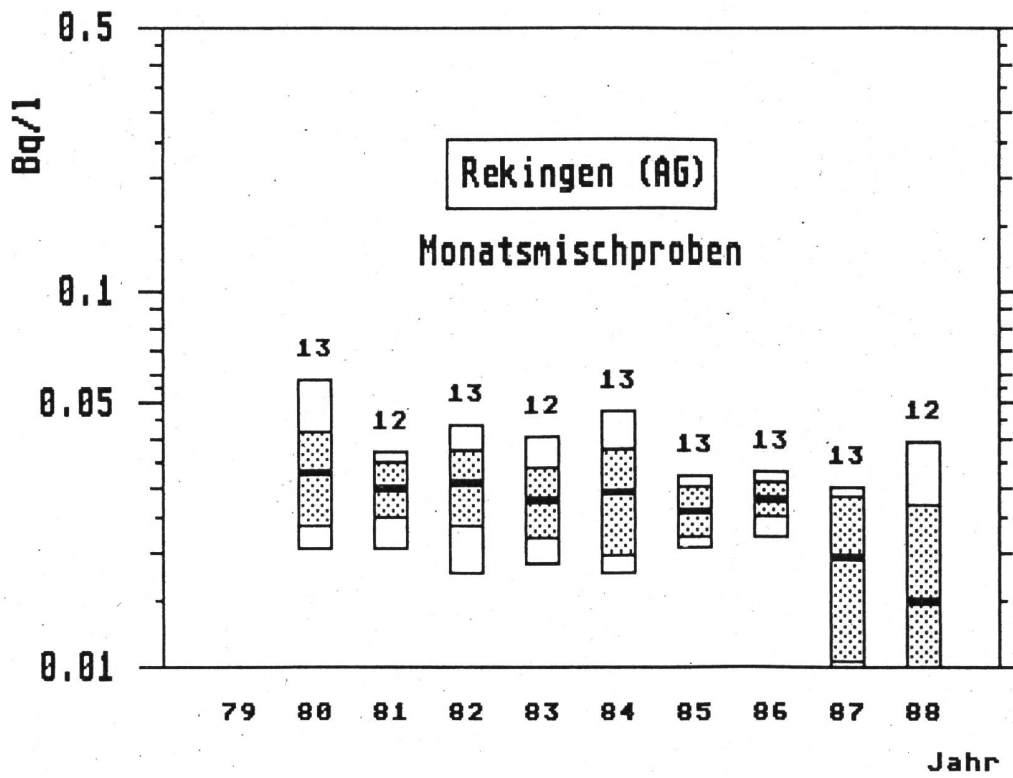


Fig.3.31.h: Alpha-Aktivität im Rhein (Monatsmischproben)

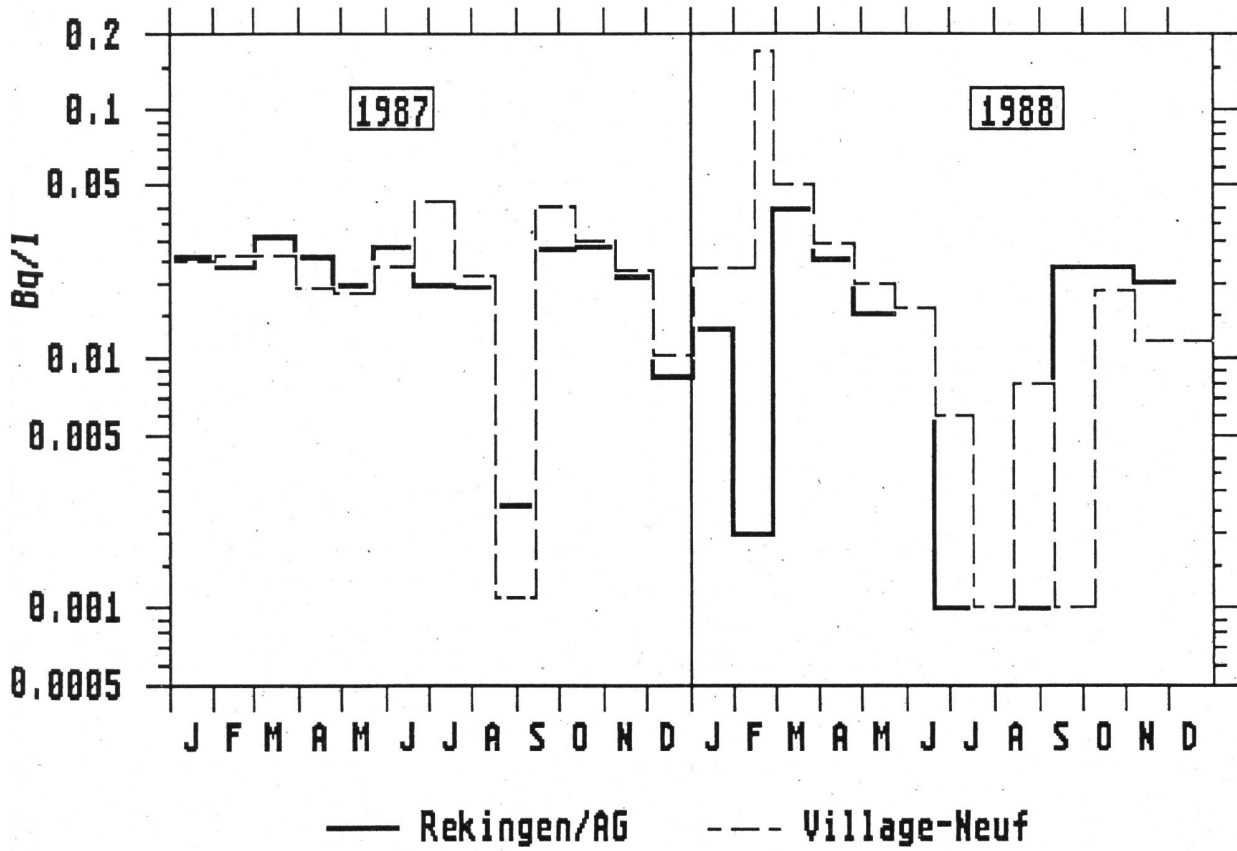


Fig. 3.32.a: Cs-137 im Luganerseeewasser. (Südbecken) (EAWAG)

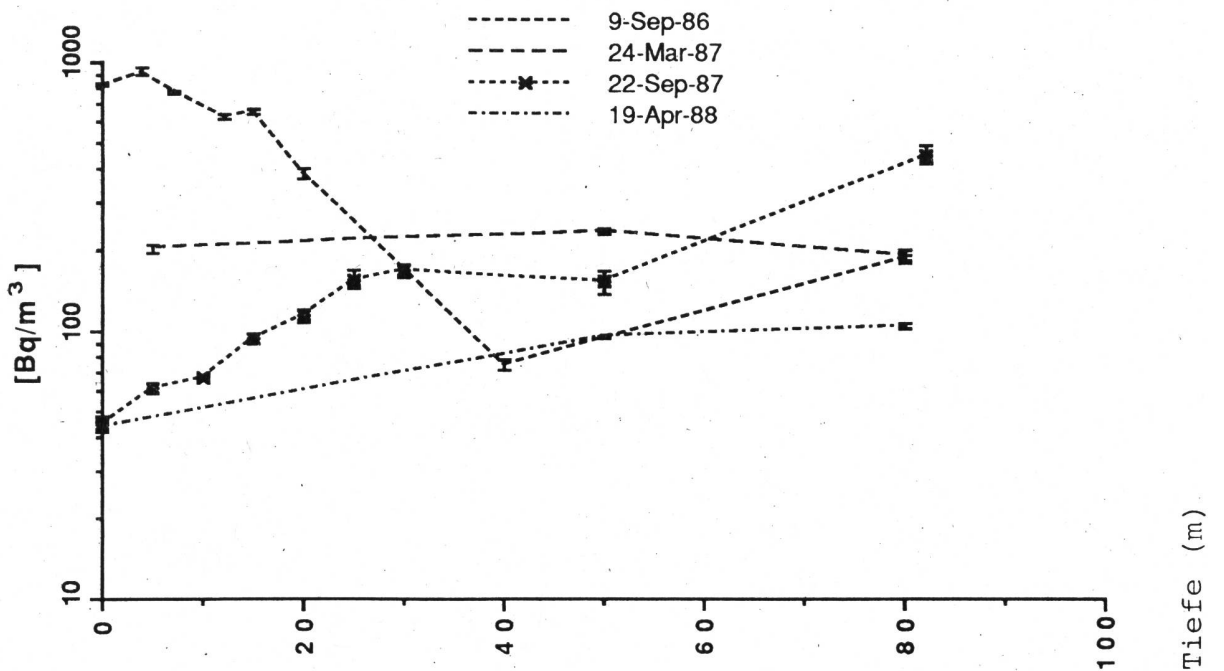


Fig. 3.32.b: Cs-137 im Bodenseewasser

(EAWAG)

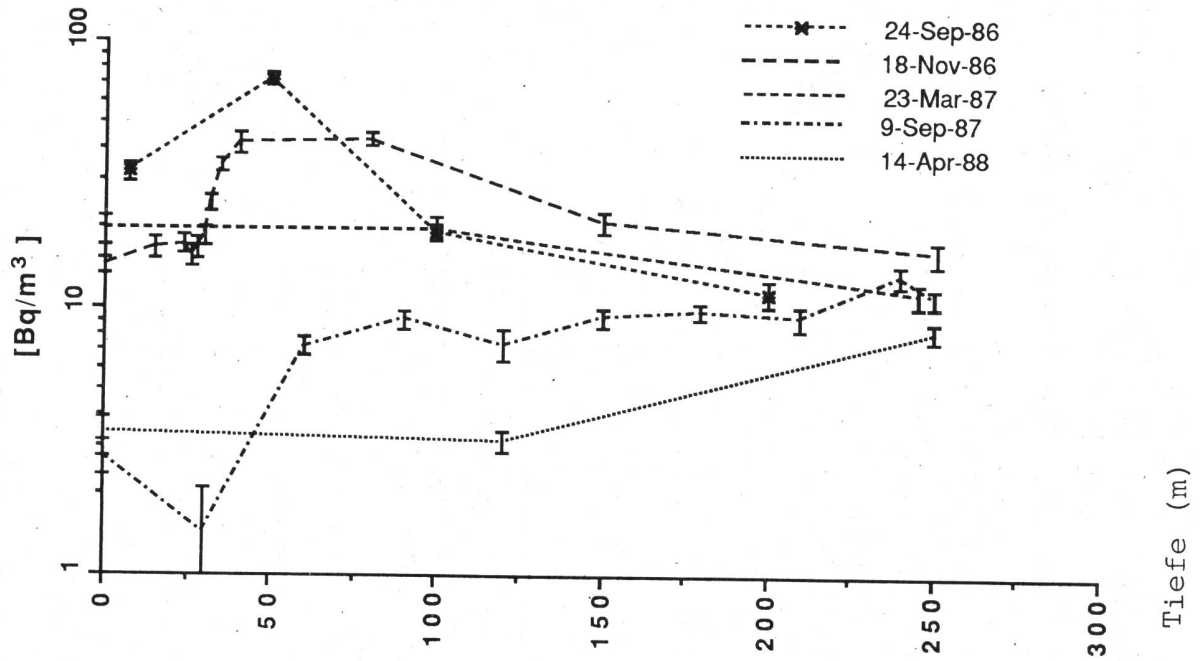


Fig. 3.32.c: Cs-137 im Zürichseewasser

(EAWAG)

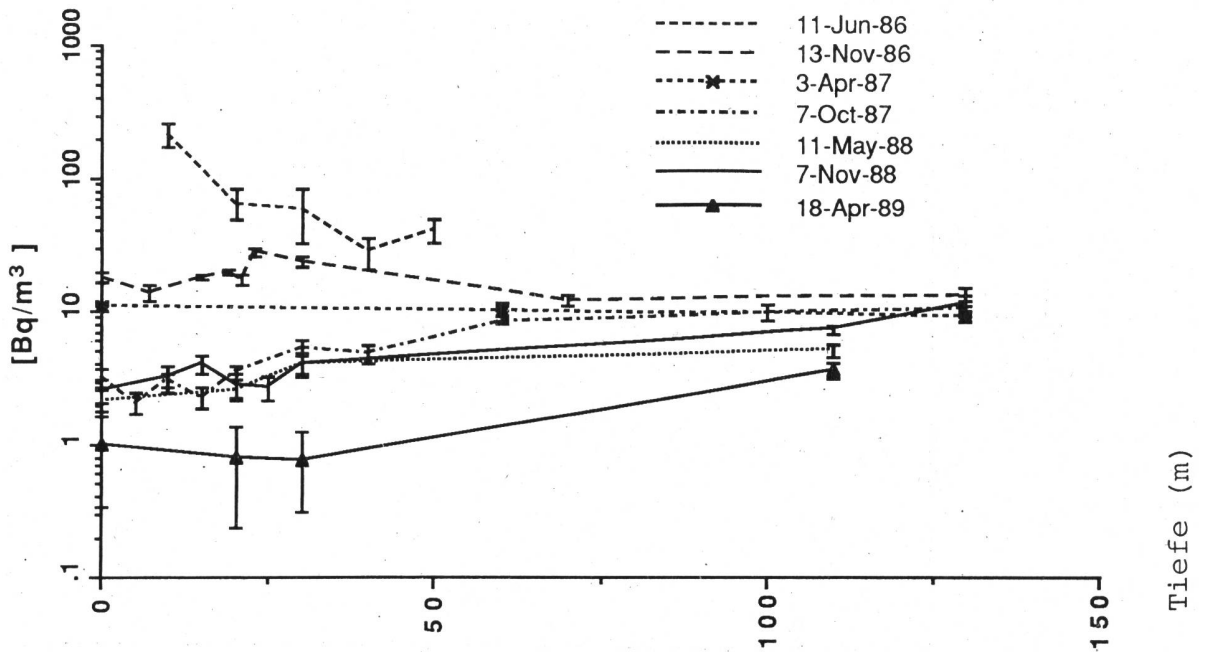


Fig.3.32.d: Caesium-137-Inventar in Schweizer Seen

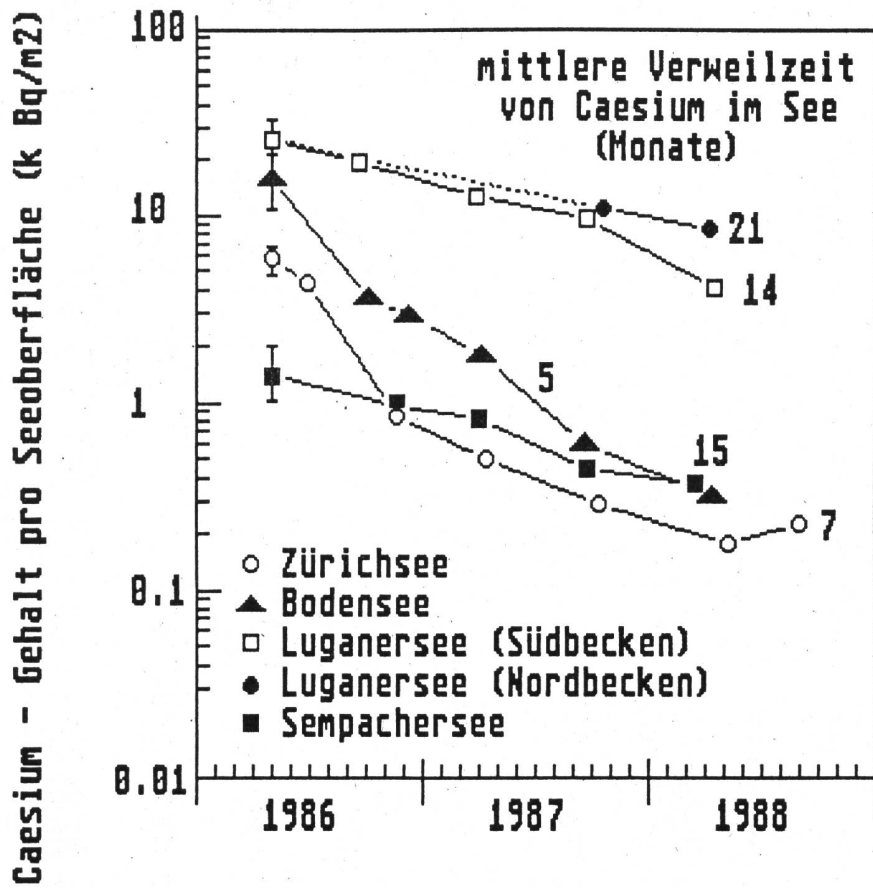


Fig.3.33.a: Cs-137 in den Fischen der Schweiz 1987/1988

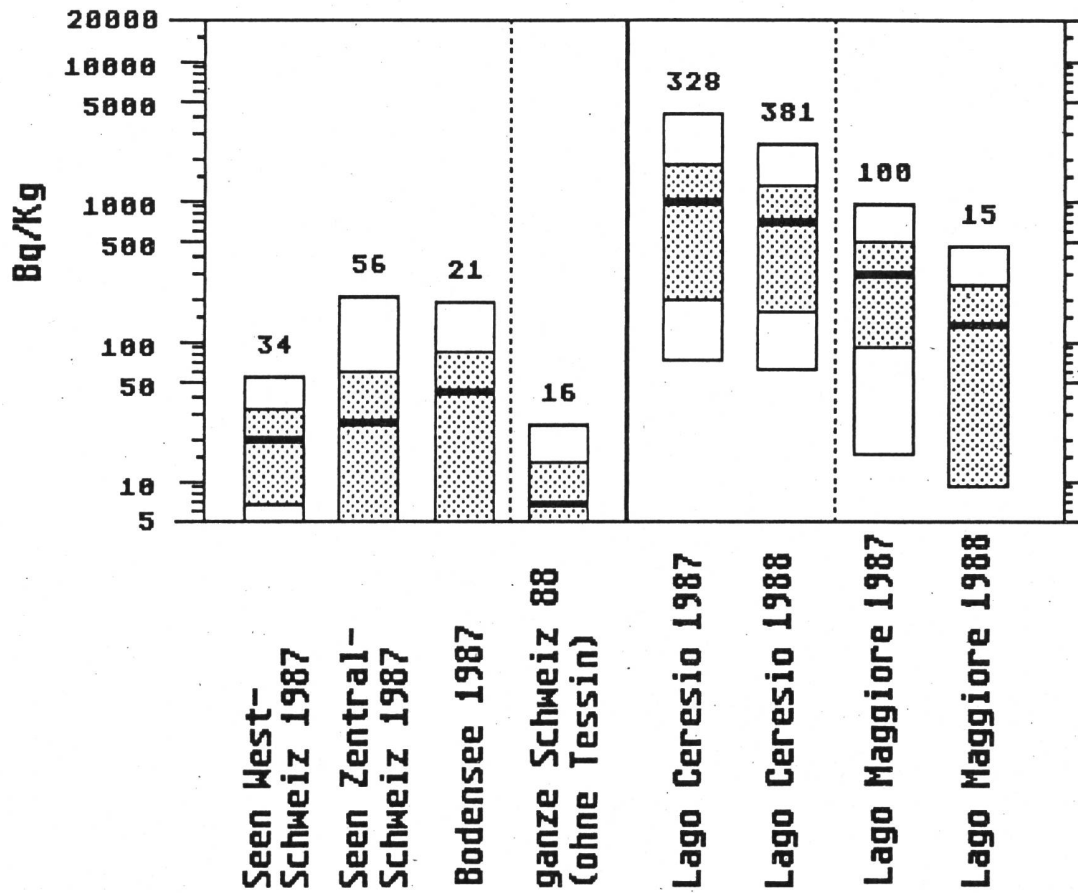


Fig. 3.33.b: Cs-137 in den Fischen des Lago Ceresio/II: Hechtbarsch (Zander)

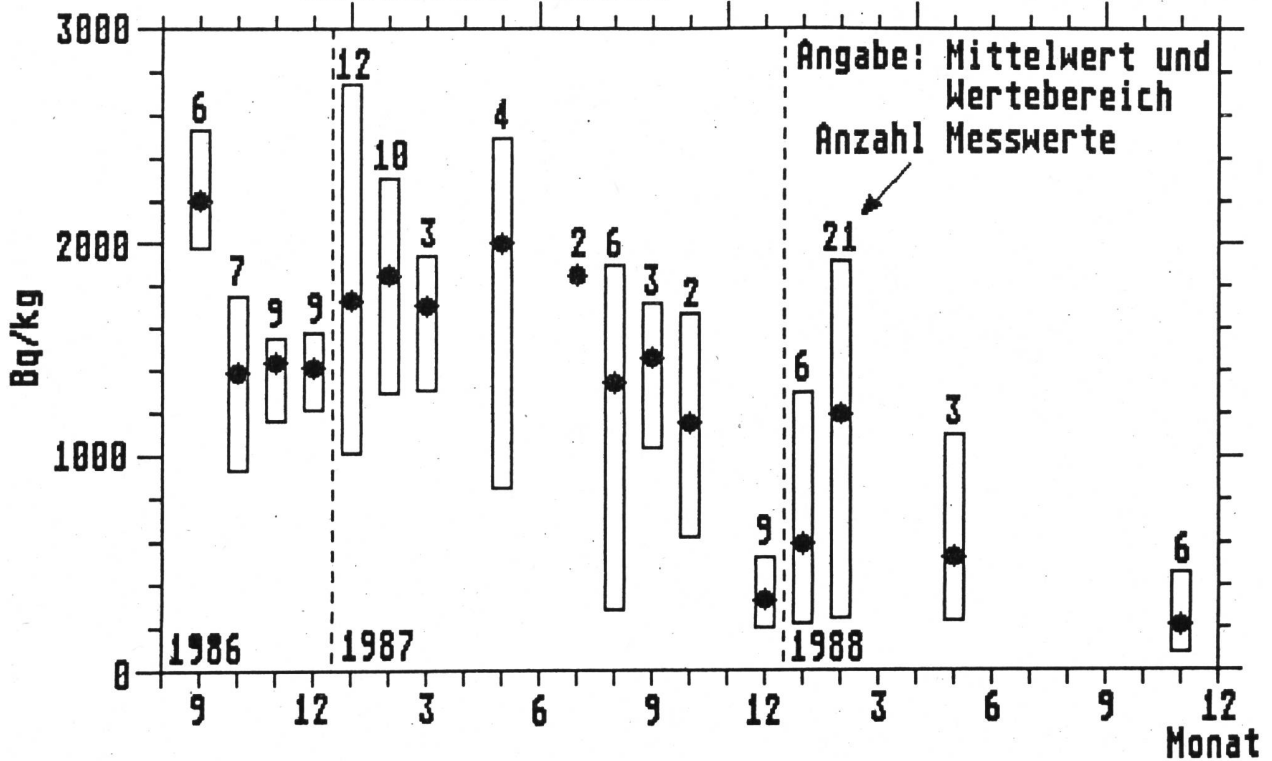


Fig. 3.33.c: Cs-134 und Cs-137 im Barsch aus dem Luganersee
kBq/kg (Cs-134 + Cs-137) Wertebereich und Mittelwerte

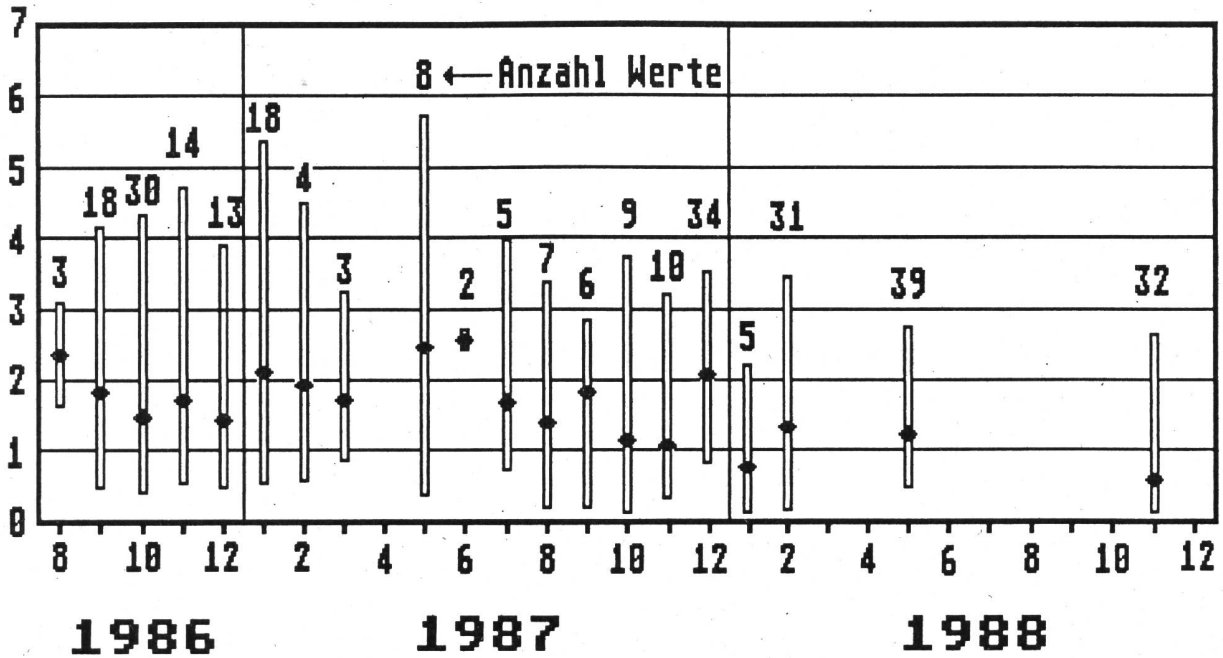


Fig. 3.33.d:
Cs-134 + Cs-137 in Fischen aus dem Luganersee (Monatsmittelwerte)

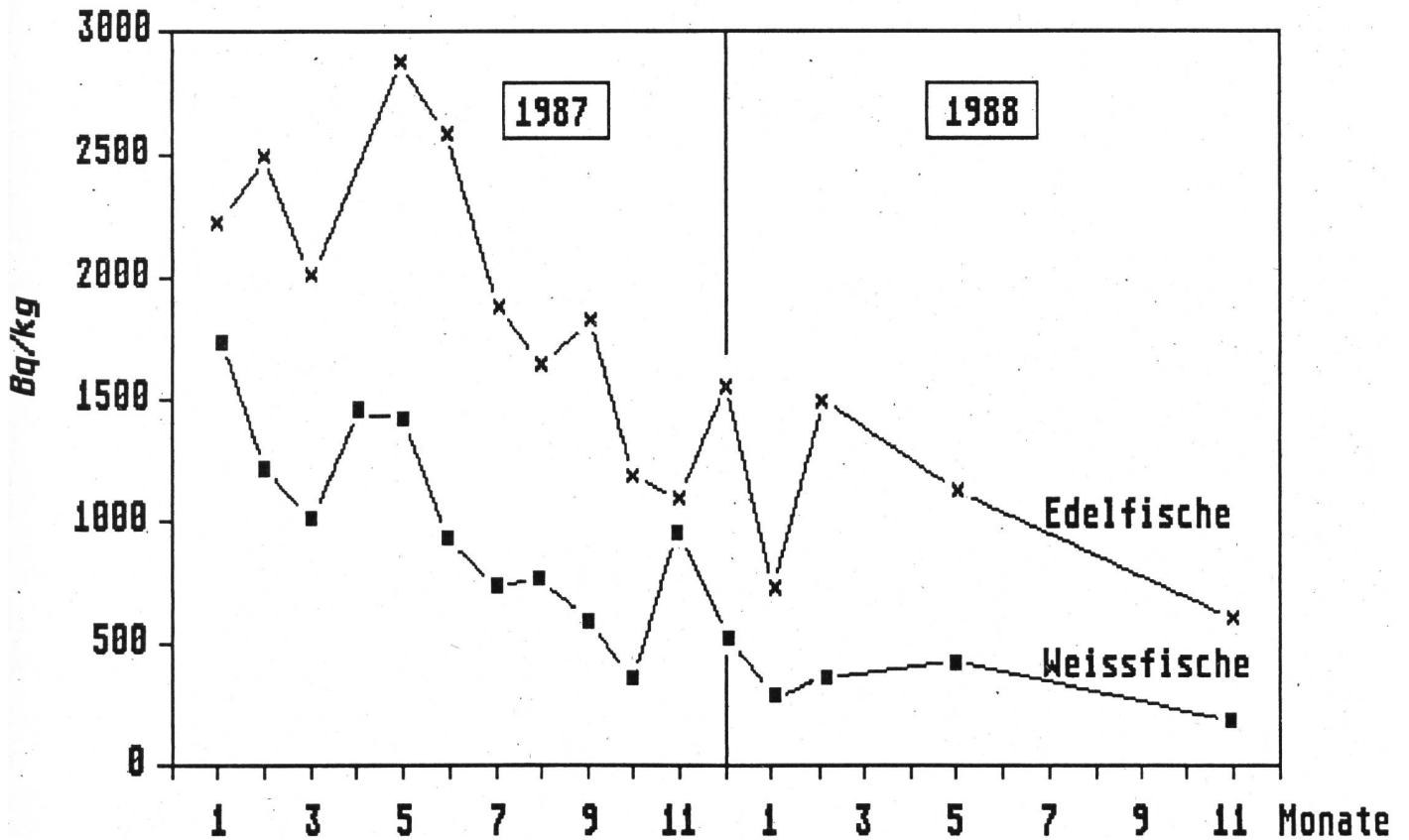


Fig.3.34.a: Cs-137 in verschiedenen Produkten 1987/1988

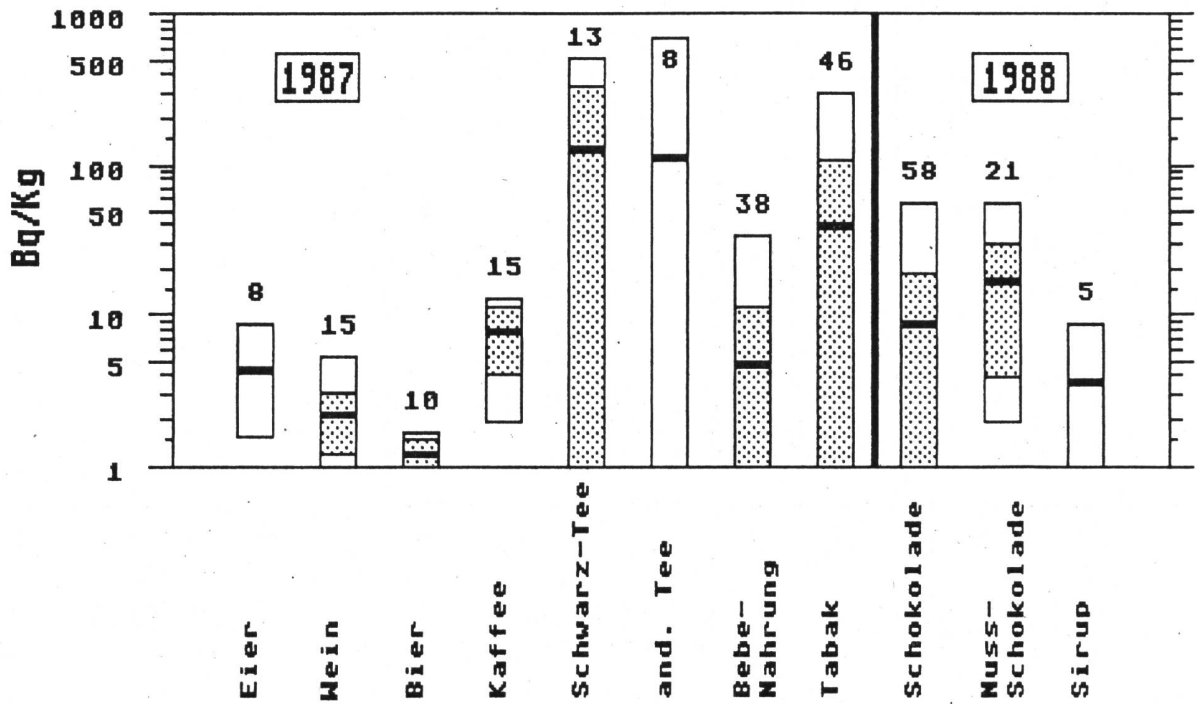


Fig.3.34.b: Cs-137 in verschiedenen Produkten 1987

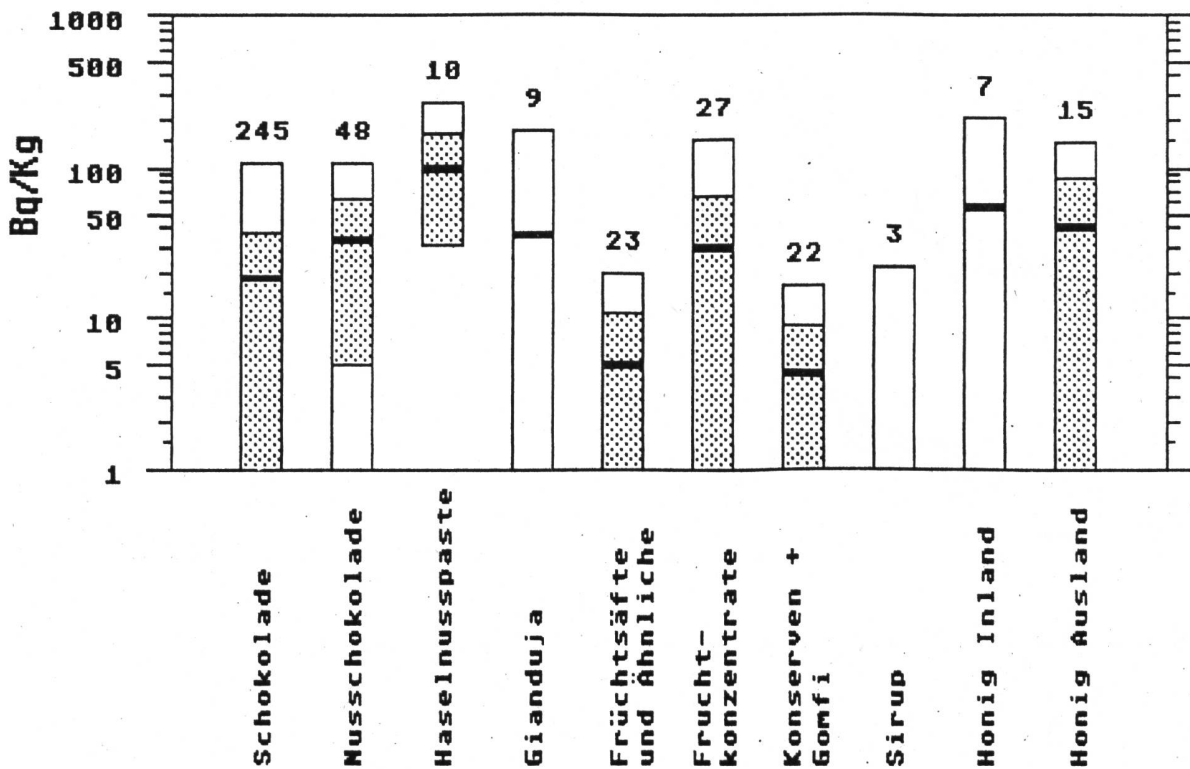


Fig.3.35: Cs-137 im Klärschlamm (frisch)

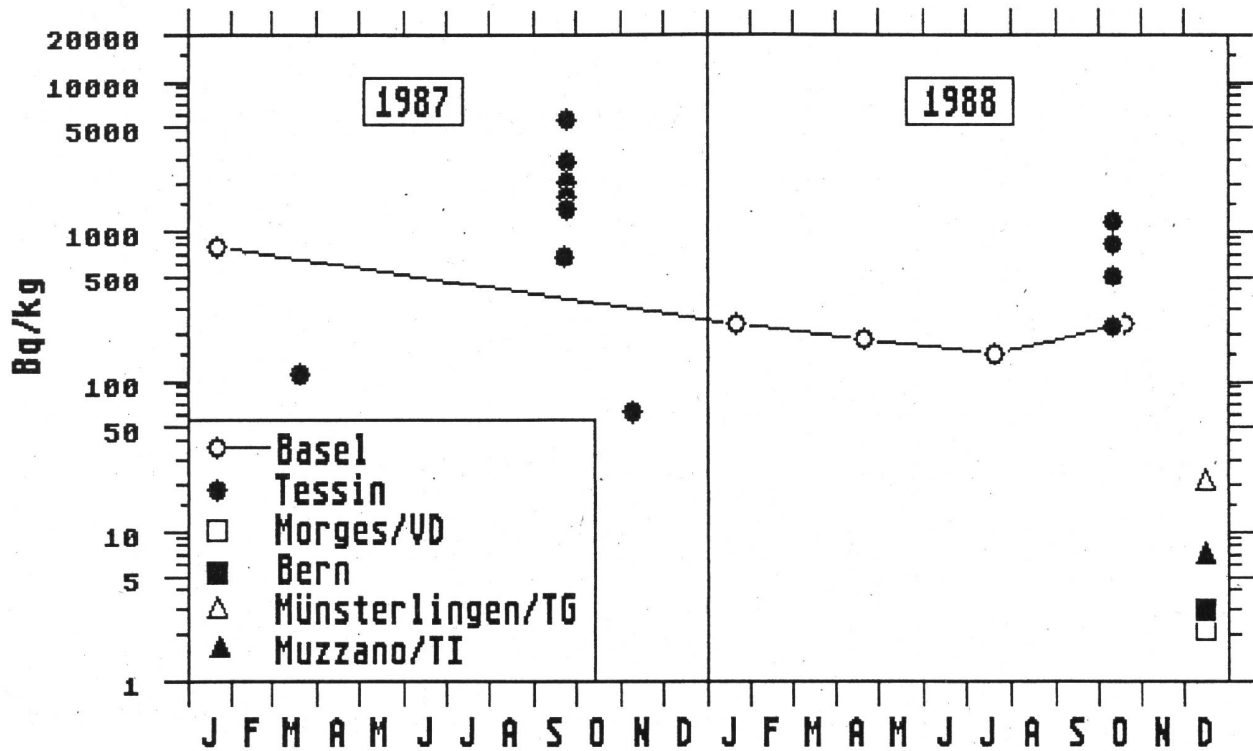


Fig.3.36.a: Cs-137 in Fleischimporten 1987/1988

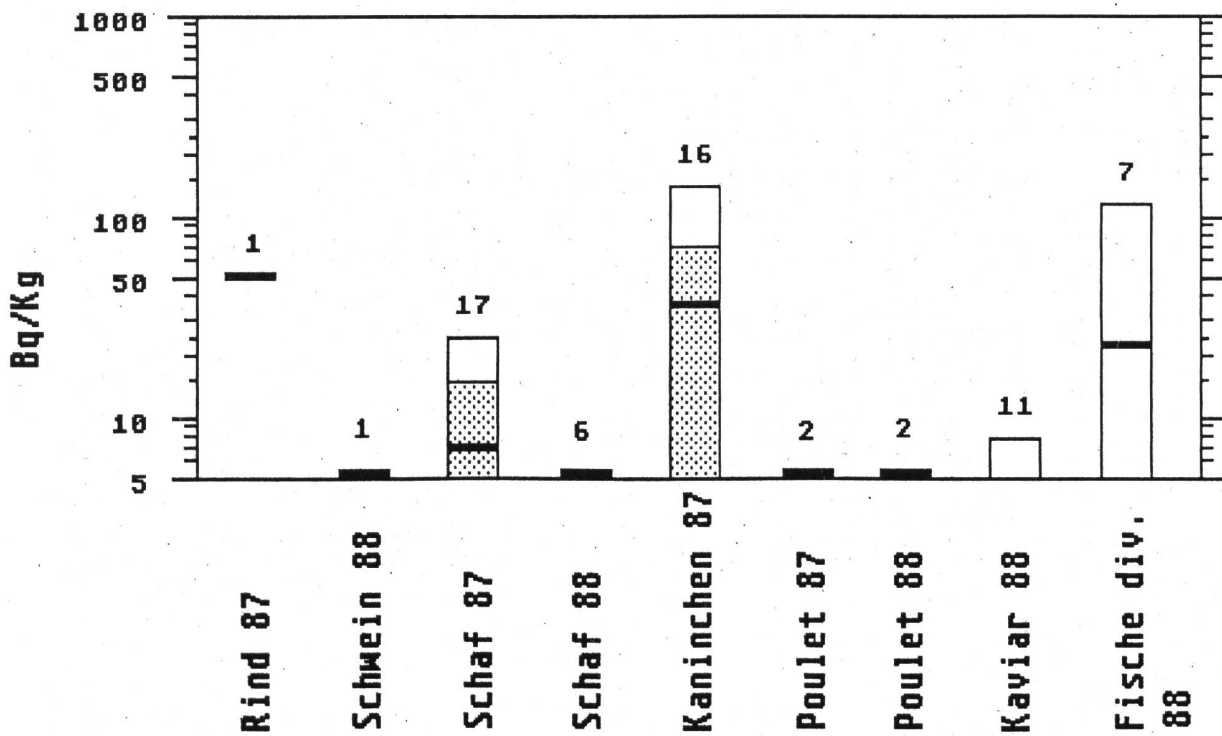


Fig.3.36.b: Cs-137 in Wild-Importen aus Österreich 1987

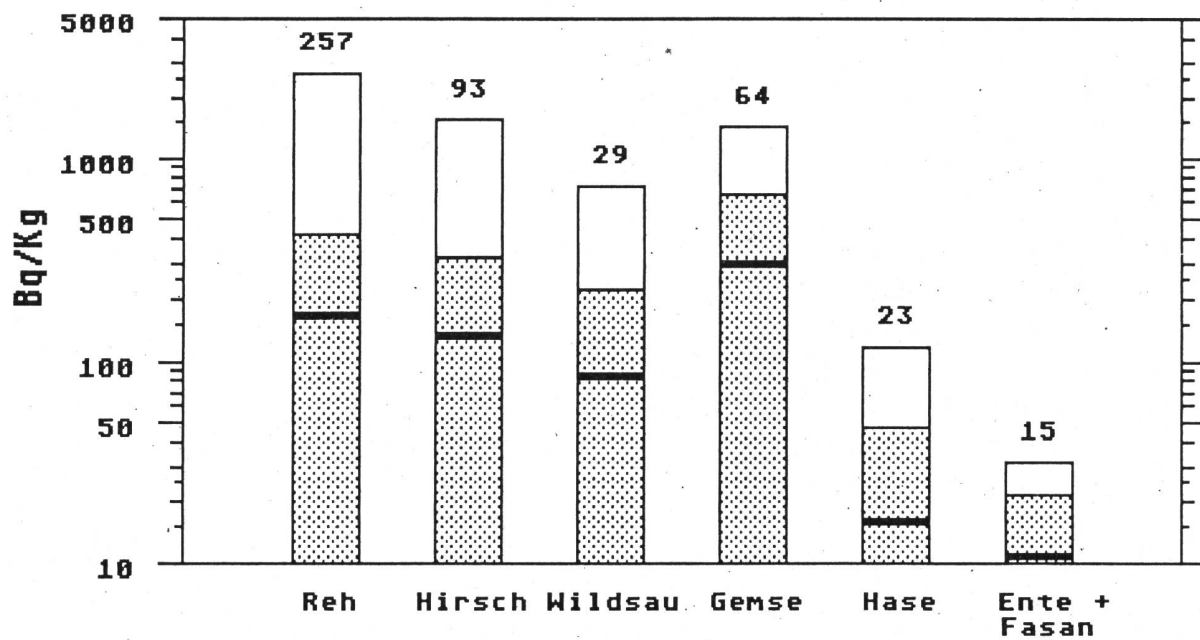


Fig.3.36.c: Cs-137 in Wild-Importen aus Österreich 1988

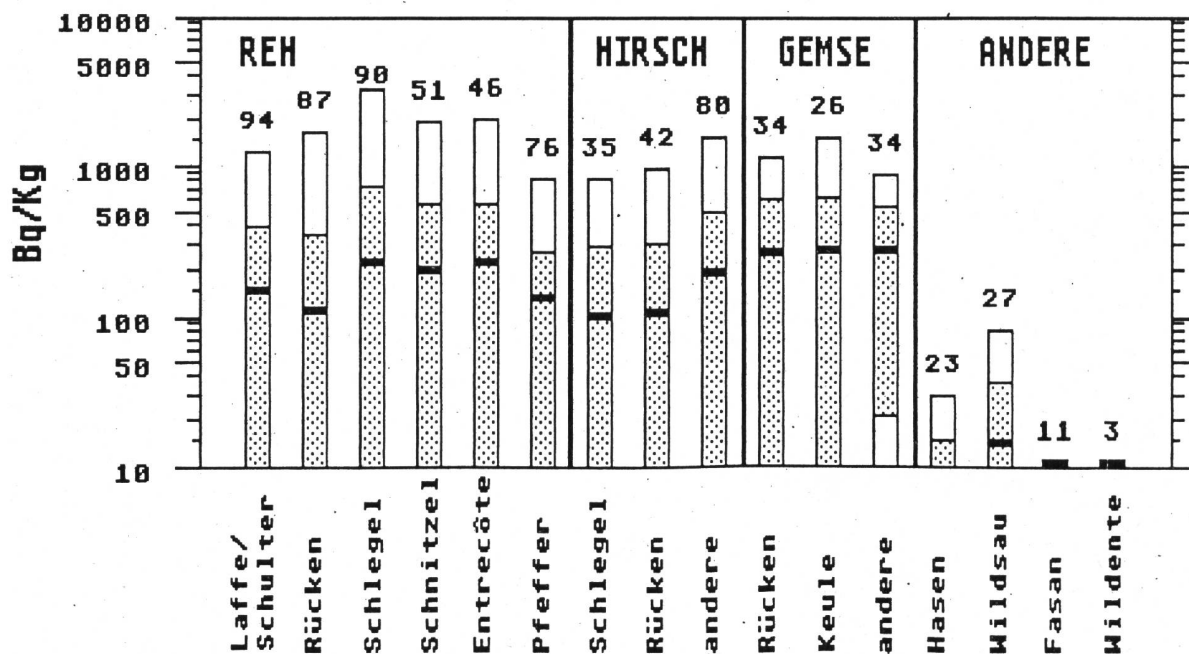


Fig.3.36.d: Cs-137 in Wild-Importen aus übrigen Ländern 1987

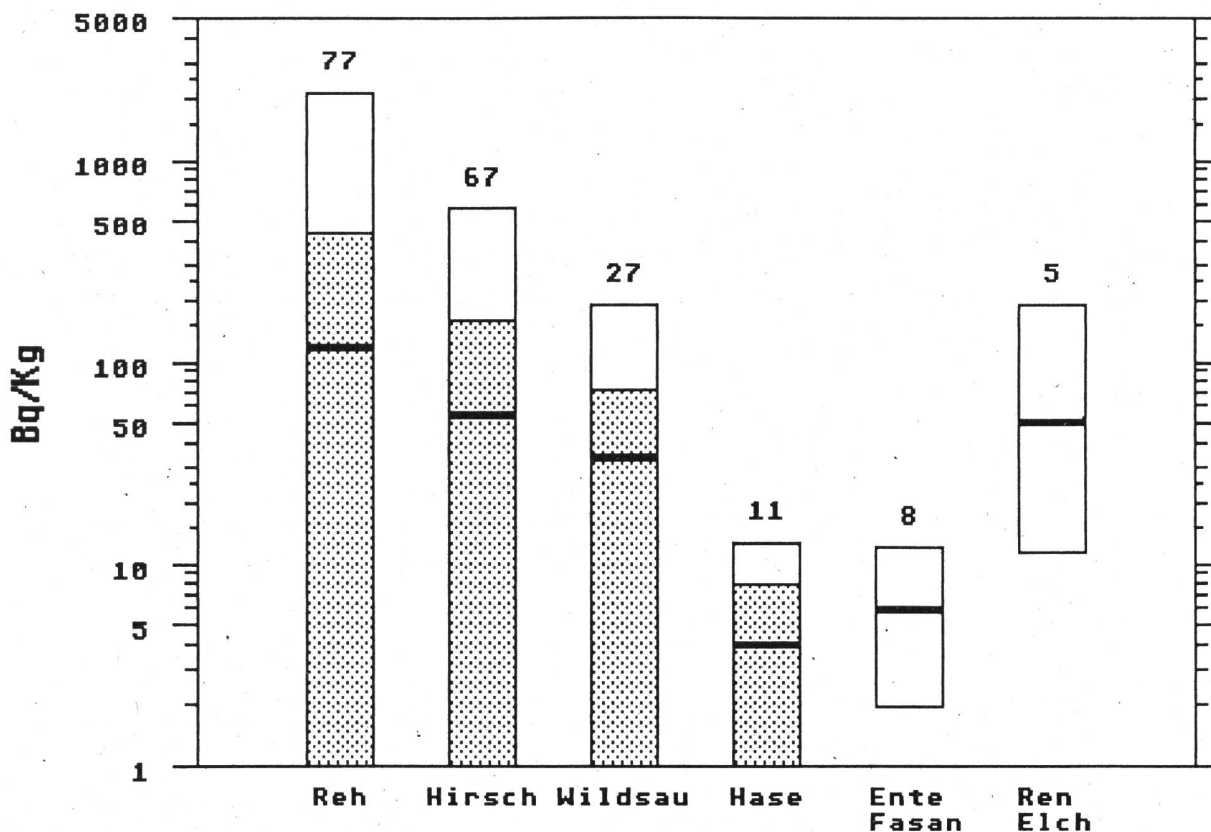


Fig.3.36.e: Cs-137 in Wild-Importen aus übrigen Ländern 1988

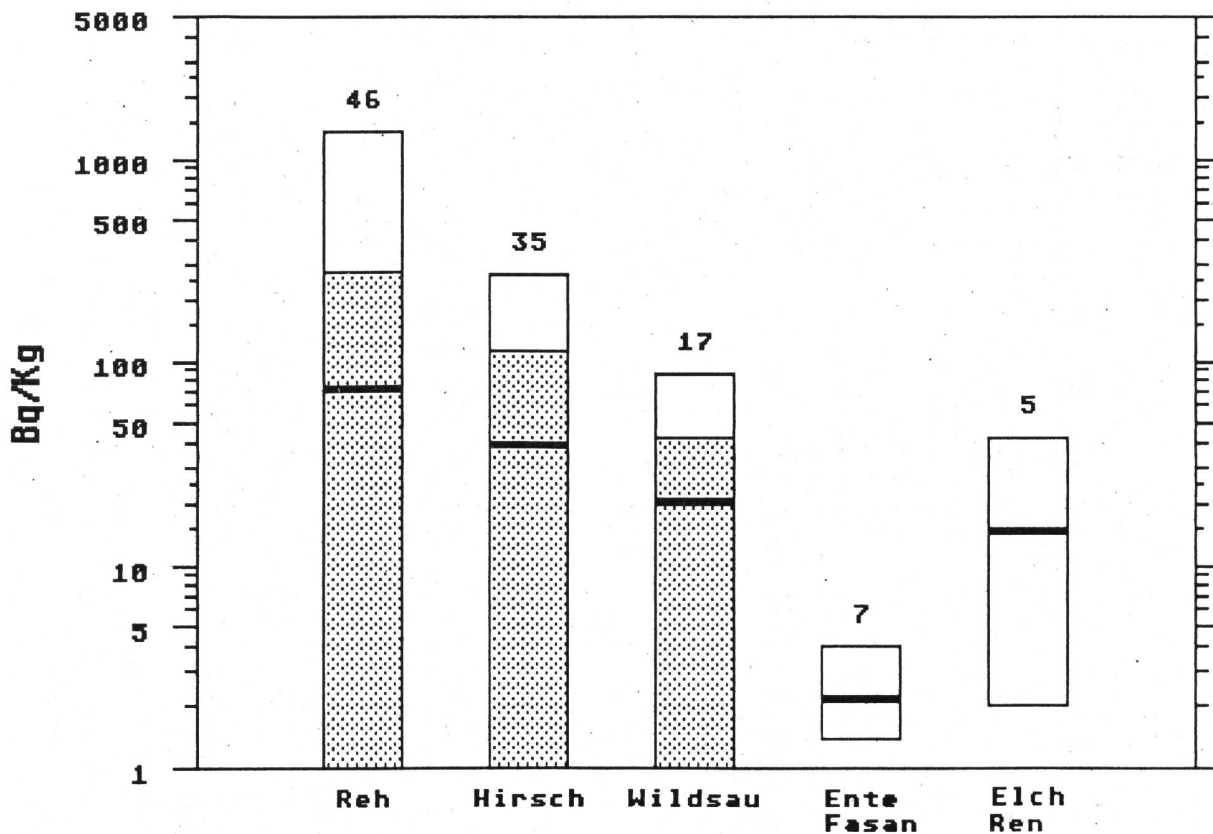


Fig.3.36.f: Cs-137 in Gemüse-Importen 1987/1988

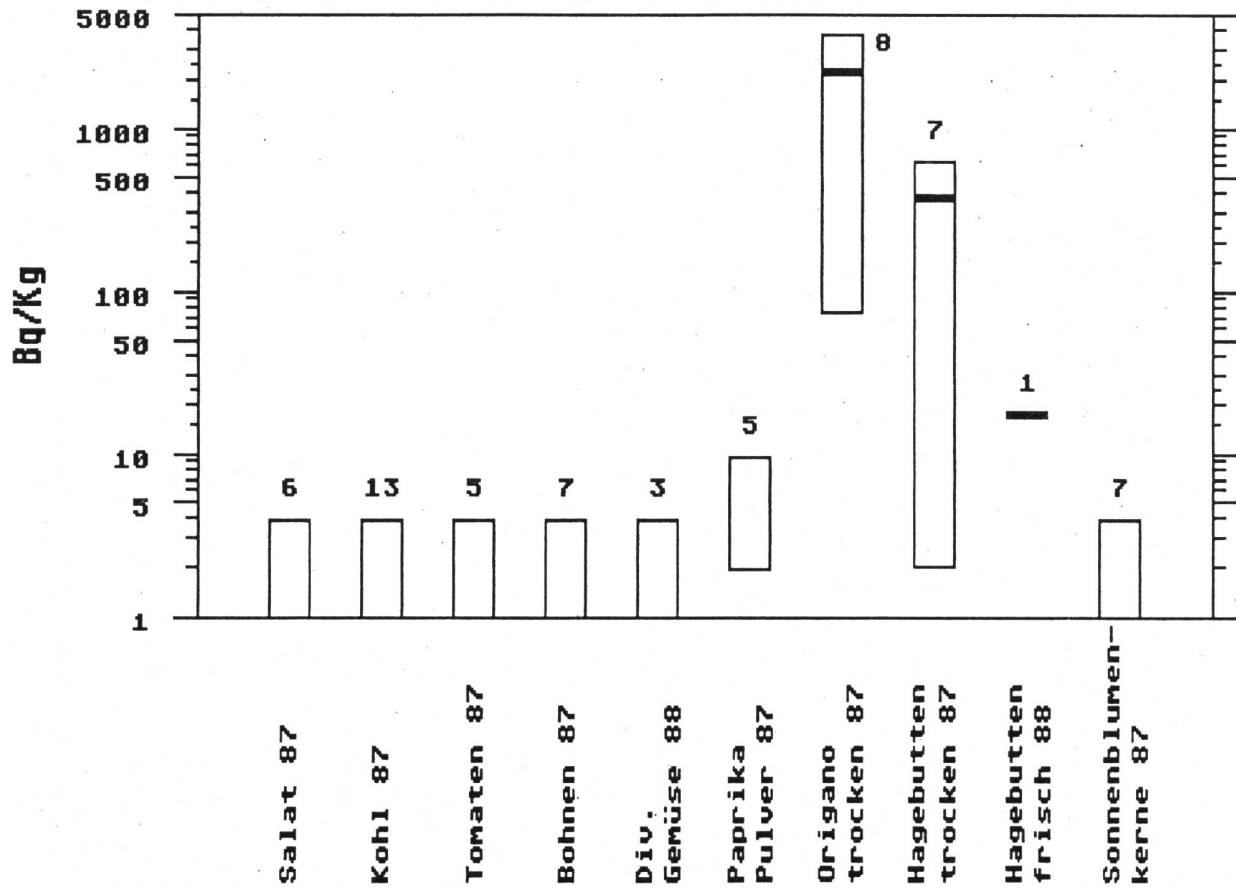


Fig.3.36.g: Cs-137 in Früchte-Importen 1987/1988

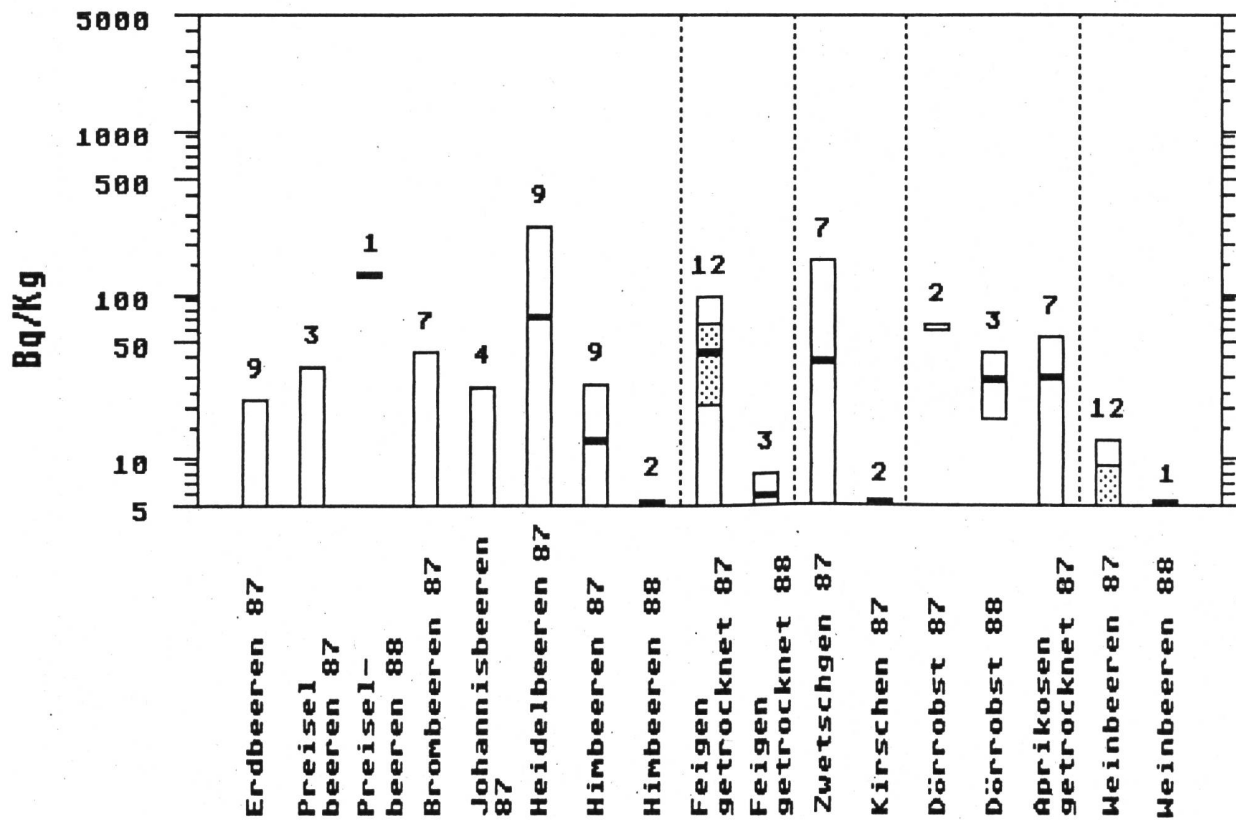


Fig.3.36.h: Cs-137 in importierten Nüssen 1987/1988

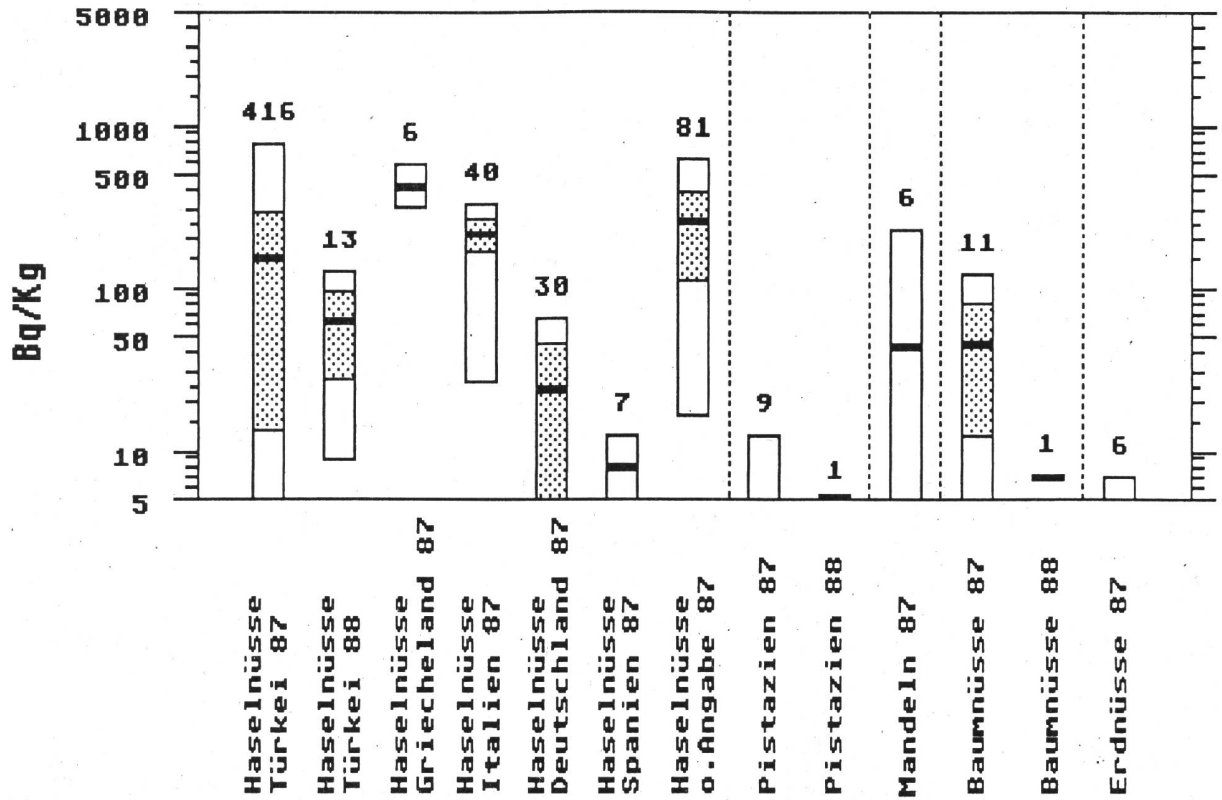


Fig.3.36.i: Cs-137 in importierten Pilze 1987/1988

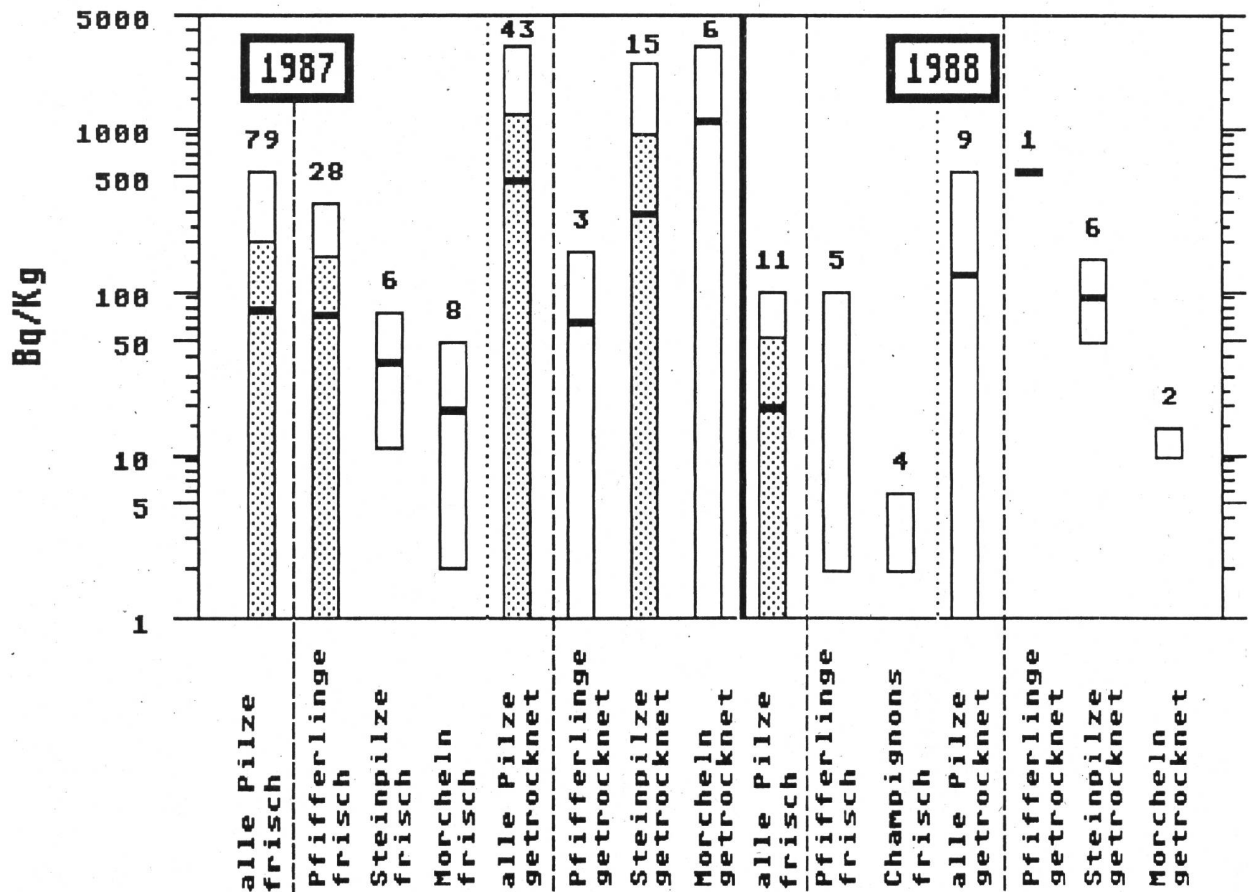
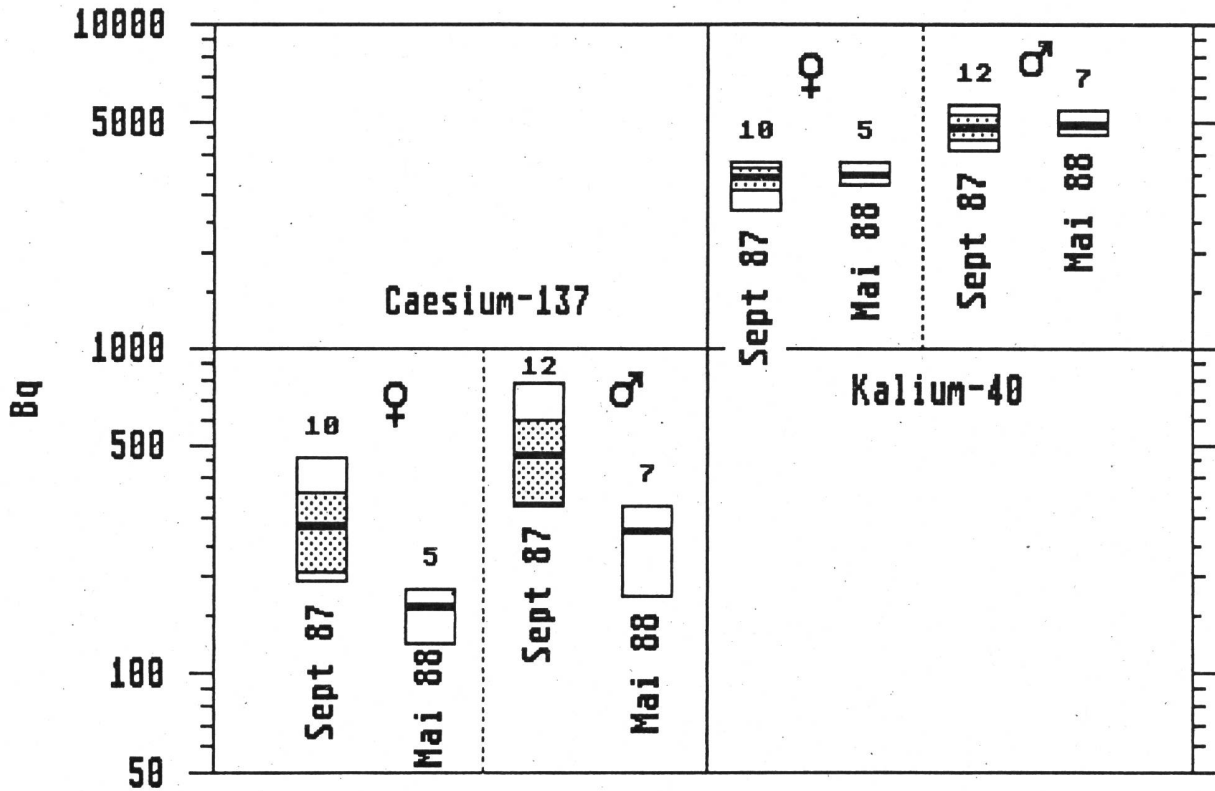
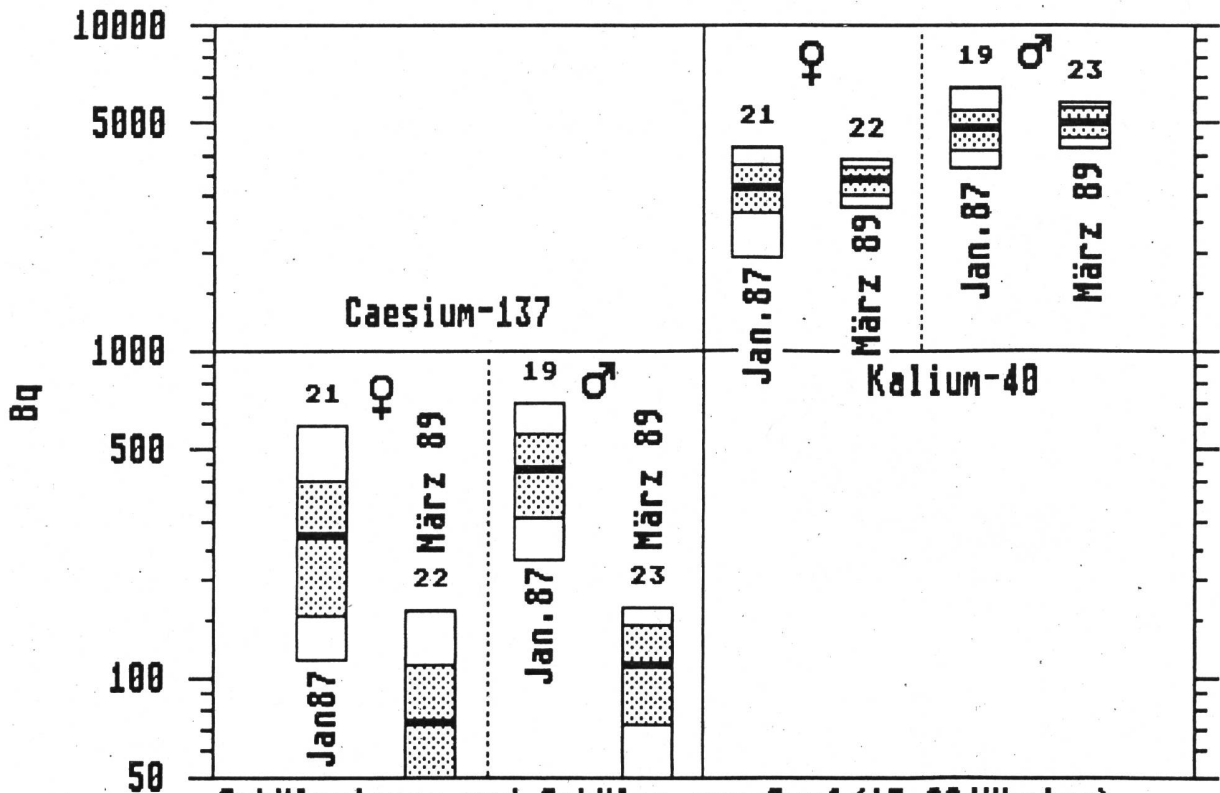


Fig.3.37.a: Ganzkörpermessungen Genf



Schülerinnen und Schüler aus Basel (20jährig)

Fig.3.37.b: Ganzkörpermessungen Genf



Schülerinnen und Schüler aus Genf (17-20jährige)

Fig. 3.37.c:

Ganzkörpermessungen 1986-88: Cs-134 + Cs-137

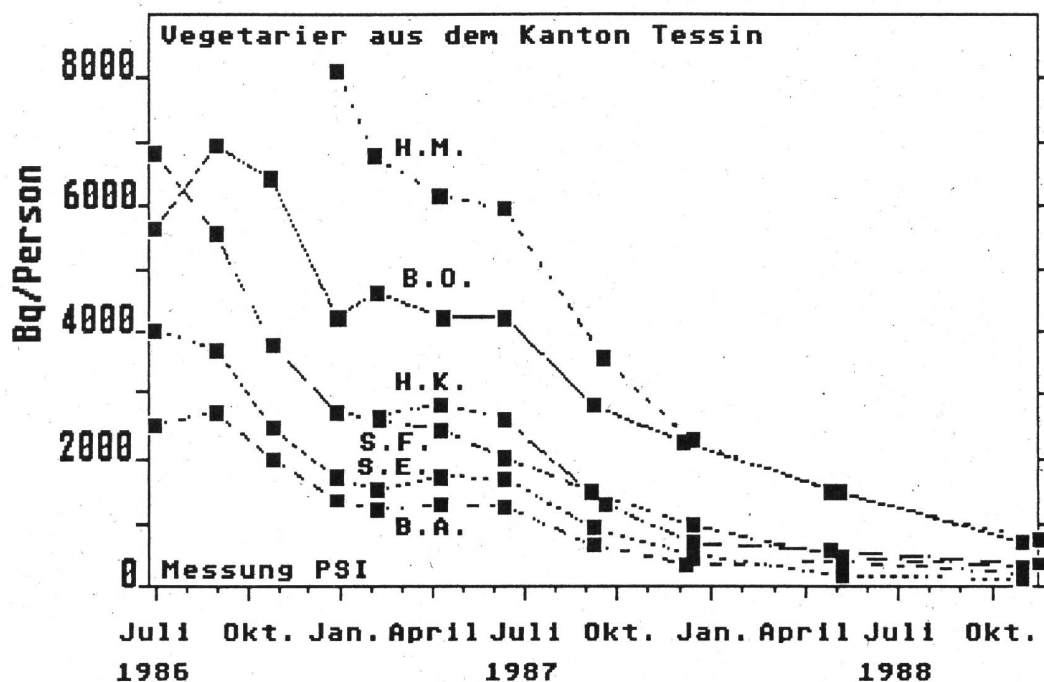


Fig. 3.37.d:

Ganzkörpermessungen 1986-89: Cs-134 + Cs-137

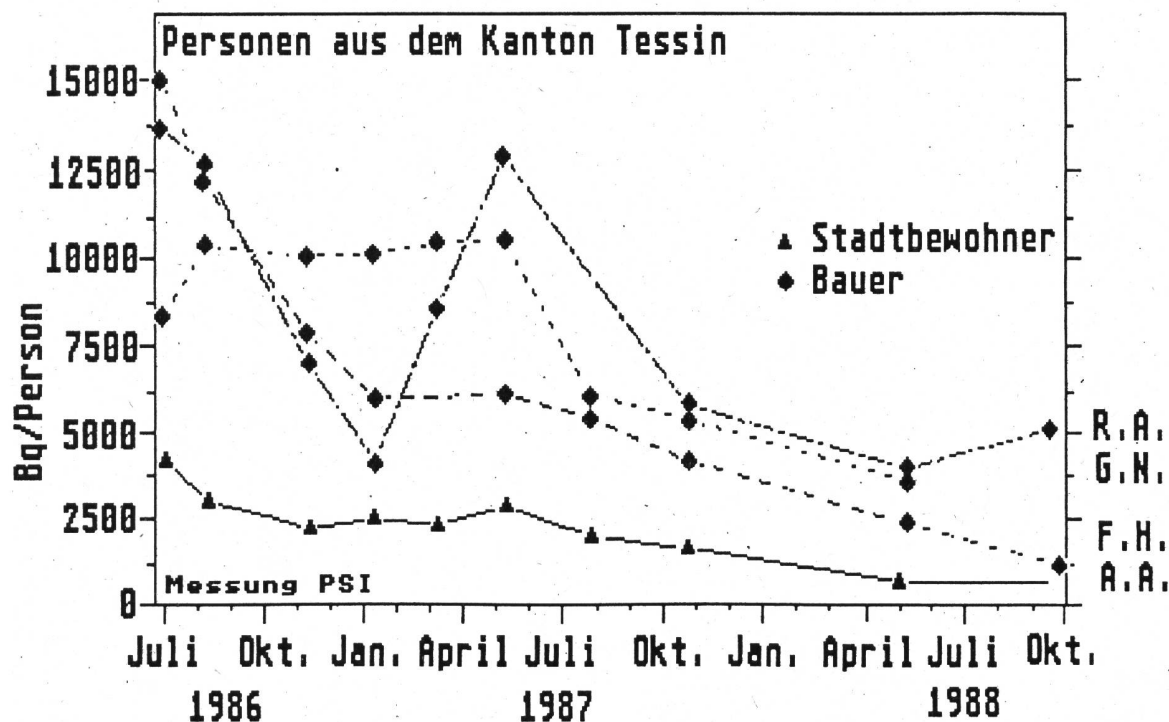


Fig. 3.37.e:
Ganzkörpermessungen 1986/89: Cs-134 + Cs-137
 Messung PSI

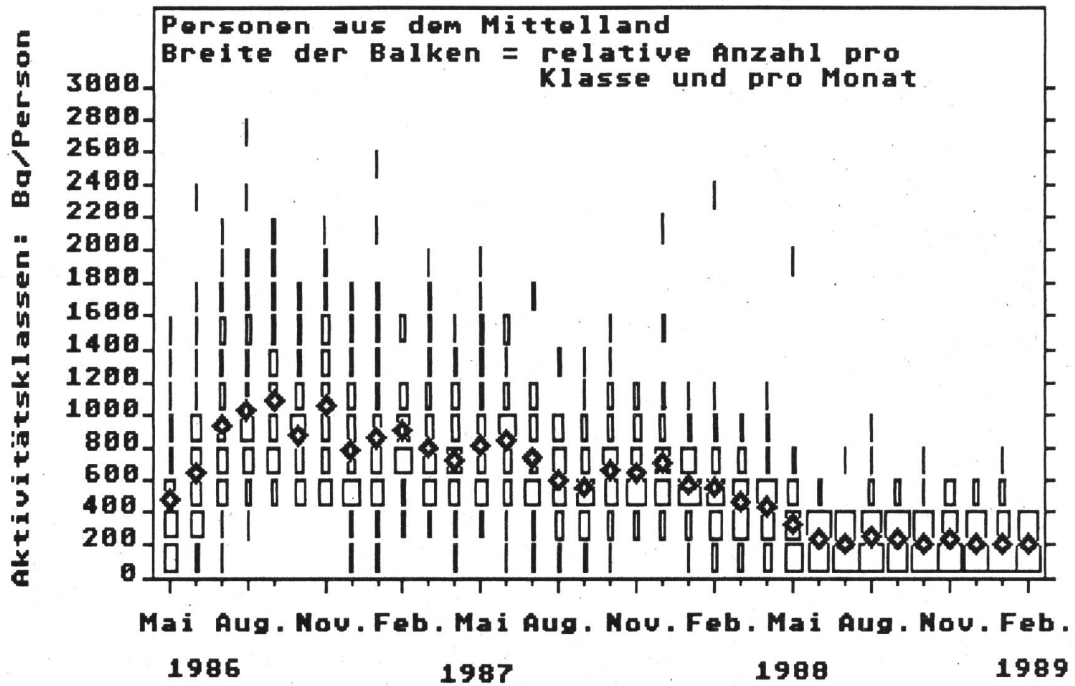


Fig. 3.37.f:
Ganzkörpermessungen 1986-89: Cs-134 + Cs-137
 Messung PSI

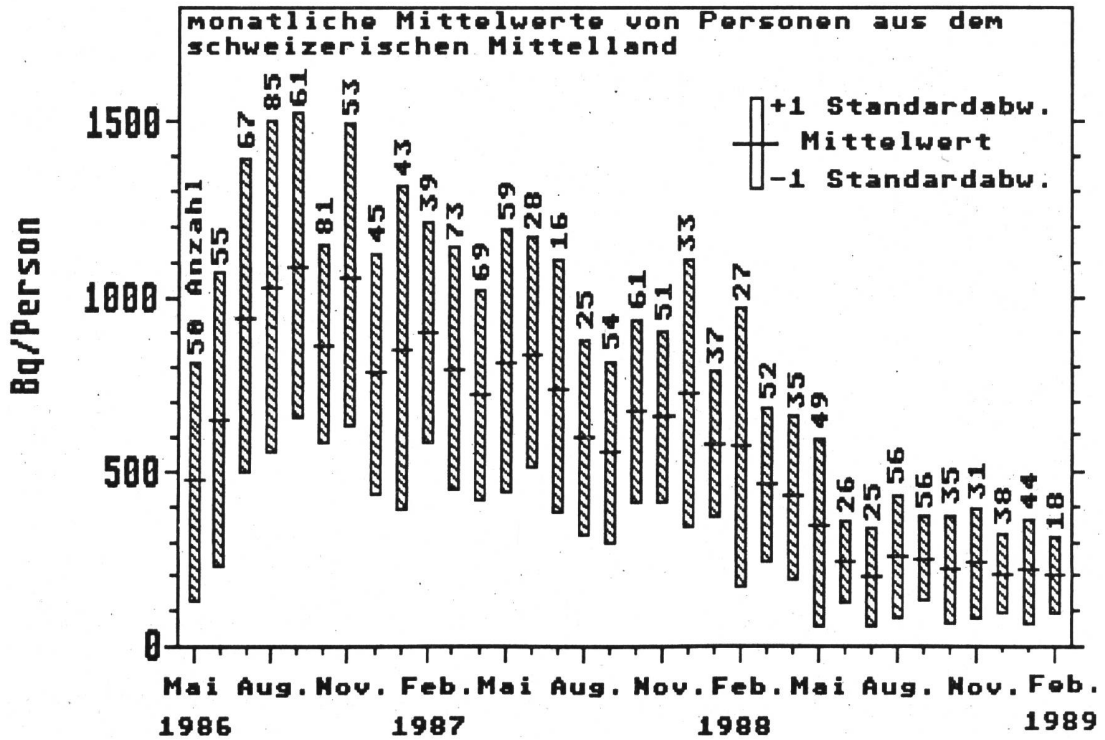


Fig. 3.37.g: Urinmessungen: 1986-1989: Cs-134 + Cs-137
Messung PSI

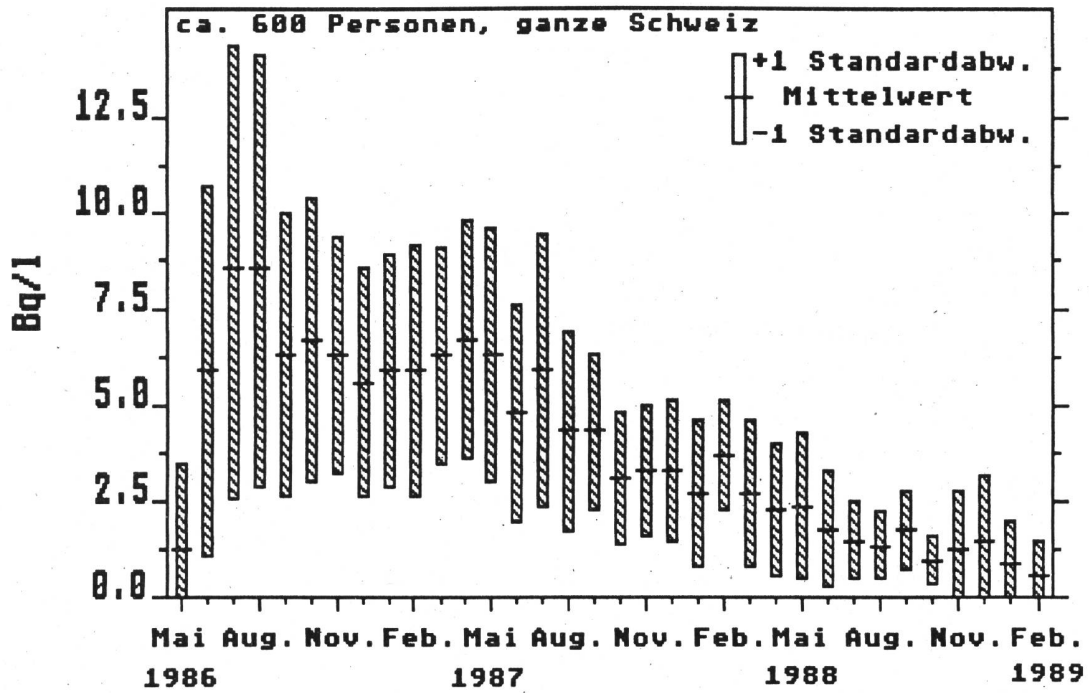
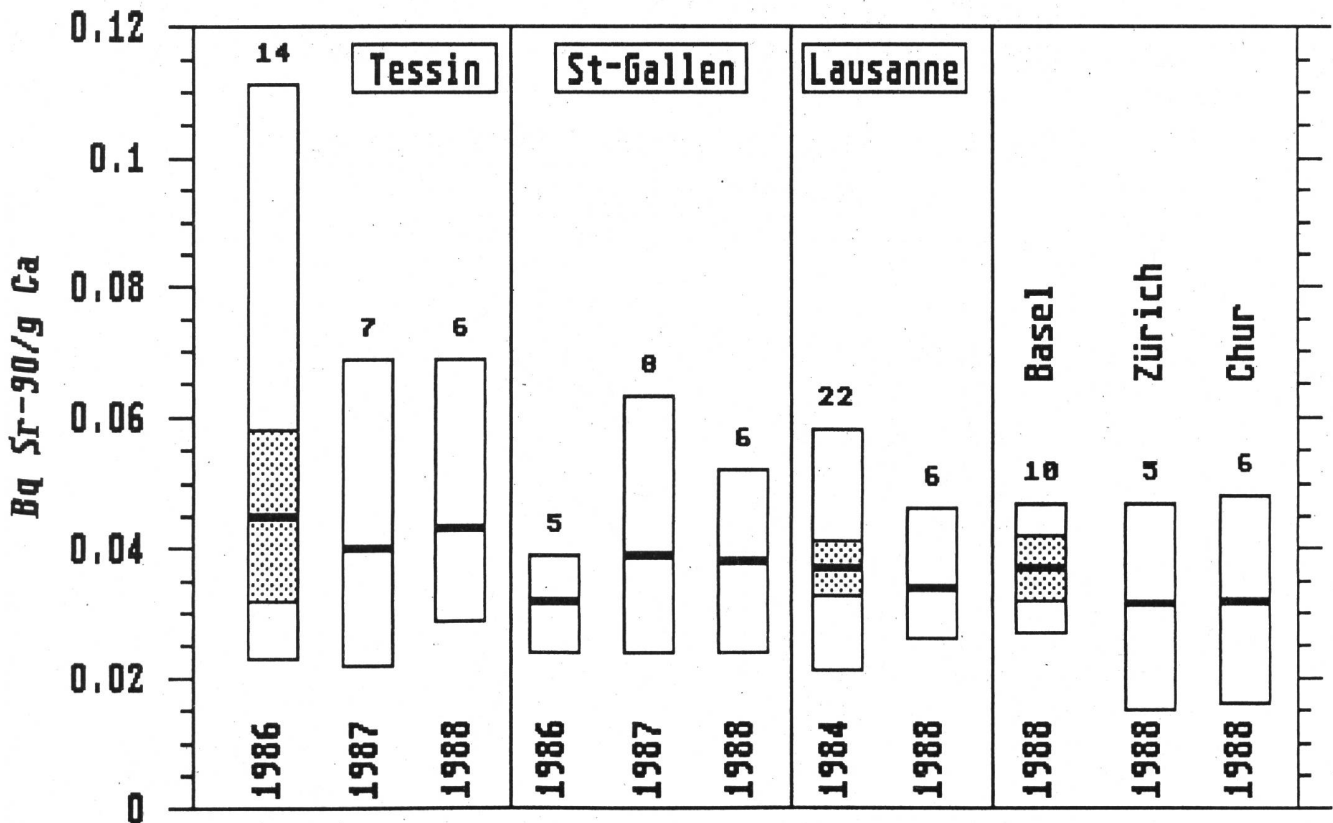


Fig.3.38: Sr-90 in Wirbelknochen



Die Umrechnung der Messwerte für Wirbel auf das ganze Skelett ergibt sich durch Multiplikation mit dem Faktor von 0.55.